

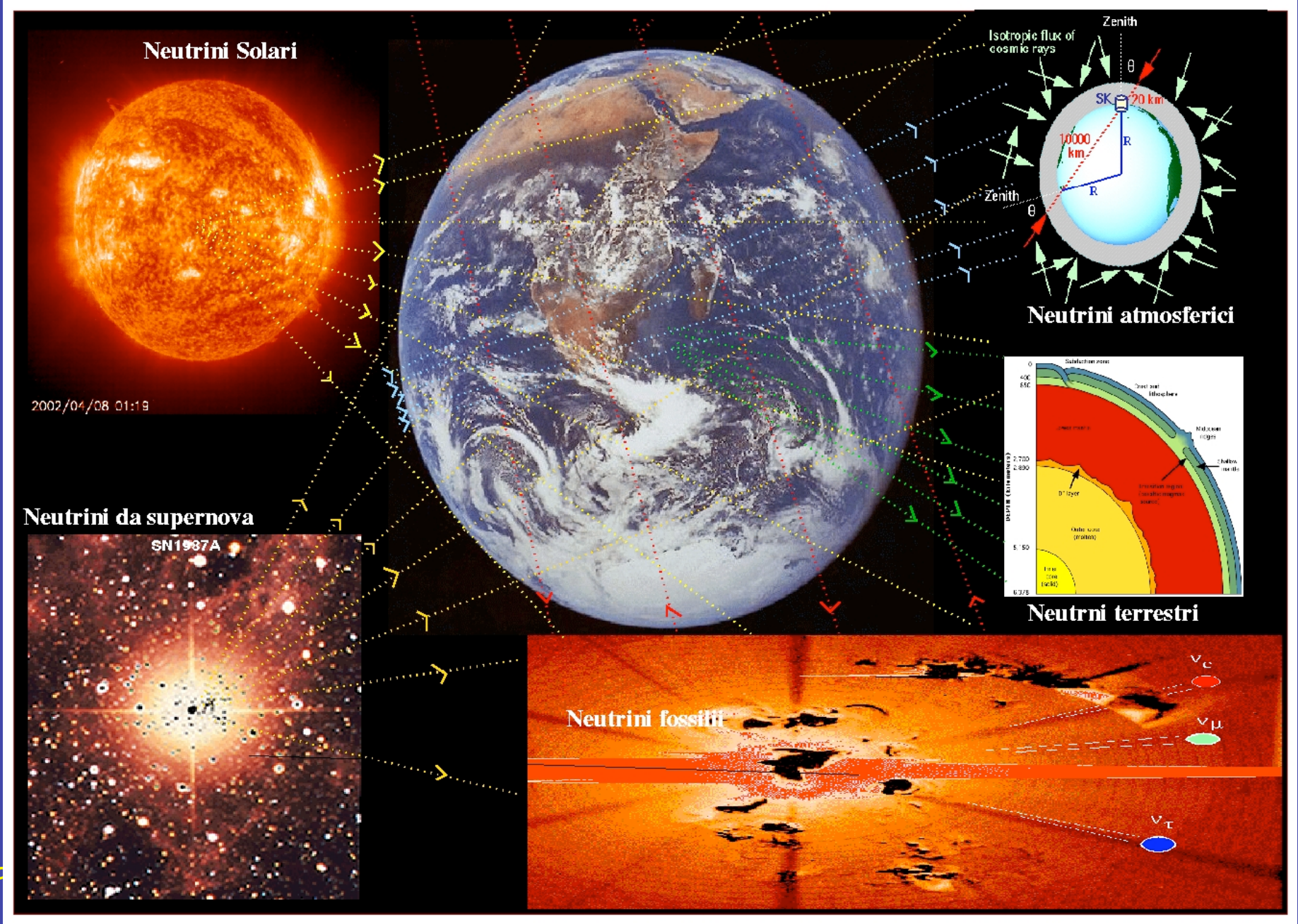
*La luminosità in neutrini, circa  $10^{53}$  erg/s durante l'esplosione, è superiore a quella dell'intero universo*

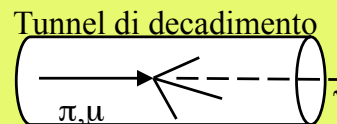
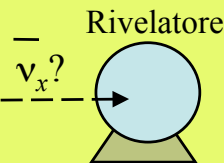


凡十一日沒三年三月乙巳出東南方大中祥符  
年正月丁丑見南斗魁前天禧五年四月丙辰出軒轅  
前星西北大如桃遠行經軒轅太星入太微垣掩右執  
法犯次將歷屏星西北凡七十五日入濁沒明道元  
年六月乙巳出東北方近濁有芒彗至丁巳凡十三  
日沒至和元年五月己丑出天闕東南可數寸歲餘  
稍沒庶寧二年六月丙辰出箕度中至七月丁卯犯  
箕乃散三年十一月丁未出天因元祐六年十一月癸  
辛亥出參度中犯掩側星壬子犯九游星十二月癸  
酉入奎至七年三月辛亥乃散紹興八年五月守婁  
宋史志卷九

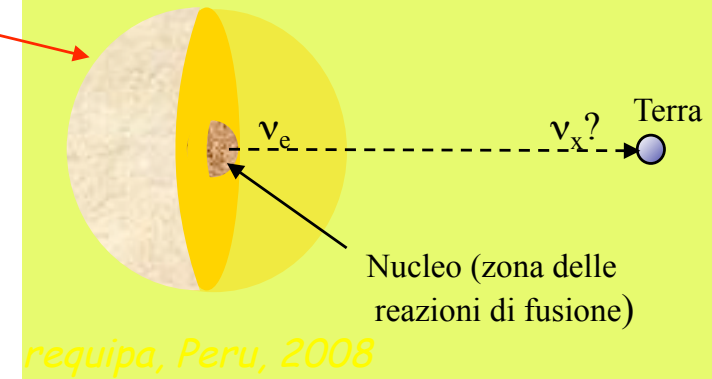
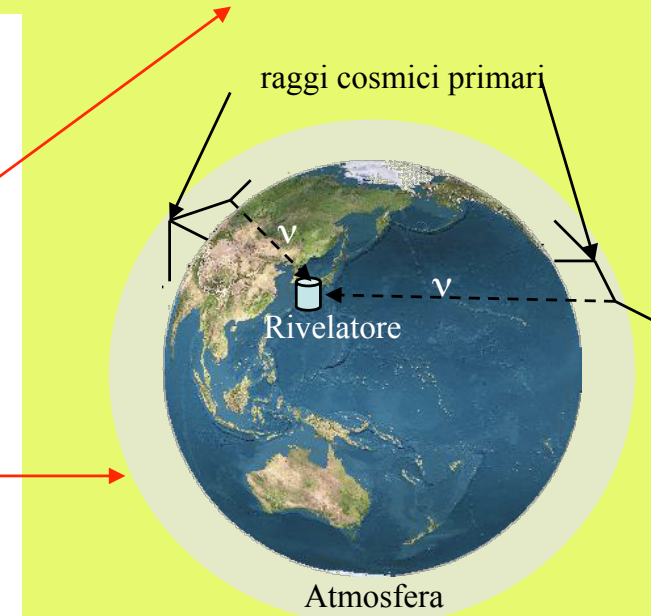
Georg Raffelt, Max-Planck-Institut für Physik (München)

# Sorgenti di neutrini naturali



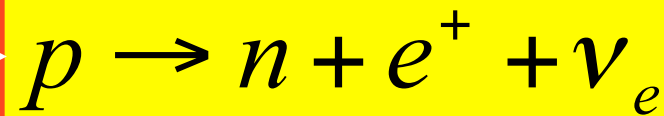
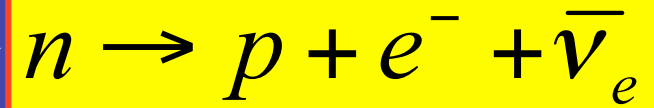


Principali sorgenti di neutrini			
Origine	Sorgenti	$E_\nu$	
'Terrestre'	<b>Artificiali</b>	<b>Reattore</b>	$\sim 0(\text{MeV})$
		<b>Acceleratore</b>	$\geq 1\text{GeV}$
	<b>Atmosferici</b>	$1+100\text{GeV}$	
	<b>Geoneutrini</b>	$\sim 2\text{MeV}$	
'Astrofisica'	<b>Solari</b>	$0+15\text{MeV}$	
	<b>Supernovae galattiche di tipo II</b>	$0+30\text{MeV}$	
'Cosmica'	<b>Di altissime energie (sorgenti ignote)</b>	$>>100\text{GeV}$	
	<b>Primordiali (Big Bang)</b>	$<<1\text{eV}$	



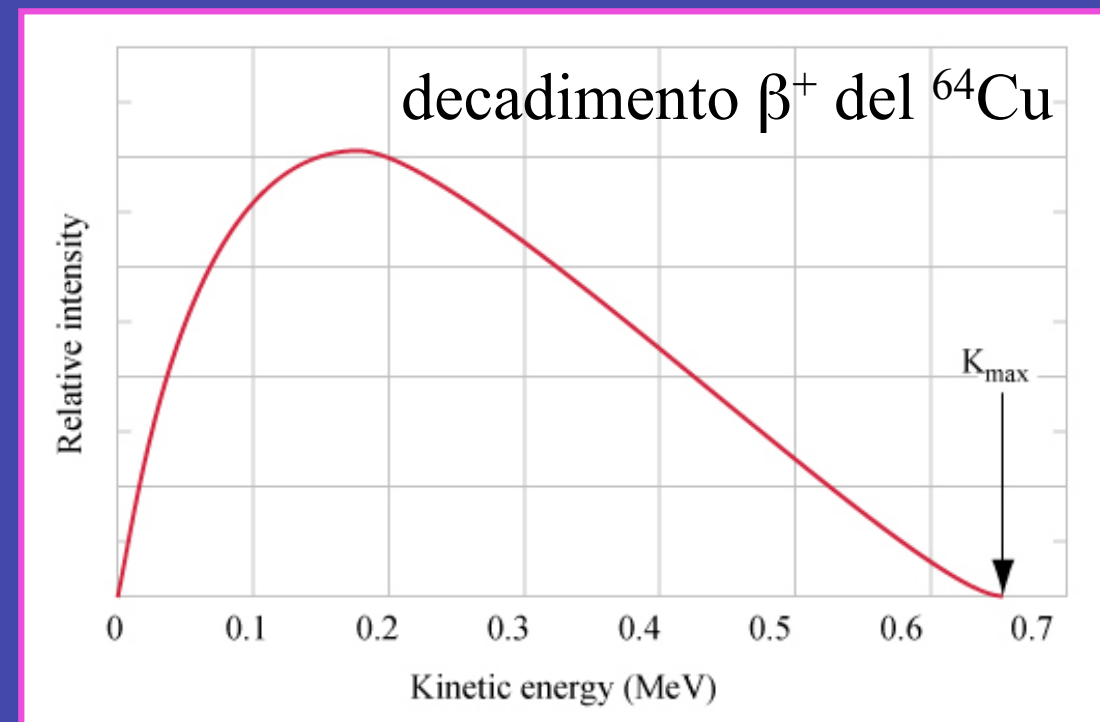
A livello nucleare i decadimenti  $\beta$  sono trasformazione di protoni in neutroni e viceversa:

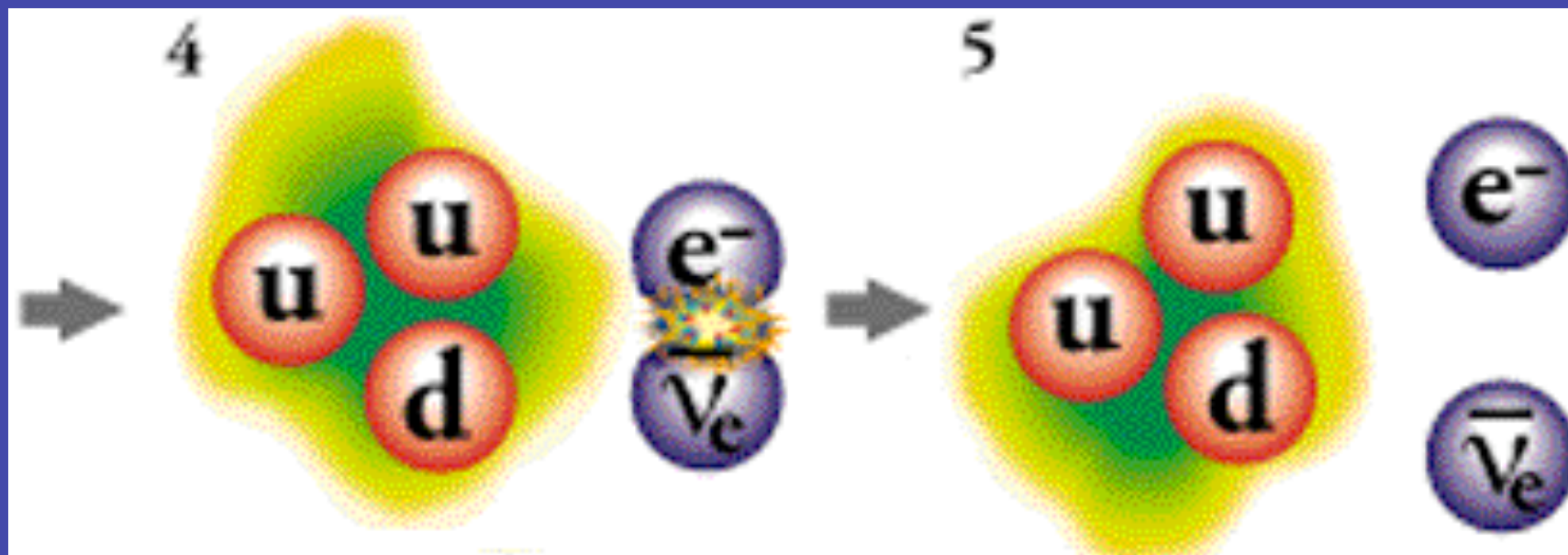
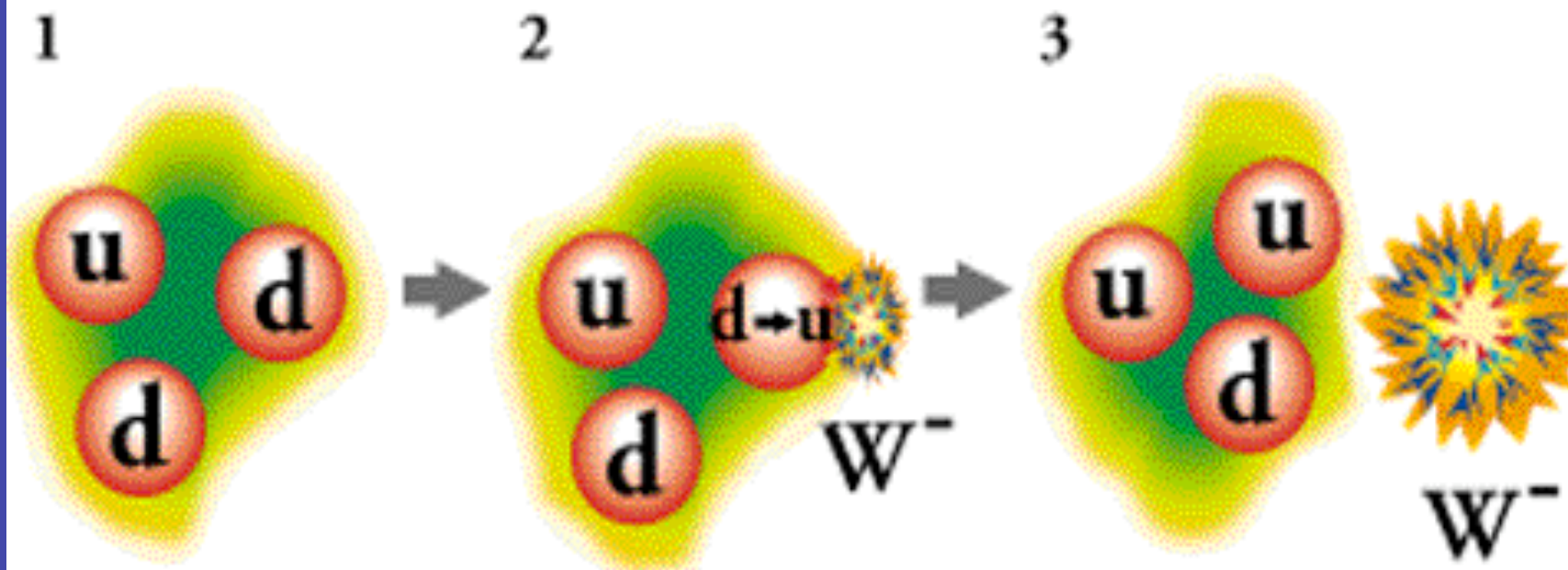
$$\beta^- \quad \beta^+$$



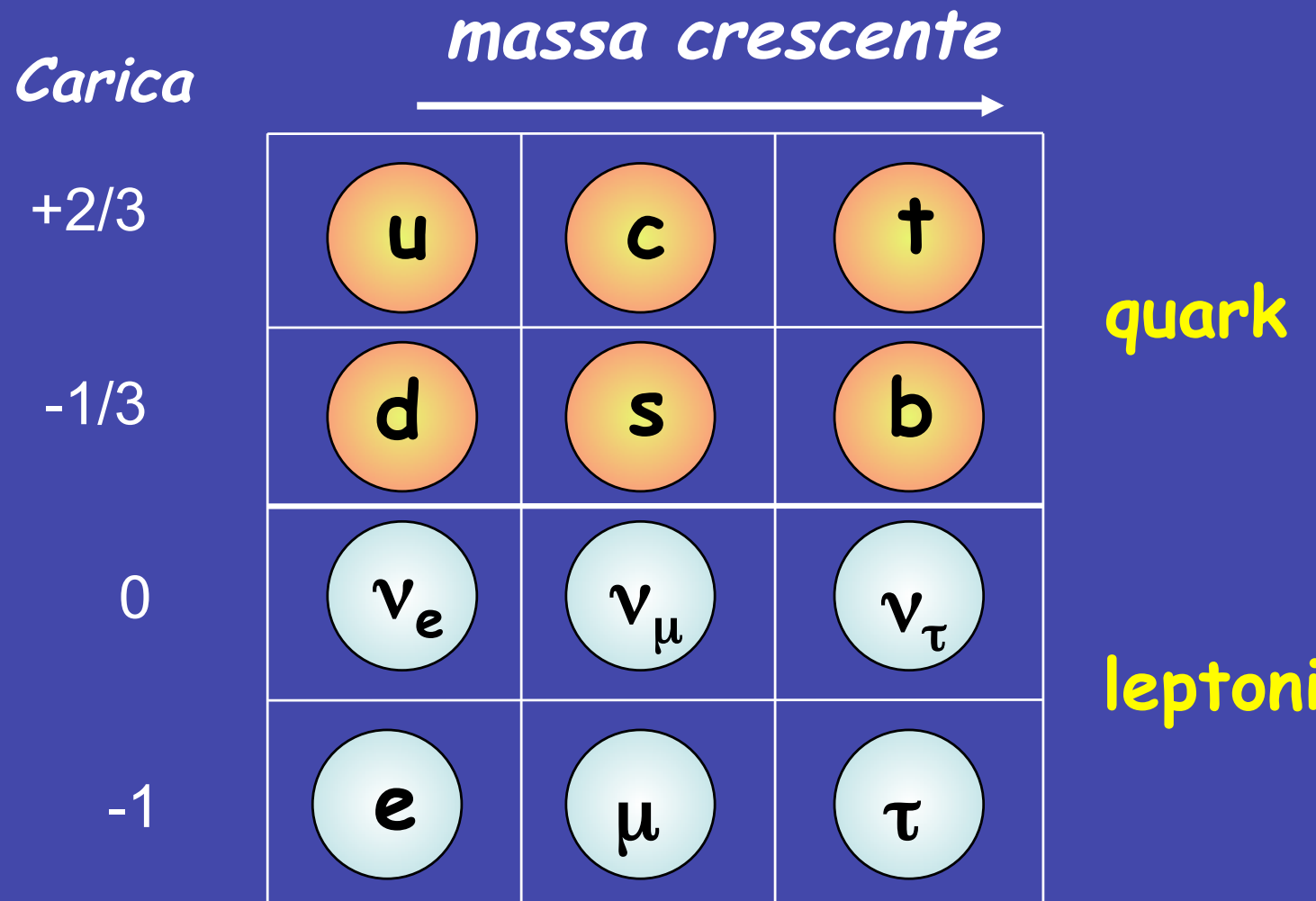
Nel 1930 Pauli ipotizzò l'esistenza del neutrino e nel 1934 Fermi formulò la teoria del decadimento  $\beta$

**Devono valere le leggi di conservazione:  
dell'energia,  
dell'impulso,  
del numero barionico,  
del numero leptónico.**

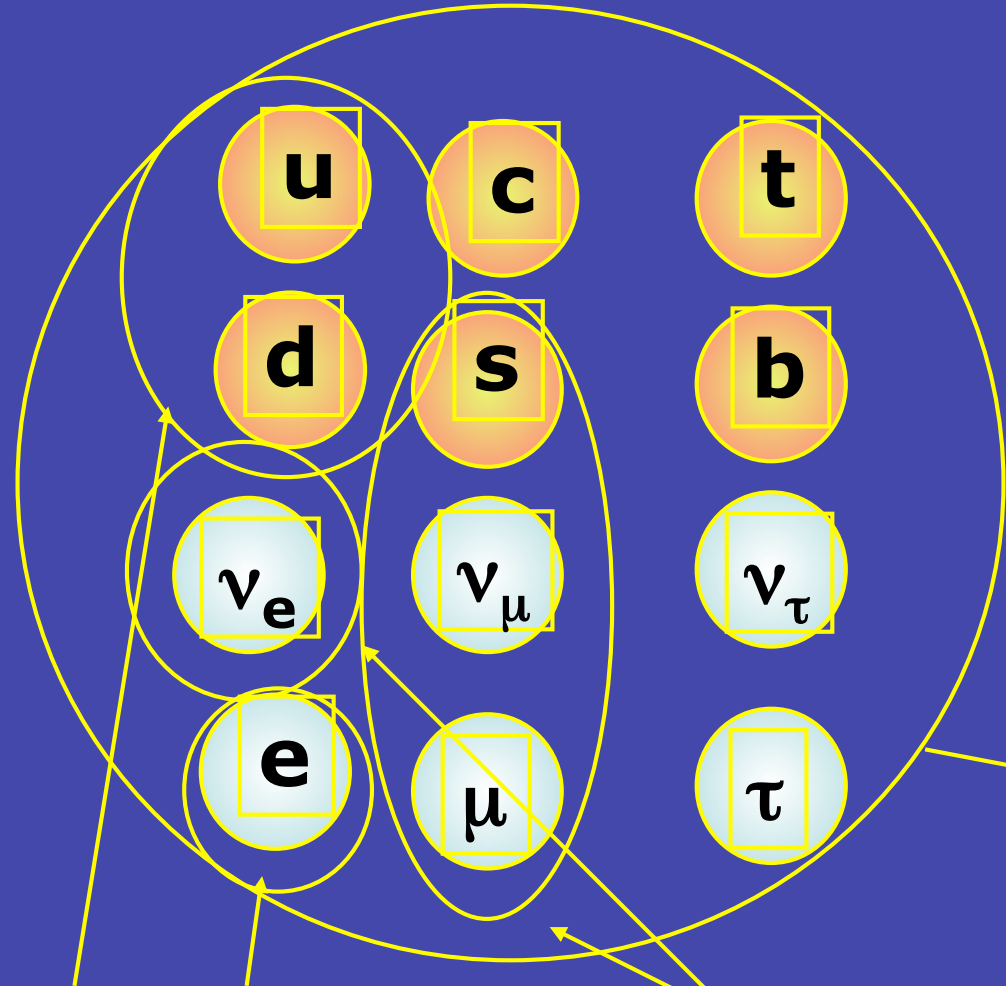




# Particelle fondamentali



# *Il modello standard*



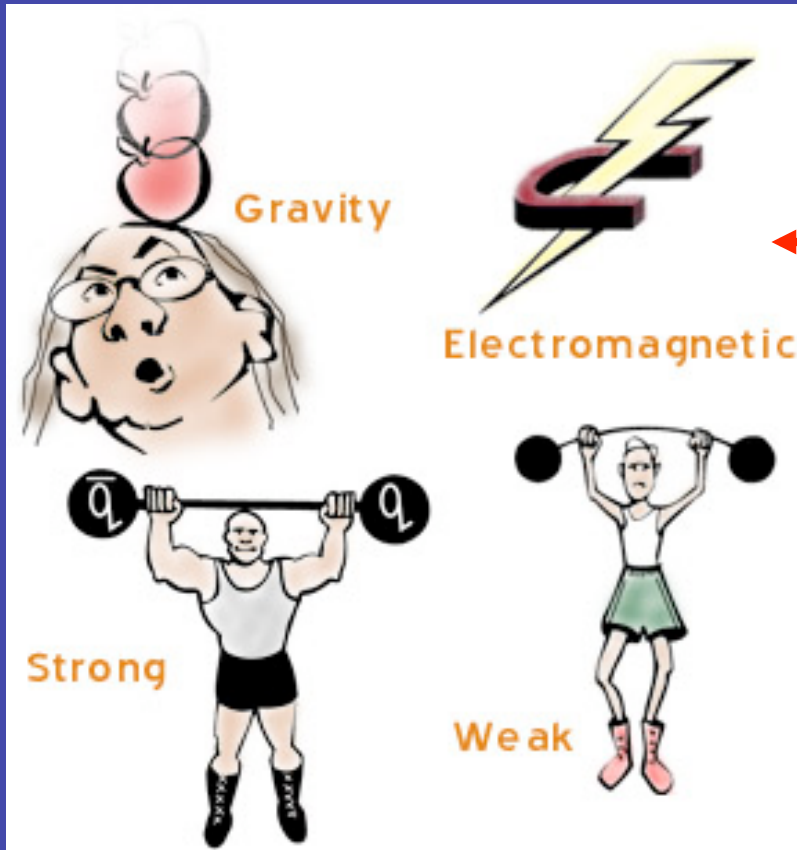
La materia di cui siamo fatti

Raggi cosmici

Le particelle forza  
g gluoni (8)  
 $\gamma$  fotone  
 $W^+, W^-, Z$  bosoni  
H Higgs ??

Si possono produrre  
in laboratorio  
+ le antiparticelle  
ossia l'antimateria

# Le interazioni fondamentali

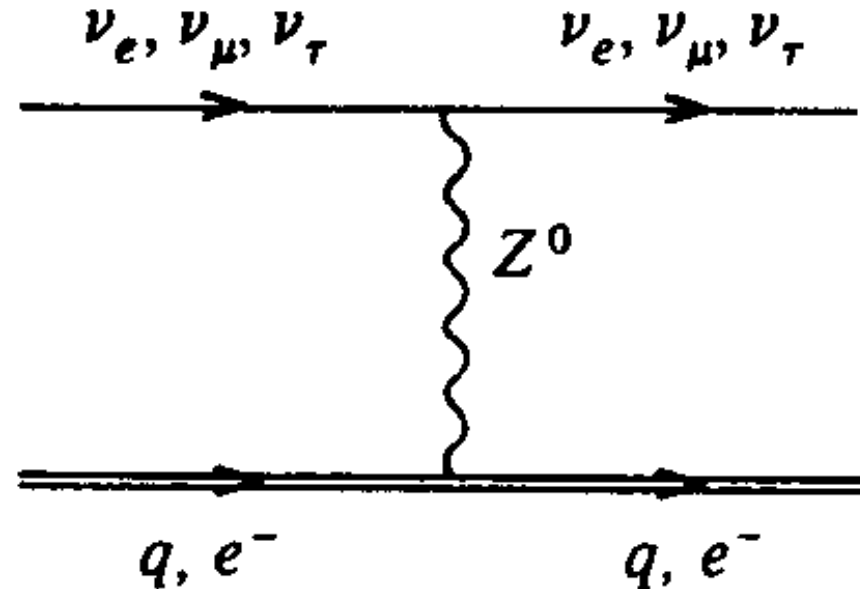


attive su tutte le distanze  
(*long range*)

attive su  $d < 10^{-13}$  cm  
(*short range*)

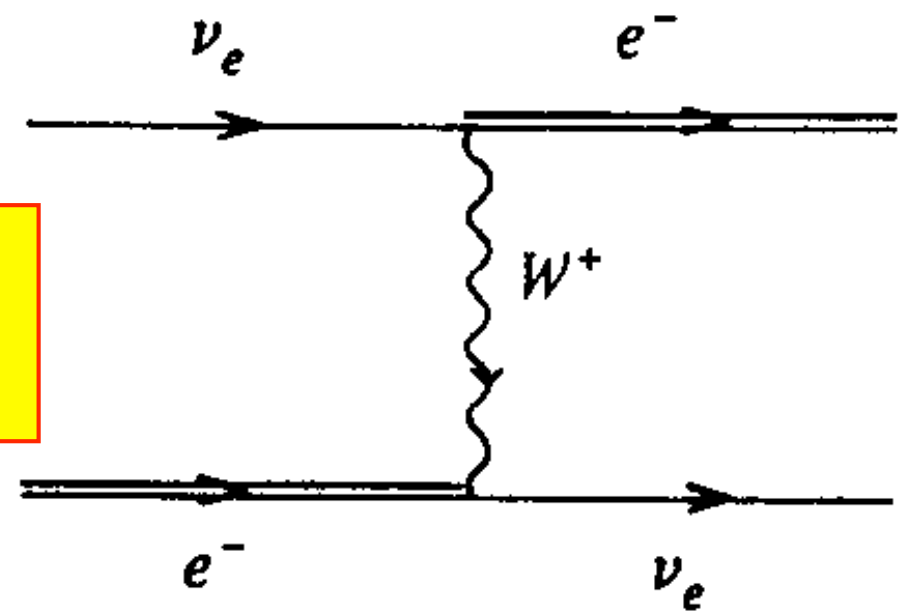
**Leptoni ( $e, \nu$ )**  $\rightarrow$  sensibili a forza nucleare debole

**Adroni (p,n)**  $\rightarrow$  sensibili a forza nucleare forte e  
debole



Interazioni a correnti neutre

Interazioni a correnti cariche



**Neutrino**

spin 1/2



*Spin  
direction*

*Momentum  
direction*

**Anti-Neutrino**

spin 1/2



*Spin  
direction*

*Momentum  
direction*

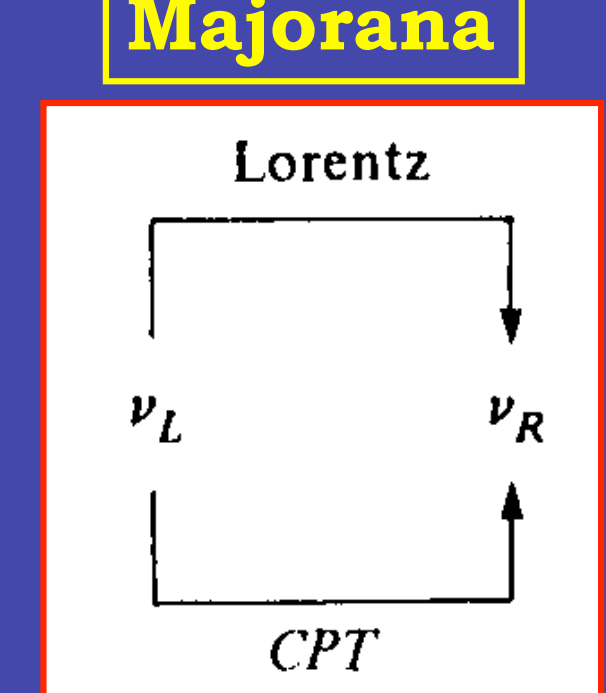
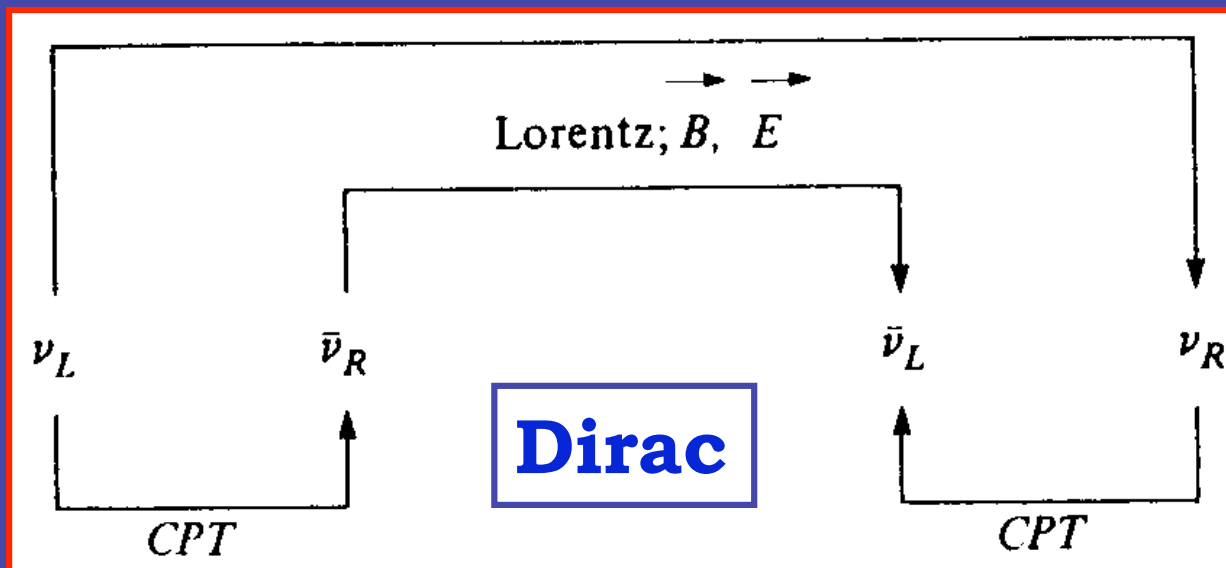
I neutrini sono particelle di Dirac o di Majorana?

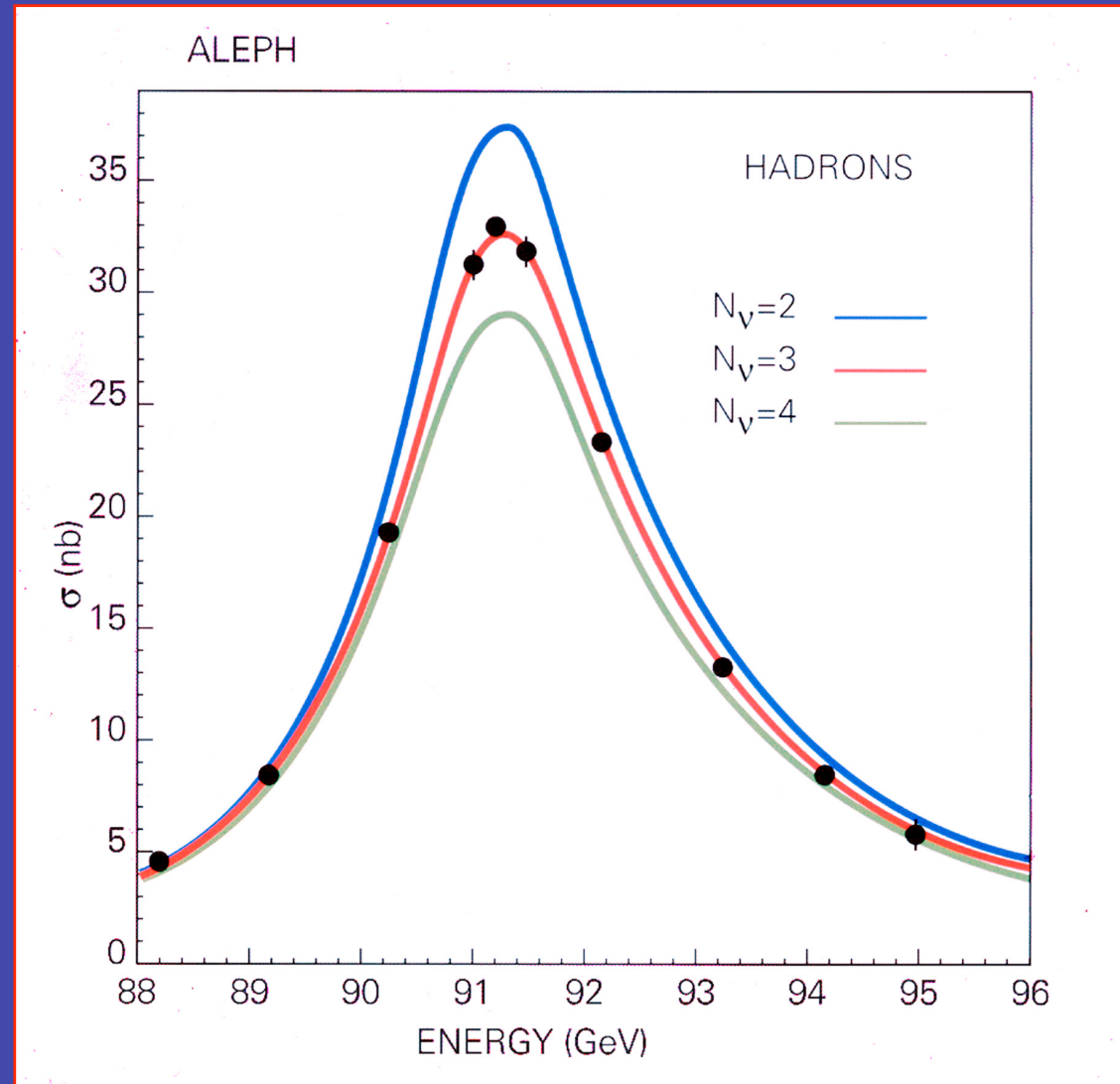
Quante specie di neutrini esistono?

I neutrini hanno massa?

I neutrini oscillano?

**Majorana**

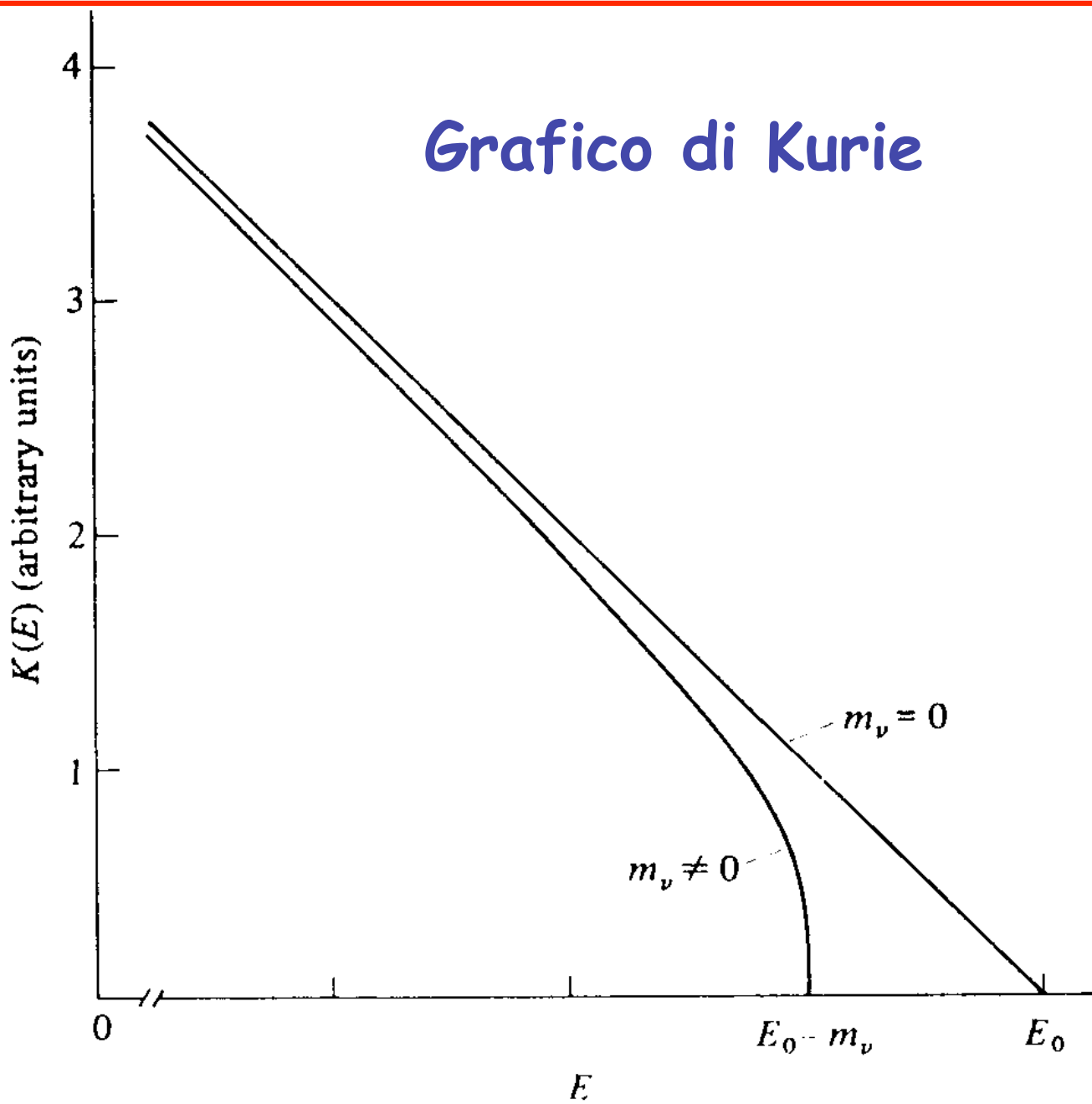




Dalla misura di precisione della massa della  $Z$  si è avuta conferma che le famiglie di quark sono 3

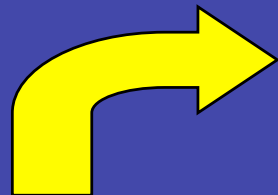
$$\Gamma_{totale} = \Gamma(Z_0 \rightarrow \text{adroni}) + 3\Gamma(Z_0 \rightarrow \text{leptoni}) + N_\nu \Gamma(Z_0 \rightarrow \text{neutrini})$$

## Grafico di Kurie



The idea of neutrinos being massive was first suggested by Pontecorvo.

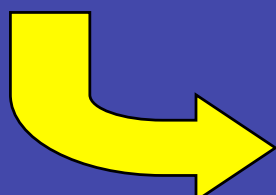
The prediction came from a proposal of ***neutrino oscillations***.



Neutrinos are created or annihilated as W.I. eigenstates

$|\nu_e\rangle, |\nu_\mu\rangle, |\nu_\tau\rangle$  = Weak Interactions eigenstates

$|\nu_1\rangle, |\nu_2\rangle, |\nu_3\rangle$  = Mass (Hamiltonian) eigenstates



Neutrinos propagate as a superposition of mass eigenstates

Per semplicità, consideriamo per ora due famiglie di neutrini

$$\begin{pmatrix} \nu_\mu \\ \nu_e \end{pmatrix} = \begin{pmatrix} \cos\theta & \sin\theta \\ -\sin\theta & \cos\theta \end{pmatrix} \begin{pmatrix} \nu_1 \\ \nu_2 \end{pmatrix}$$

Il segnale osservabile varia periodicamente con la distanza del rivelatore dalla sorgente, ripetendosi per multipli interi della lunghezza di oscillazione, che si ottiene ponendo la fase  $\Phi = 2\pi$

$$L_{\text{osc}} = 2\pi \frac{2p_\nu}{|m_1^2 - m_2^2|} \approx 2\pi \frac{2E_\nu}{|m_1^2 - m_2^2|} = 2,48 \text{ km} \frac{E_\nu (\text{GeV})}{\Delta m^2 (\text{eV}^2)}$$

La probabilità di oscillazione è data da

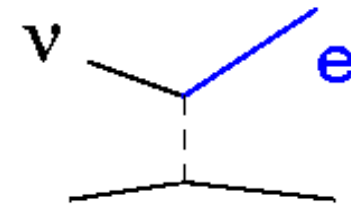
$$P_{\nu_\mu \rightarrow \nu_e} = \sin^2 2\vartheta \cdot \sin^2 \left( 1,27 \frac{\Delta m^2 L}{E_\nu} \right)$$

e si hanno massimi di oscillazione per

$$1.27 \frac{\Delta m^2 L}{E_\nu} = (2n + 1) \frac{\pi}{2}$$

# *Appearance vs. Disappearance*

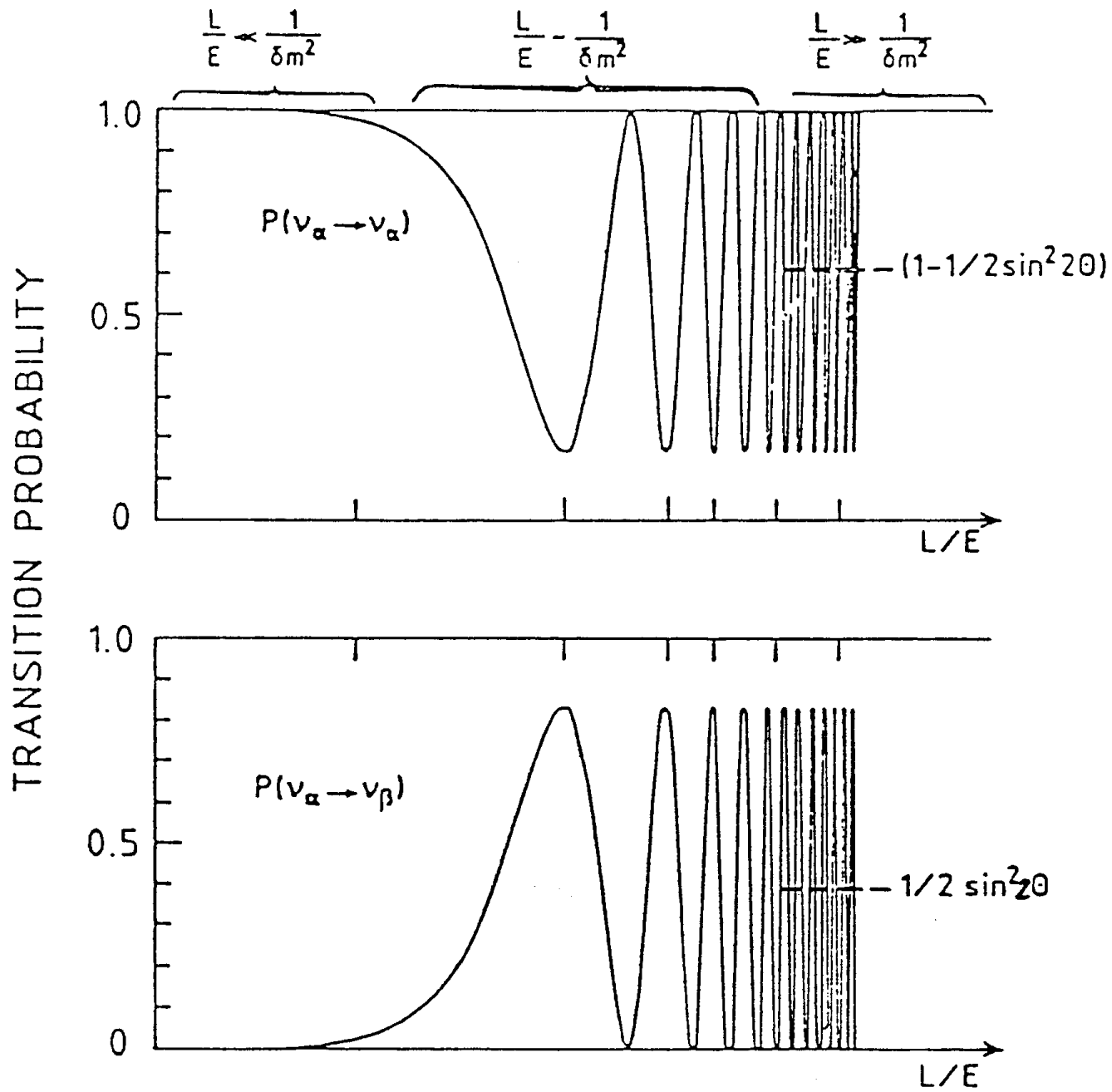
"*Appearance Experiments*"  
see the new neutrino type  
in the detector



A "*Disappearance Experiment*" observes

fewer  $\nu$  than expected





In uno schema a 3 neutrini gli *autostati deboli* (o *di flavor*) *fenomenologici*, ossia  $\nu_e$ ,  $\nu_\mu$ ,  $\nu_\tau$  sono legati agli *autostati di massa*  $\nu_i$  aventi una massa definita  $m_i$ , da una relazione lineare del tipo:

$$\begin{pmatrix} \nu_e \\ \nu_\mu \\ \nu_\tau \end{pmatrix} = \mathbf{U} \cdot \begin{pmatrix} \nu_1 \\ \nu_2 \\ \nu_3 \end{pmatrix} = \begin{pmatrix} U_{e1} & U_{e2} & U_{e3} \\ U_{\mu 1} & U_{\mu 2} & U_{\mu 3} \\ U_{\tau 1} & U_{\tau 2} & U_{\tau 3} \end{pmatrix} \cdot \begin{pmatrix} \nu_1 \\ \nu_2 \\ \nu_3 \end{pmatrix}$$

dove la matrice unitaria  $\mathbf{U}$  è detta  
*matrice di mixing.*

Di solito questa matrice viene parametrizzata come il prodotto di tre rotazioni, in analogia alla matrice di Cabibbo-Kobayashi-Maskawa nel settore adronico:

$$\mathbf{U} = \begin{pmatrix} 1 & 0 & 0 \\ 0 & \cos\theta_{23} & \sin\theta_{23} \\ 0 & -\sin\theta_{23} & \cos\theta_{23} \end{pmatrix} \cdot \begin{pmatrix} \cos\theta_{13} & 0 & e^{-i\delta}\sin\theta_{13} \\ 0 & 1 & 0 \\ -e^{i\delta}\sin\theta_{13} & 0 & \cos\theta_{13} \end{pmatrix} \cdot \begin{pmatrix} \cos\theta_{12} & \sin\theta_{12} & 0 \\ -\sin\theta_{12} & \cos\theta_{12} & 0 \\ 0 & 0 & 1 \end{pmatrix} \cdot \begin{pmatrix} 1 & & \\ & e^{i\varphi_2} & \\ & & e^{i\varphi_3} \end{pmatrix}$$

gli angoli  $\theta_{ij}$  sono detti angoli di mixing, mentre le fasi  $\delta$  (fase di Dirac),  $\varphi_2$  e  $\varphi_3$  (fasi di Majorana) sono legate alla violazione di CP nel settore leptónico. Le fasi di Majorana non sono osservabili nei fenomeni di oscillazione.

# OSCILLAZIONI DI NEUTRINO

nel vuoto:

$$P(\nu_\mu \rightarrow \nu_\tau) \approx \sin^2(2\vartheta) \sin^2 \left( 1.27 \frac{\Delta m^2 (\text{eV}^2) L (\text{km})}{E (\text{GeV})} \right)$$

## 1. neutrini solari

$L = 1.5 \cdot 10^{11} \text{ m}$ ,  $E \sim 10 \text{ MeV}$ .  
da cui:  $L/E \sim 10^{10} \text{ km/GeV}$ .

$$\nu_e \rightarrow \nu_x$$

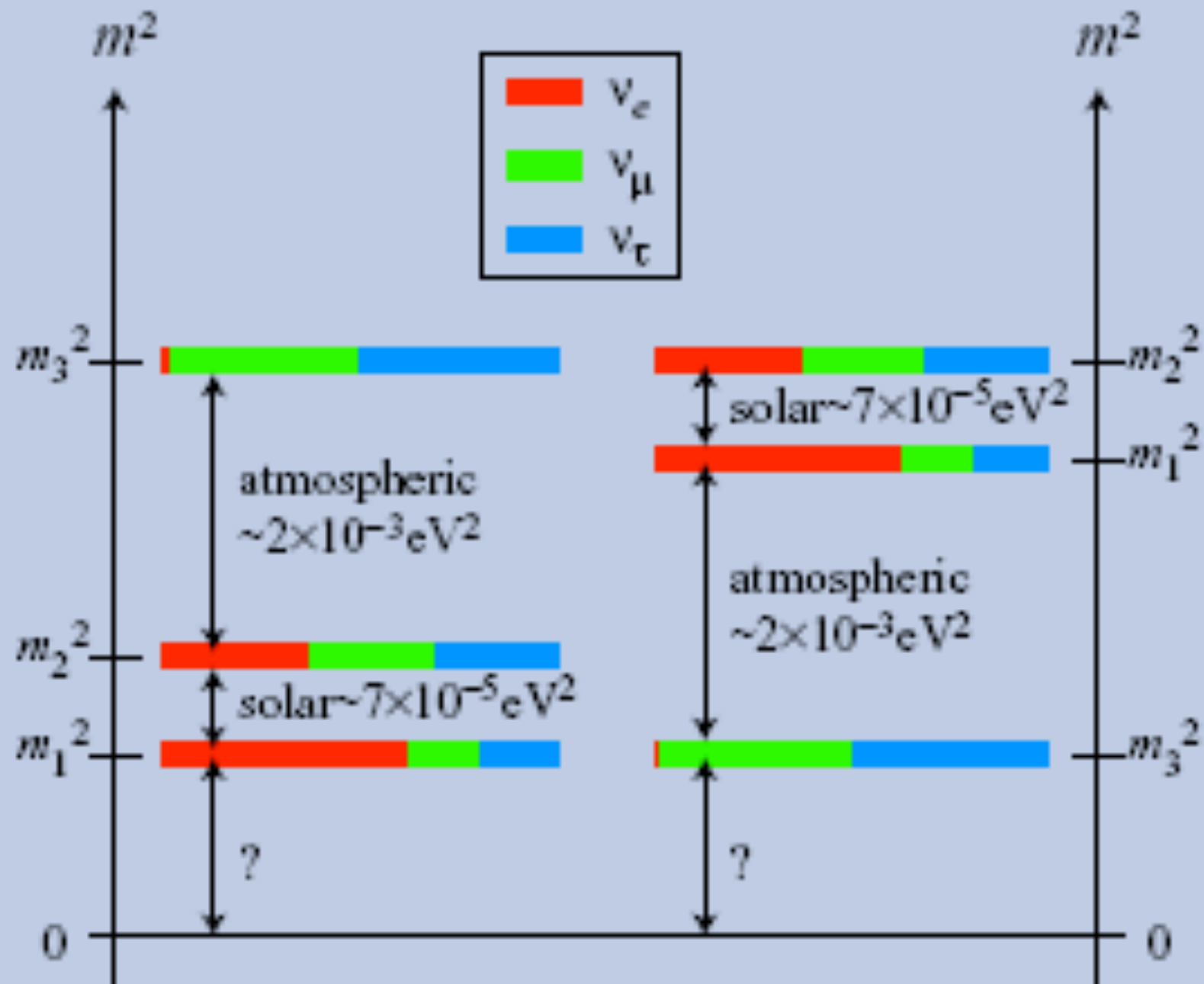
## 2. neutrini atmosferici (eventi confinati)

$L = 30 \text{ km}$  (dall'alto),  $E \sim 10 \text{ GeV}$   
 $L = 10^4 \text{ km}$  (dal basso),  $E \sim 10 \text{ GeV}$   
da cui:  $L/E$  varia da  $\sim 1$  a  $10^4 \text{ km/GeV}$ .

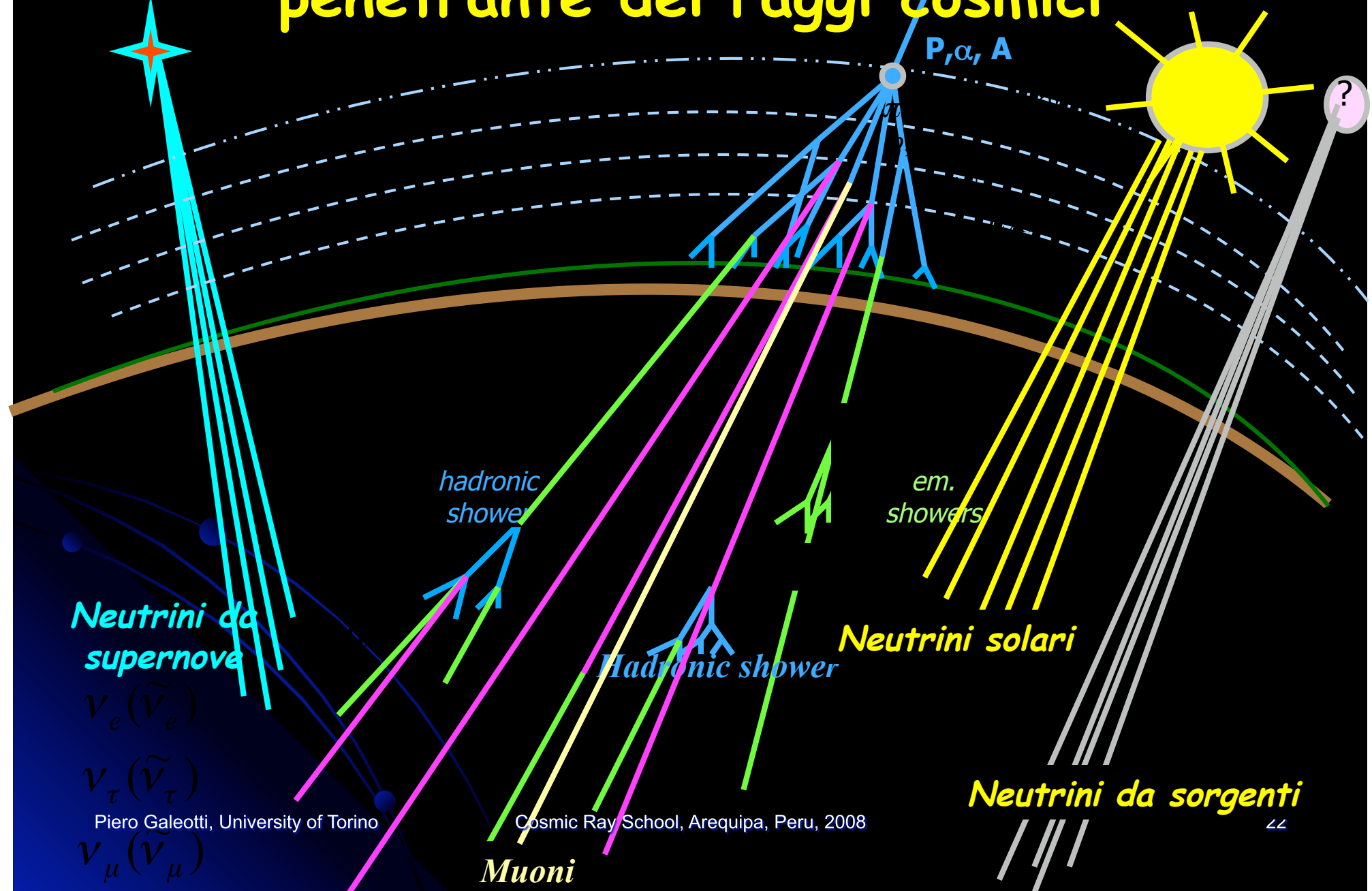
$$\nu_\mu \leftrightarrow \nu_\tau$$

## 3. neutrini da sorgenti astrofisiche

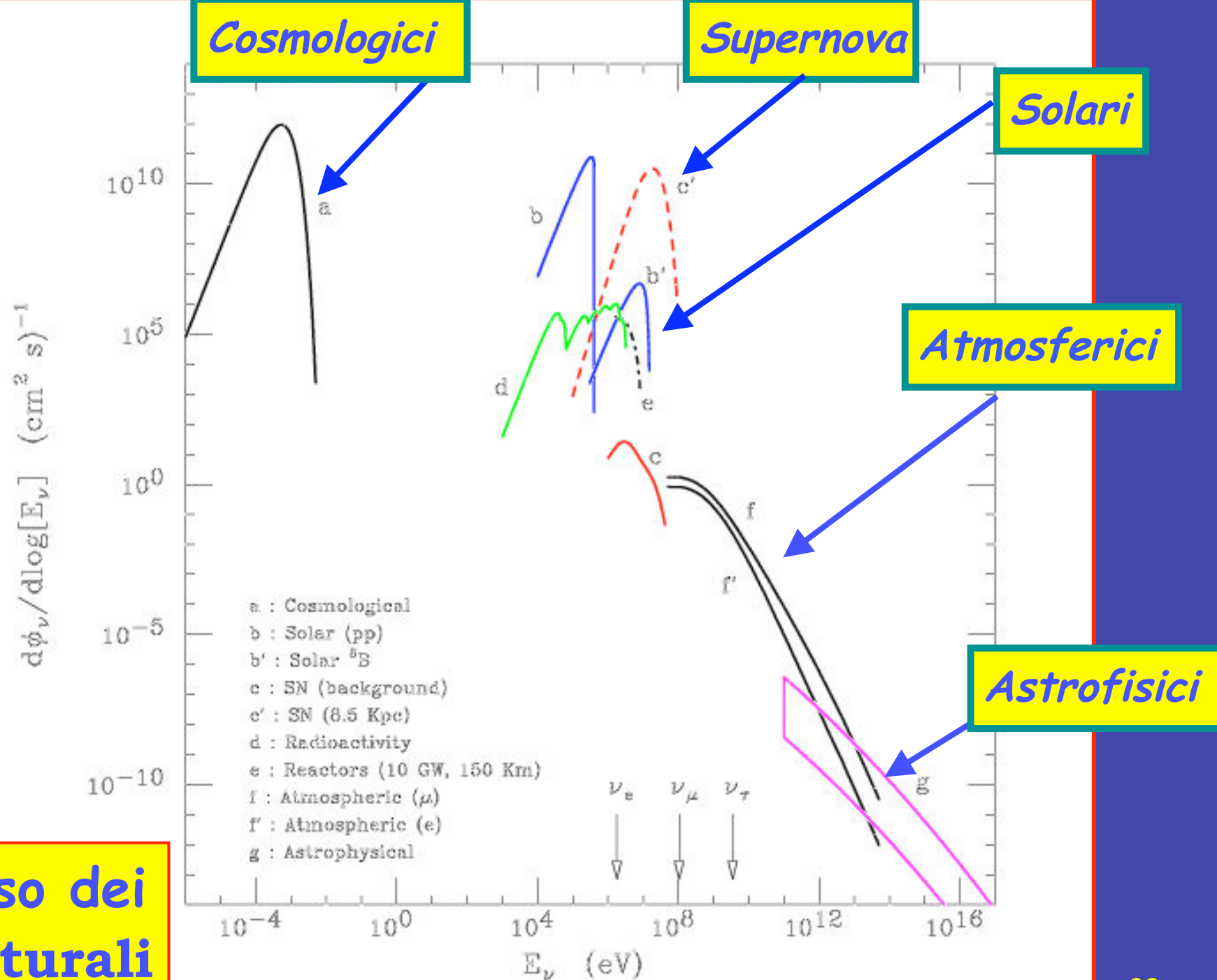
$L = 3 \cdot 10^{21} \text{ km}$  (100 Mpc),  $E > 10^7 \text{ GeV}$   
Sorgenti localizzate rispetto al fondo dei neutrini atmosferici



# Sottoterra si può studiare la componente penetrante dei raggi cosmici



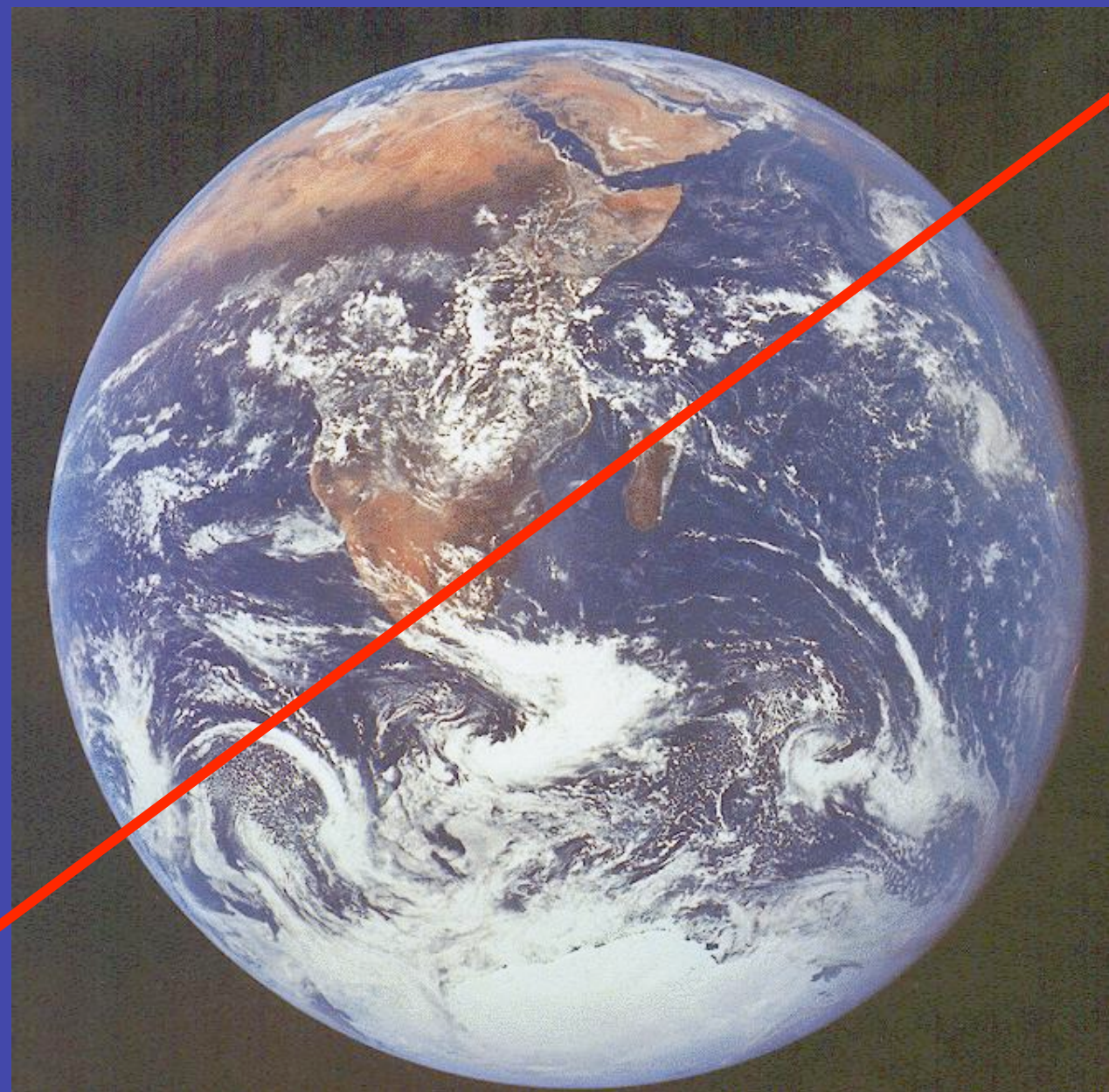
## Flusso dei $\nu$ naturali

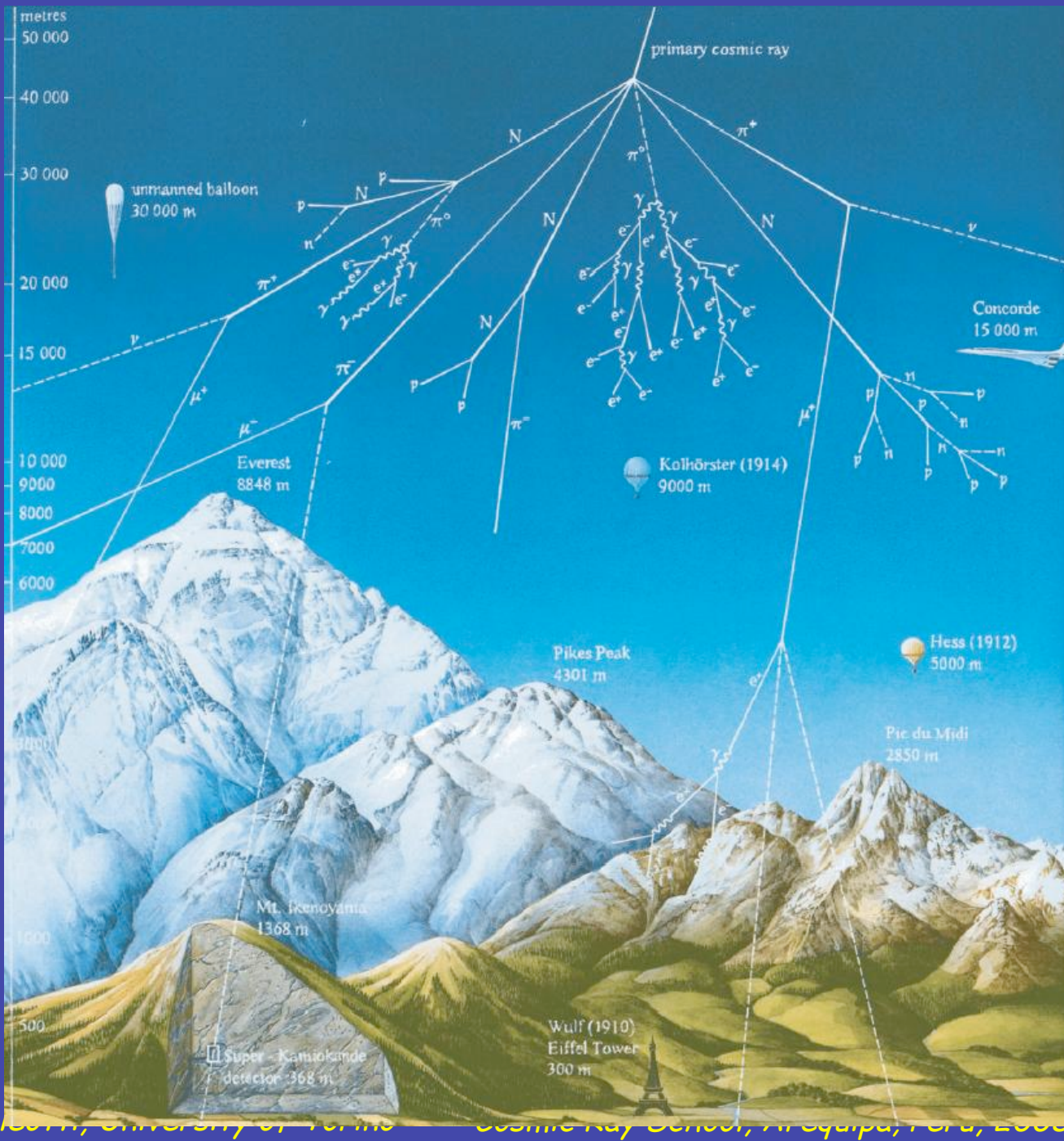


Neutrino  
energy  
 $E = 1 \text{ MeV}$

Neutrino  
cross-section  
 $\sigma = 10^{-44} \text{ cm}^2$

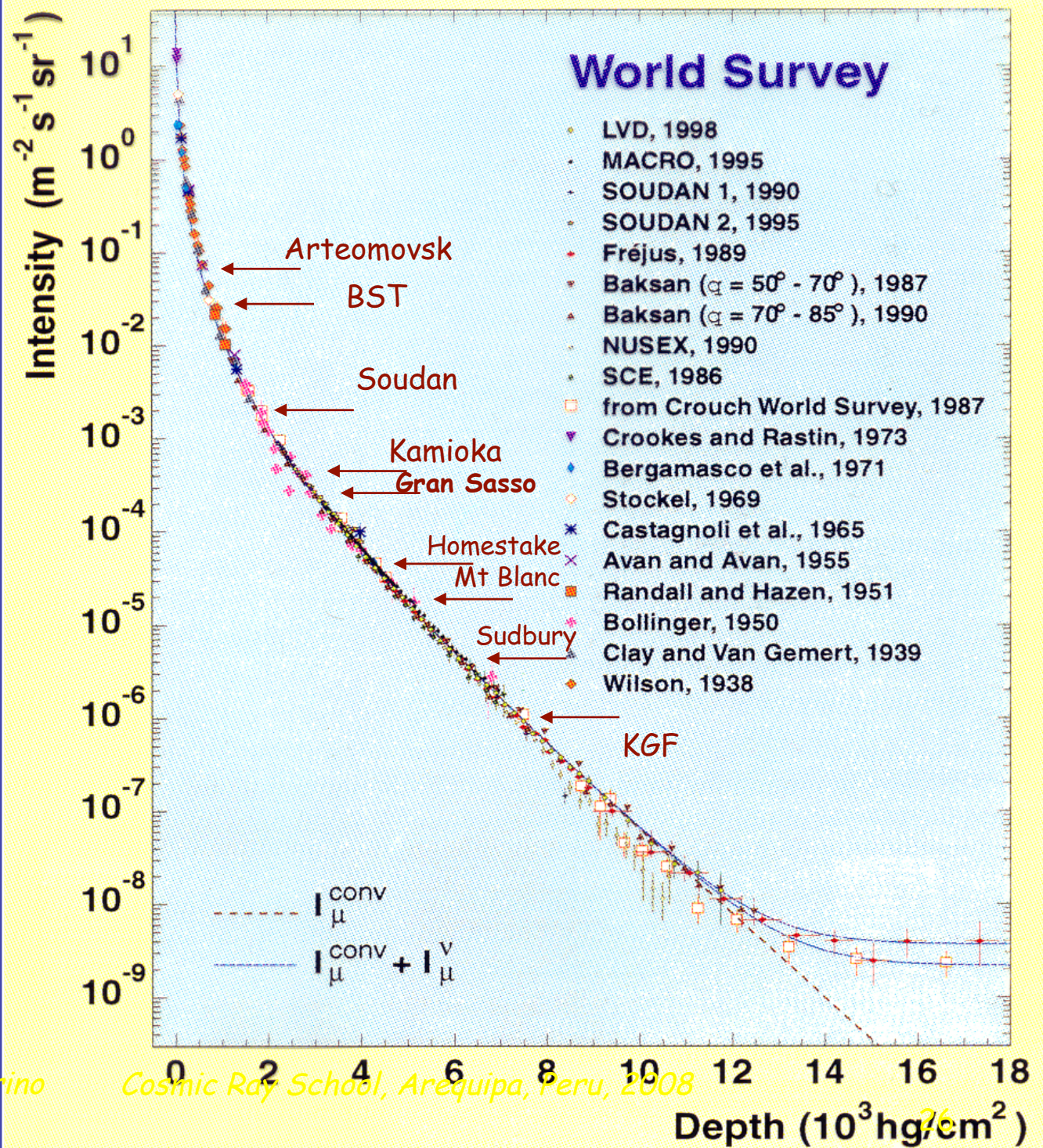
Probability of one  
interaction in  
crossing the  
Earth diameter  
 $P \sim 10^{-11}$

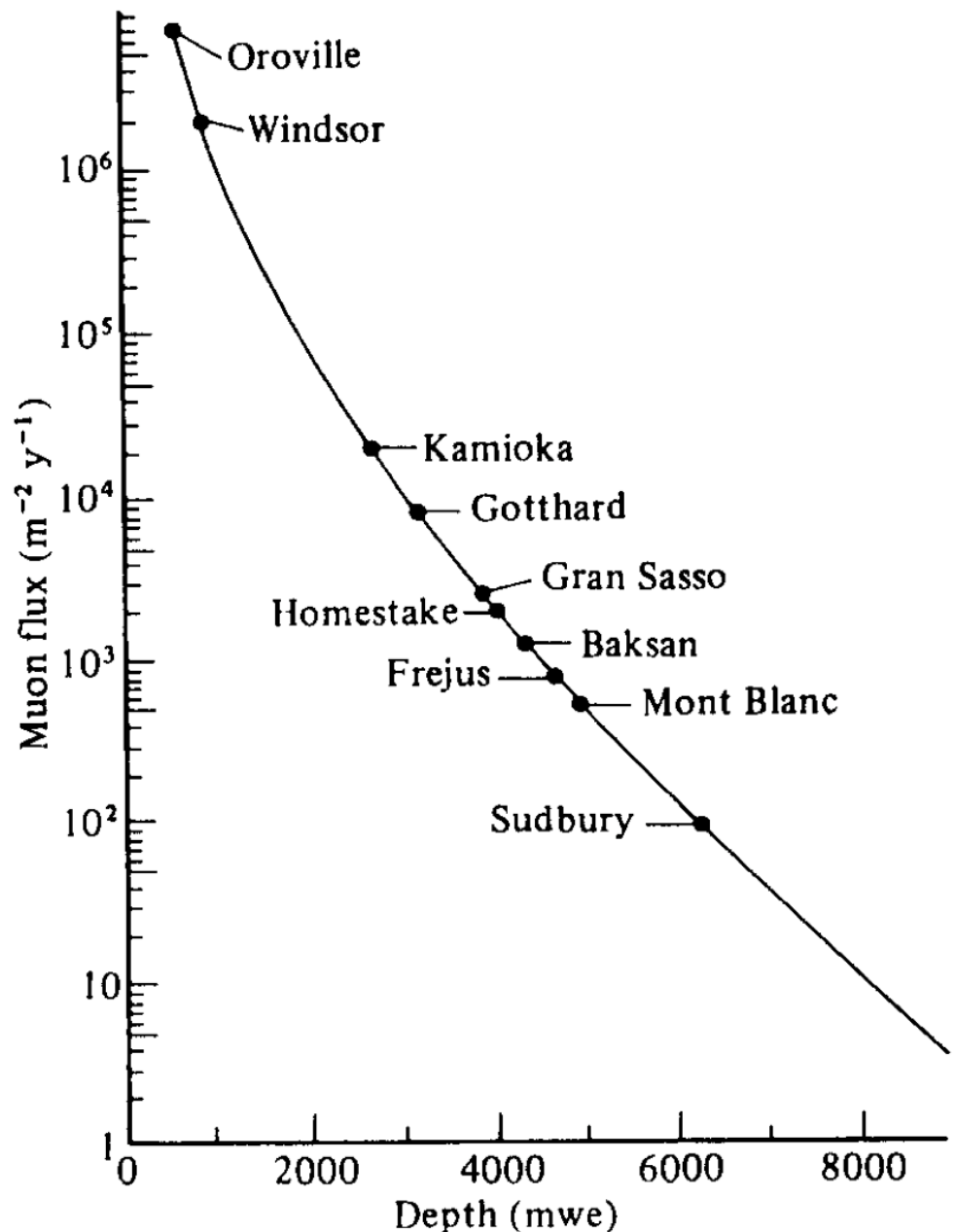




Piero Gallo, University of Torino  
Cosmic-ray school, Arequipa, Peru, 2000

The muon depth-intensity curve  
(underground data):  
curves are calculated  
by Bugaev et al.,  
1998





Flusso di  $\mu$  in  
alcuni laboratori  
in funzione della  
loro profondità  
sottoroccia

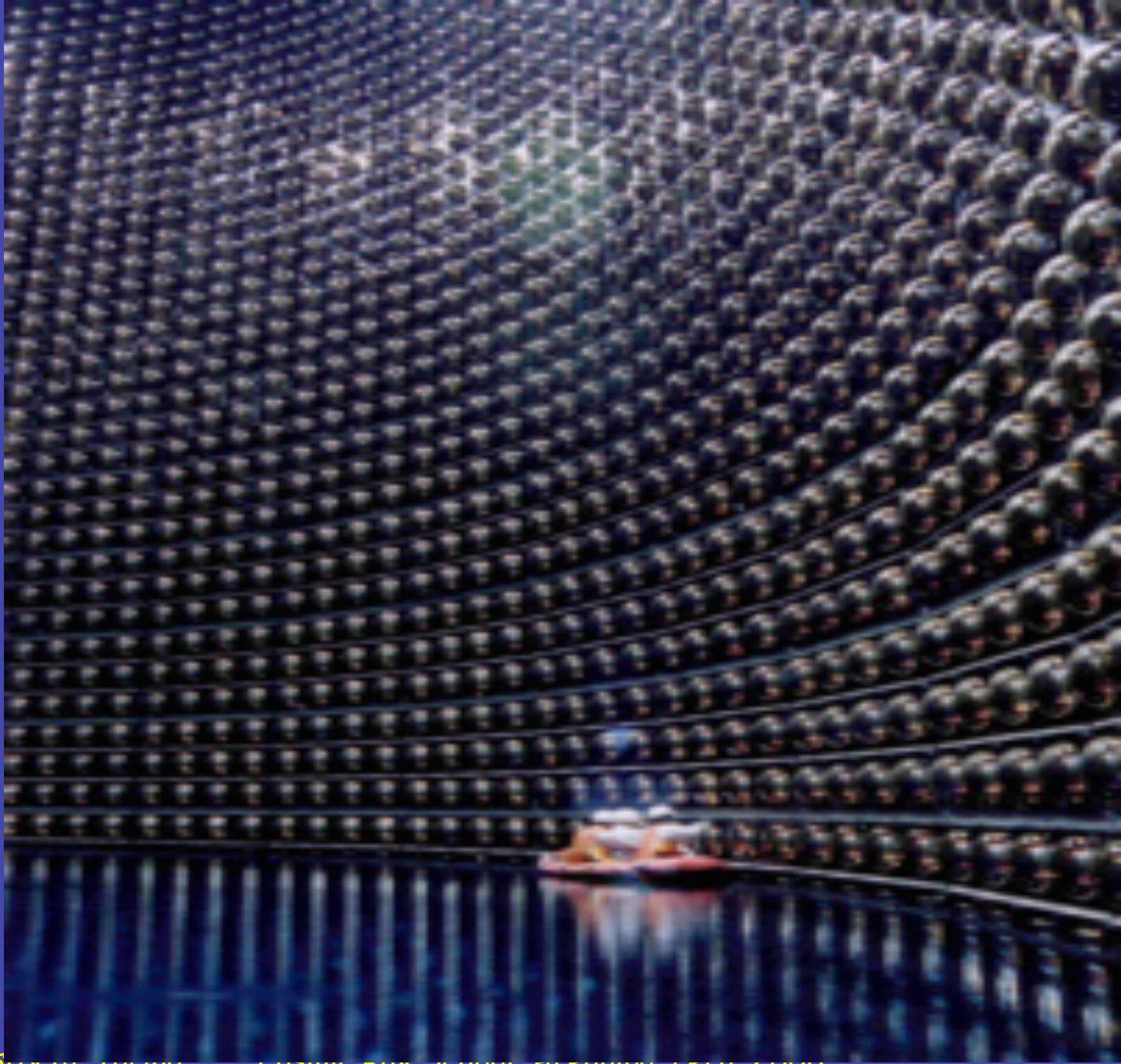
# Laboratorio del Monte Bianco



A massive (1 kton) scintillation detector  
for neutrino astronomy @ LNGS is  
running since 1992 (16 Years of data)

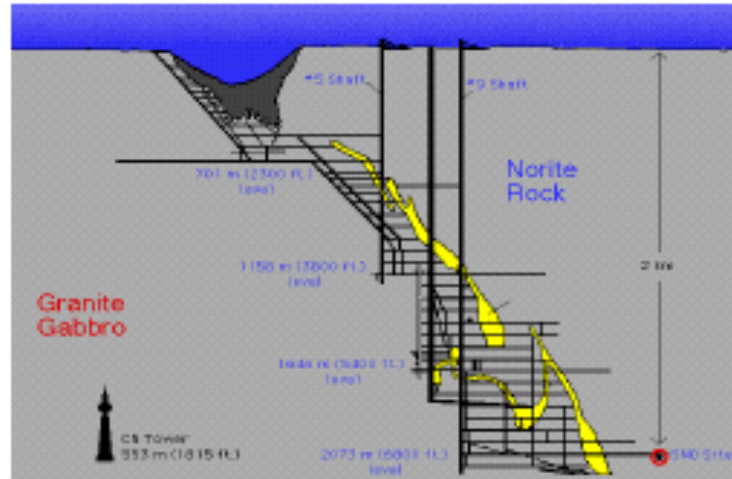


# *SuperK*



Piero Galeotti, Università di Torino

Cosimo Ruggi, Università degli Studi di Genova, Italy



# Sudbury Neutrino Observatory

**1000 tonnes D<sub>2</sub>O**

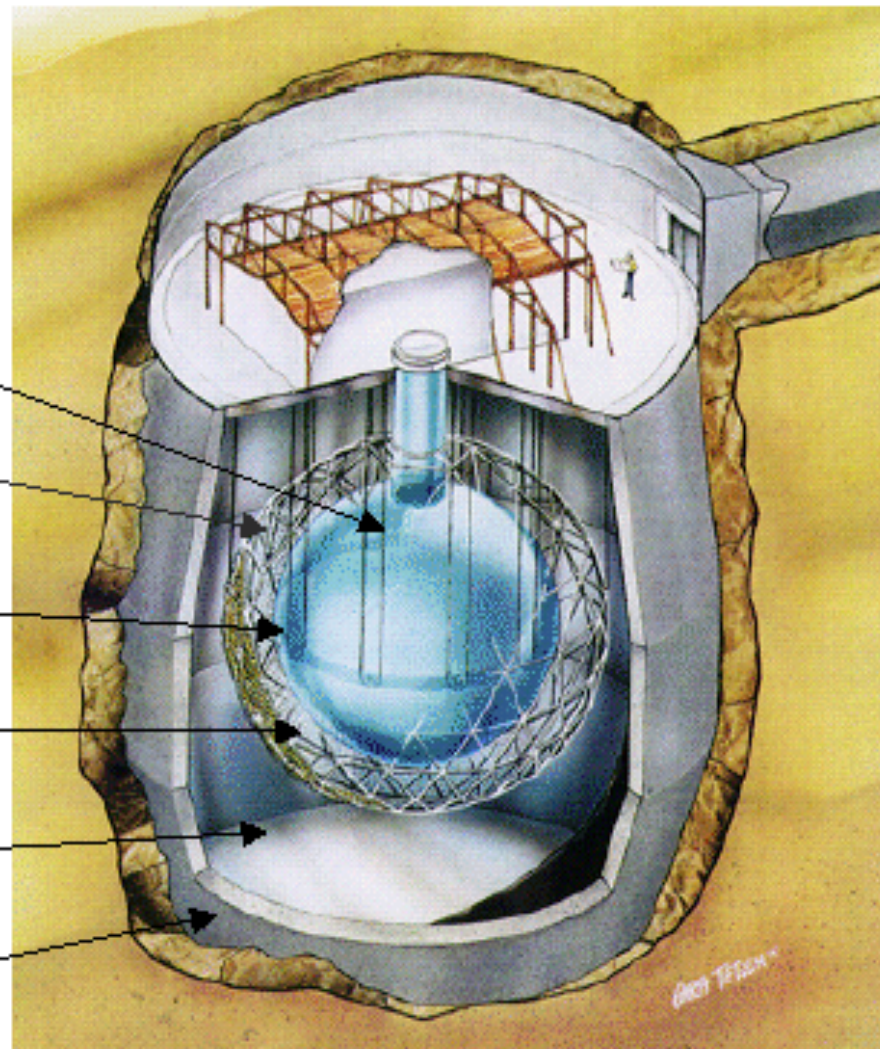
Support Structure  
for 9500 PMTs,  
60% coverage

12 m Diameter  
Acrylic Vessel

1700 tonnes Inner  
Shielding H<sub>2</sub>O

5300 tonnes Outer  
Shield H<sub>2</sub>O

Urylon Liner and  
Radon Seal



## The Borexino detector

**The Detector** = 300 t (100 fid) of liquid scintillator : PC+PPO (1.5 g/l)

Suspended inside a nylon sphere  $\varnothing=8.5\text{m}$

**The buffer zone** = 1040 t of non scintillating liquid: PC + DMP

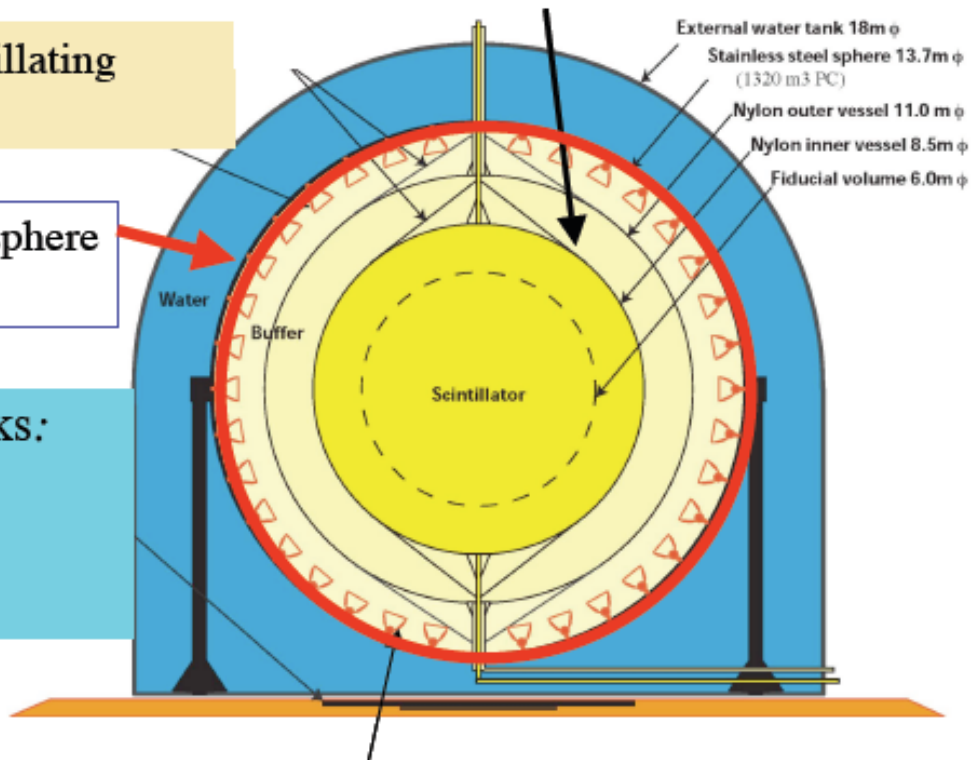
All inside a SS sphere  $\varnothing=13.7\text{m}$

**The shielding** of the  $\gamma$  from the rocks:

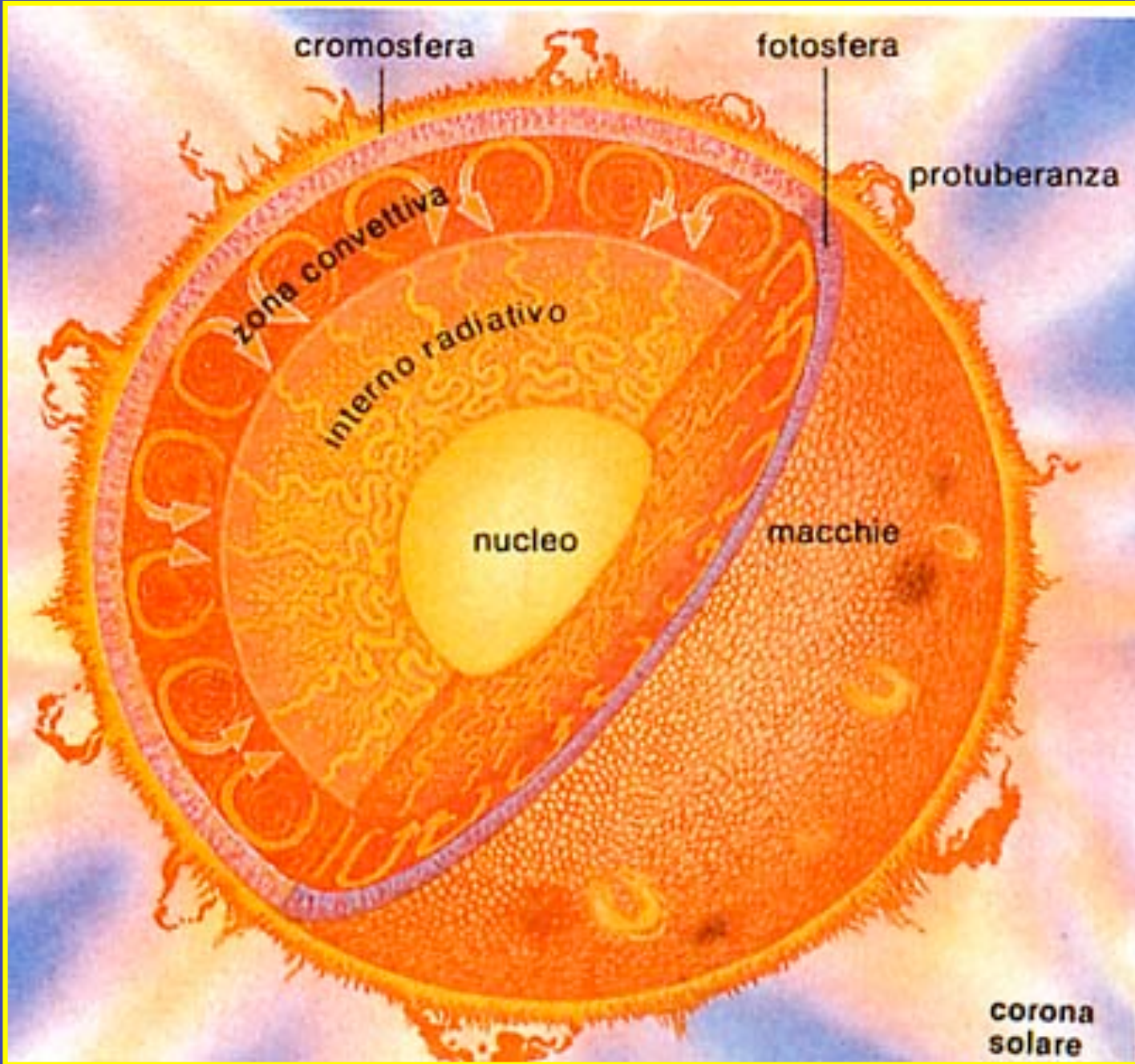
2m of ultrapure water

In a SS Water Tank

$\varnothing= 18\text{m}$



# Sole

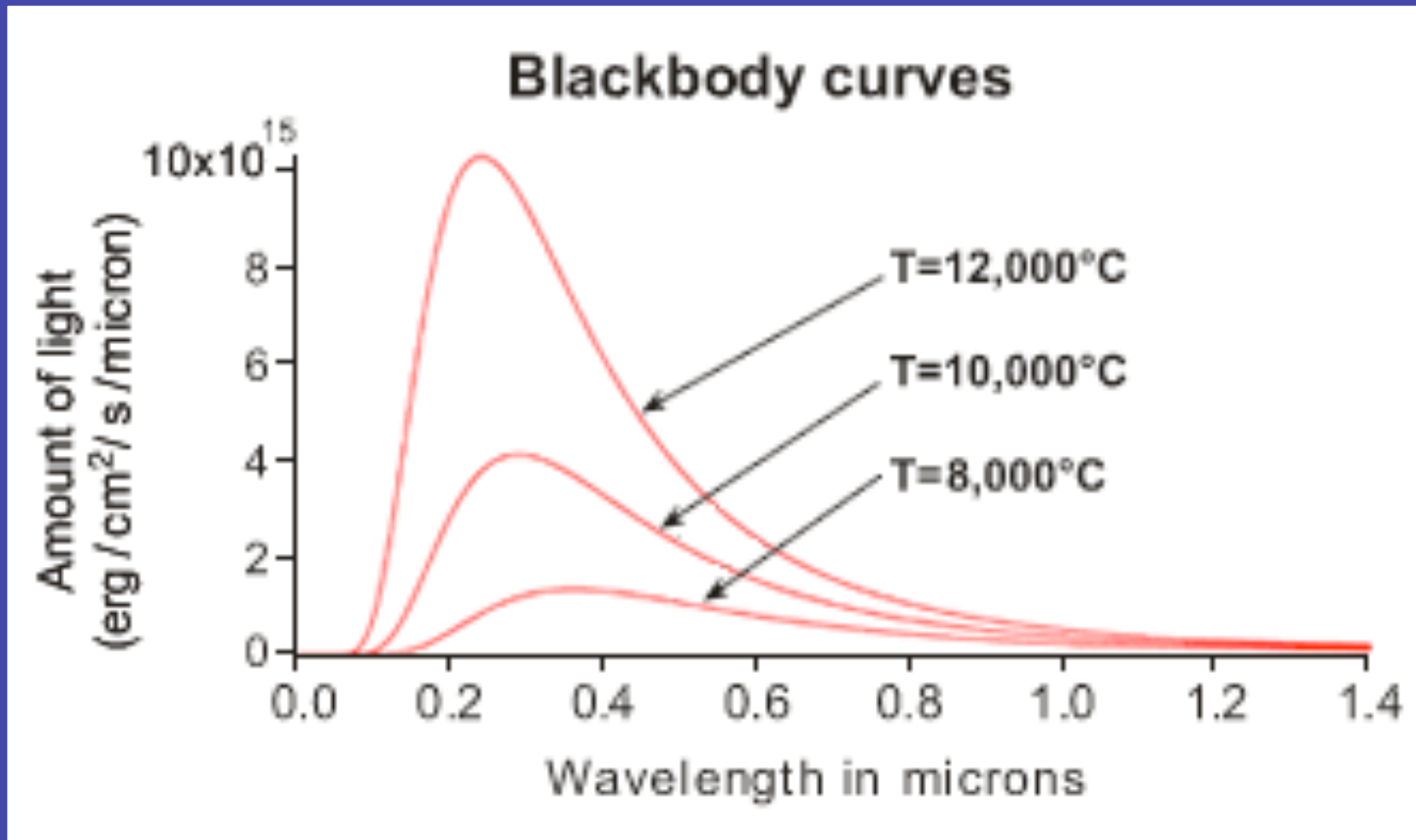


# Struttura del Sole

Caratteristica	Valore
Distanza	$1.5 \cdot 10^{11}$ m
Raggio	$7 \cdot 10^8$ m
Massa	$2 \cdot 10^{30}$ Kg
Densità	$1.4 \cdot 10^3$ kg/m <sup>3</sup>
Luminosità	$3.8 \cdot 10^{26}$ W
Temperatura effettiva	5800 K
Densità centrale	$1.5 \cdot 10^5$ kg/m <sup>3</sup>
Pressione centrale	$6 \cdot 10^{14}$ Pa
Temperatura centrale	$1.3 \cdot 10^7$ K
Età	$1.4 \cdot 10^{17}$ s

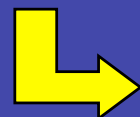
$$G \frac{m_P M_O}{d^2} = m_P a_c = \frac{m_P v^2}{d} = m_P \left( \frac{2\pi d}{T} \right)^2 \frac{1}{d}$$

$$M_O = \frac{4\pi^2 d^3}{GT^2}$$



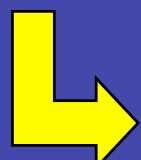
Nelle stelle (e quindi anche nel Sole) avvengono spontaneamente le reazioni di fusione termonucleare che bruciano idrogeno trasformandolo in elio, l'unico processo in grado di spiegare la lunga esistenza delle stelle. Due condizioni permettono di stimare le condizioni interne delle stelle:

**equilibrio idrostatico (legge di Stevino)**



$$dP = -\rho g dr$$

**equazione di stato dei gas perfetti**



*Cosmic Ray*

*Peru, 2008*

$$P = \frac{nRT}{V} = NkT = \frac{k}{\mu m_H} \rho T$$

Dalla prima si ricava la pressione al centro del Sole:

$$\frac{dP(r)}{dr} = -\rho g = -\rho \frac{GM(r)}{r^2} = -\frac{4}{3}\pi G \rho^2 r$$

$$\int_r^{R_0} \frac{4}{3}\pi \rho^{-2} Gr dr = \frac{2}{3}\pi \rho^{-2} G (R_0^2 - r^2) = P(r) - P(R_0)$$

$$P(r=0) = P_C = \frac{2}{3}\pi \rho^{-2} G R_0^2 = \frac{3GM_O^2}{8\pi R_0^4} = \frac{\bar{\rho}GM_O}{2R_O} \approx 6 \cdot 10^{14} \text{ Pa}$$

Dalla seconda si ricava la temperatura al centro del Sole:

$$T_C \sim 1,5 \cdot 10^7 \text{ K} \sim 1 \text{ keV}$$

*un valore circa 100 volte inferiore  
all'energia repulsiva elettrostatica tra  
2 protoni alla distanza  $r \sim 10^{-14} \text{ m.}$*

# Equilibrio idrodinamico ed energetico

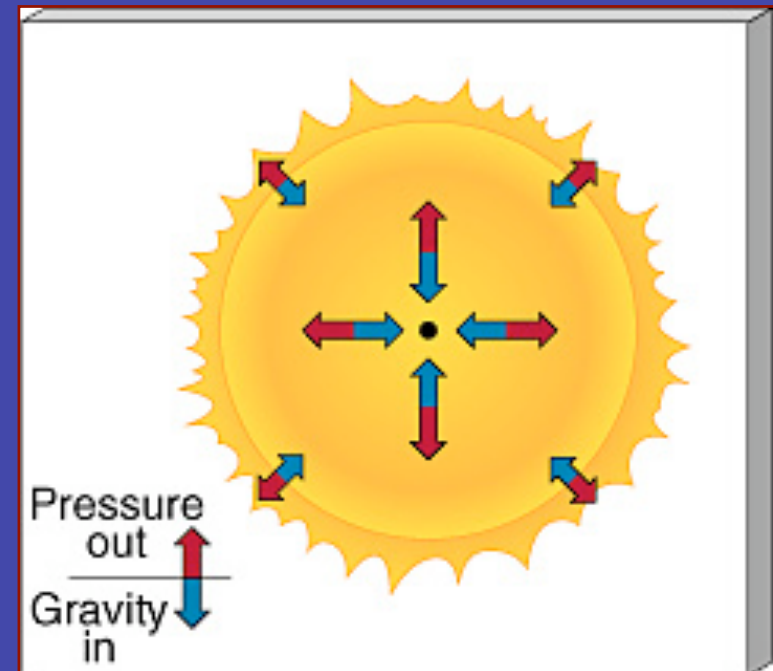
- Sfera di gas autogravitante in simmetria sferica
- Si trascurano effetti centrifughi e magnetici

$$\frac{dP}{dr} = -\frac{GM(r)\rho(r)}{r^2}$$

$$M(r) = 4\pi \int_0^r \rho(r') r'^2 dr'$$

$$L(r) = 4\pi \int_0^r \varepsilon(r') \rho(r') r'^2 dr'$$

$\varepsilon(r)$  = produzione di energia



# *Tempi evolutivi solari*

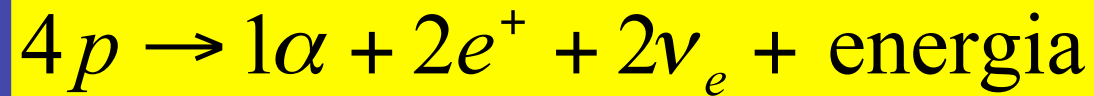
Il Sole deve avere un'età almeno pari a quella della Terra ( $4,5 \cdot 10^9$  anni) e non deve aver avuto variazioni troppo grandi di luminosità. Ciò vuol dire che, nel complesso, deve aver prodotto l'energia.

$$E = L\tau = 4 \cdot 10^{26} \cdot 4.5 \cdot 10^9 \cdot 3.1 \cdot 10^7 \approx 6 \cdot 10^{43} \text{ J}$$

corrispondente a  $\varepsilon \sim 3 \cdot 10^{13} \text{ J/kg}$ . L'ossidazione del carbonio fornisce solo  $\varepsilon \sim 9 \cdot 10^6 \text{ J/kg}$ , mentre la contrazione gravitazionale può aver prodotto, in tutto l'energia:

Le reazioni di fusione di H in He sono invece in grado di produrre  $\varepsilon \sim 6 \cdot 10^{14} \text{ J/kg}$  e di garantire l'esistenza del Sole per oltre  $10^{10}$  anni

$$\begin{aligned} E_P &= - \int_0^R \left( \frac{4}{3} \pi r^3 \rho \right) (4\pi r^2 \rho dr) \frac{G}{r} = \\ &= - \frac{1}{3} (4\pi \rho)^2 G \int_0^R r^4 dr = - \frac{3}{5} \frac{GM^2}{R} = 2 \cdot 10^{41} \text{ J} \end{aligned}$$



## *Quanta energia viene liberata?*

- L'energia liberata è  $\sim 26$  MeV
  - $= 4 \times 10^{-12}$  Joule
  - $= 1 \times 10^{-15}$  Calorie
- Il Sole libera questa energia  $10^{38}$  volte al secondo
- ma ha  $10^{56}$  atomi di H da bruciare

L'energia prodotta nelle parti interne del Sole è:

$$\frac{L}{M_c} \approx \frac{4 \cdot 10^{26}}{4 \cdot 10^{29}} = 10^{-3} \text{ W/kg} \approx 100 \text{ W/m}^3$$

Il processo di fusione dell'idrogeno nelle stelle avviene con emissione di  $\gamma$  e  $\nu_e$ . Per definizione il loro libero cammino medio è:

$$\chi_f \leq \frac{1}{N_e \sigma_T} \approx 10^{-3} m \text{ per fotoni}, \quad \chi_\nu = \frac{1}{n \sigma} \approx 10^{18} m \text{ per neutrini}$$

quindi, mentre i fotoni diffondono lentamente verso la superficie del Sole, da cui vengono emessi dopo un tempo di oltre  $10^{12}$  s ( $10^5$  anni), i neutrini sfuggono immediatamente e sono rivelabili a Terra in esperimenti sotterranei.

Il flusso totale  
di  $\nu_e$  a terra è:

$$\Phi_T(\nu_e) = \frac{2 \cdot 10^{38}}{4\pi d^2} \approx 10^{15} \nu_e \text{ m}^{-2}\text{s}^{-1}$$

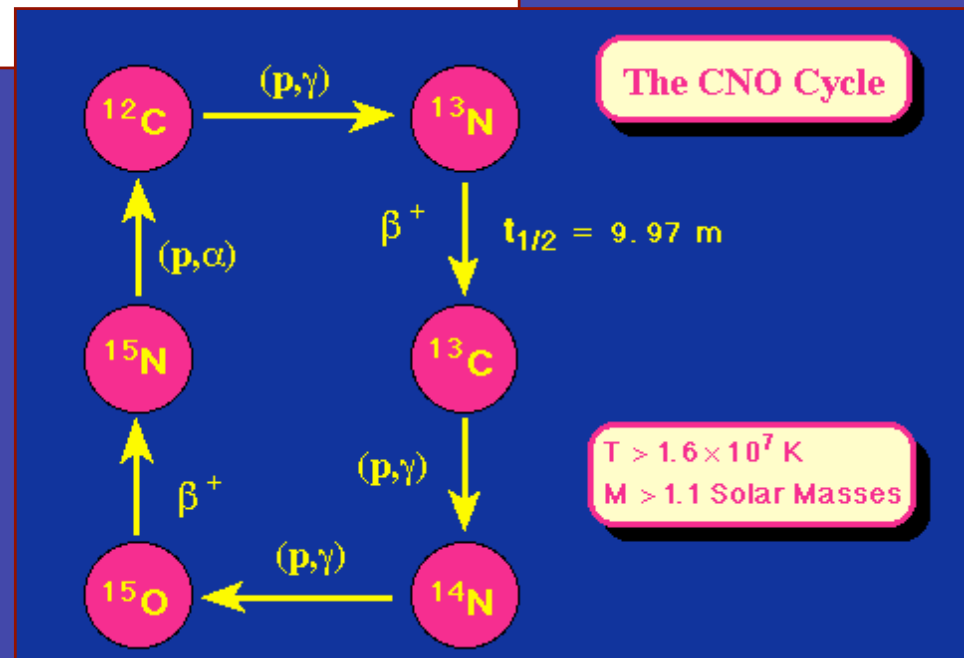
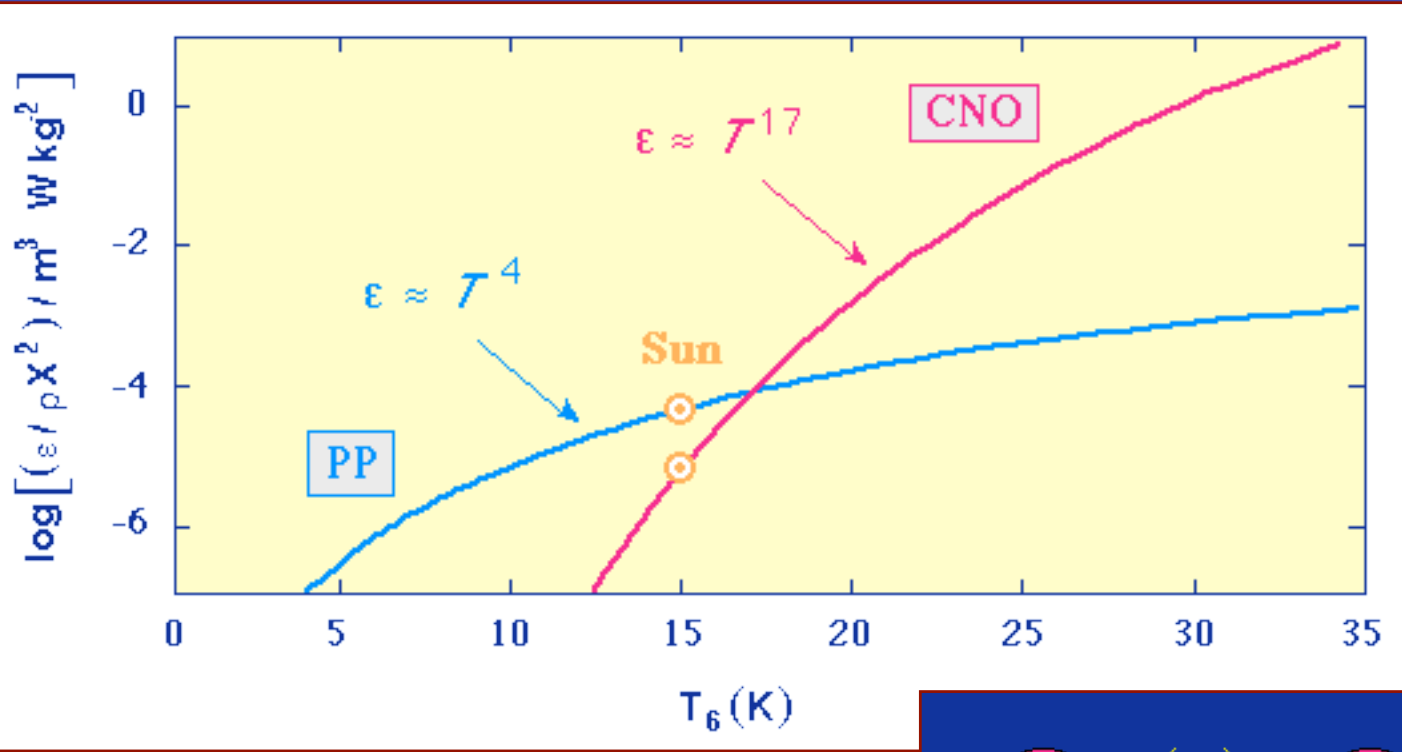
Il rate di eventi attesi  
per nucleo bersaglio si  
calcola con la relazione:

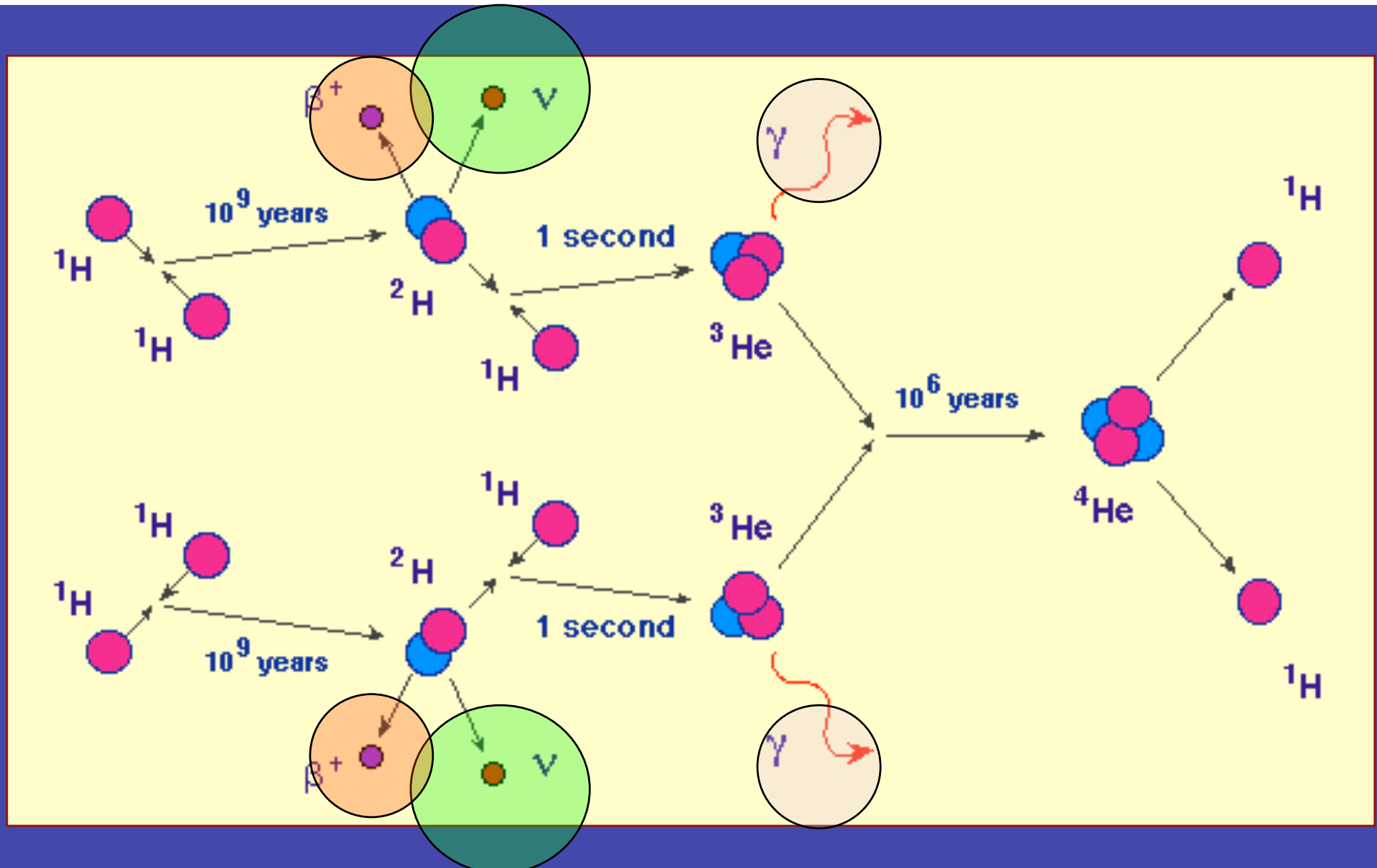
$$R = \sum_i \int_{E_{th}}^{E_{Max}} \Phi_i(E) \sigma(E) dE$$

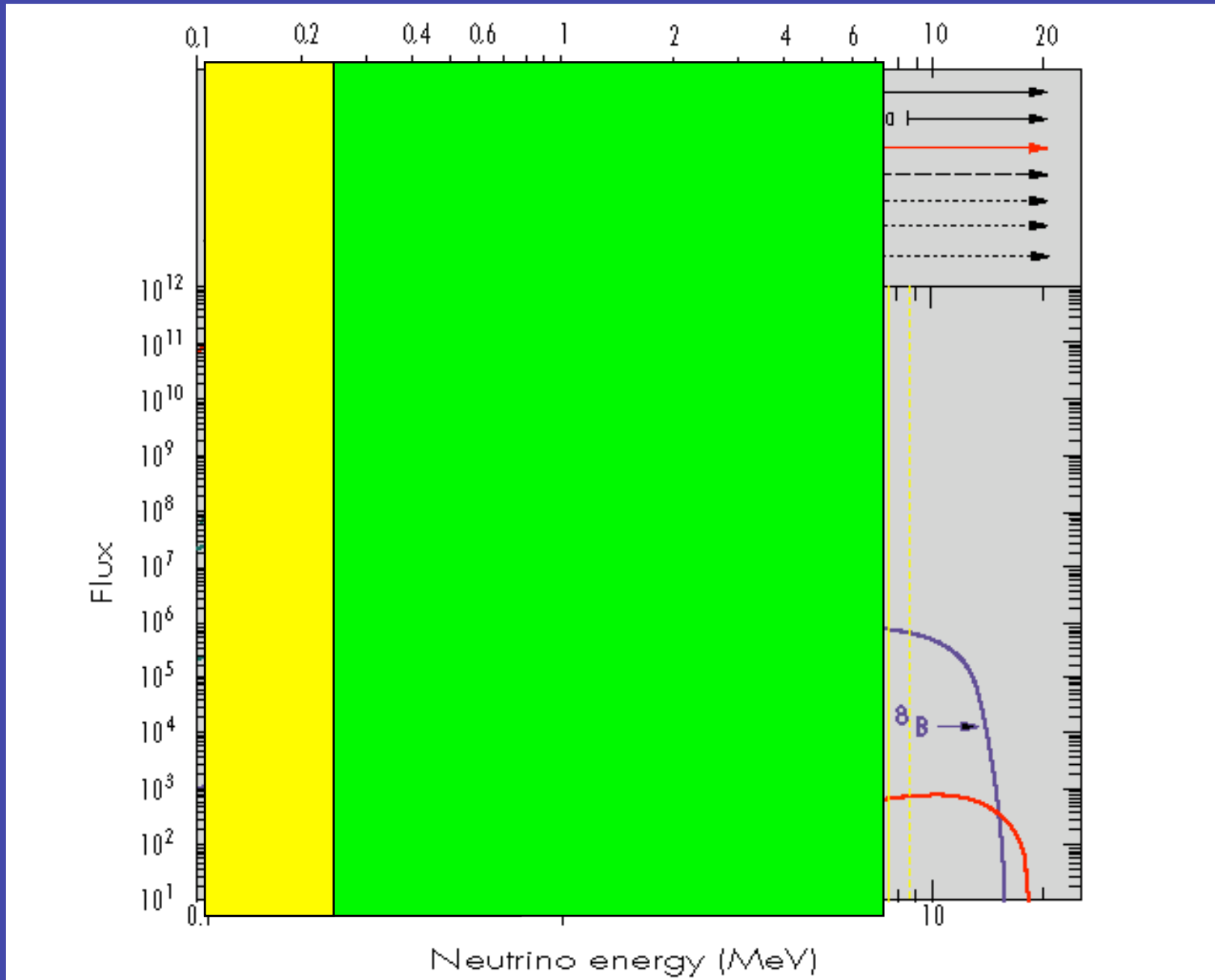
Per la rivelazione dei neutrini solari si usano  
nuclei in cui avvengono i processi di cattura:



ossia, a livello elementare,  $\nu_e + n \rightarrow p + e^-$ . Il  
primo nucleo utilizzato è stato il  $^{37}\text{Cl}$  che si  
trasforma in  $^{37}\text{A}$ , in seguito è stato utilizzata  
la reazione  $^{71}\text{Ga} \rightarrow ^{71}\text{Ge}$ .

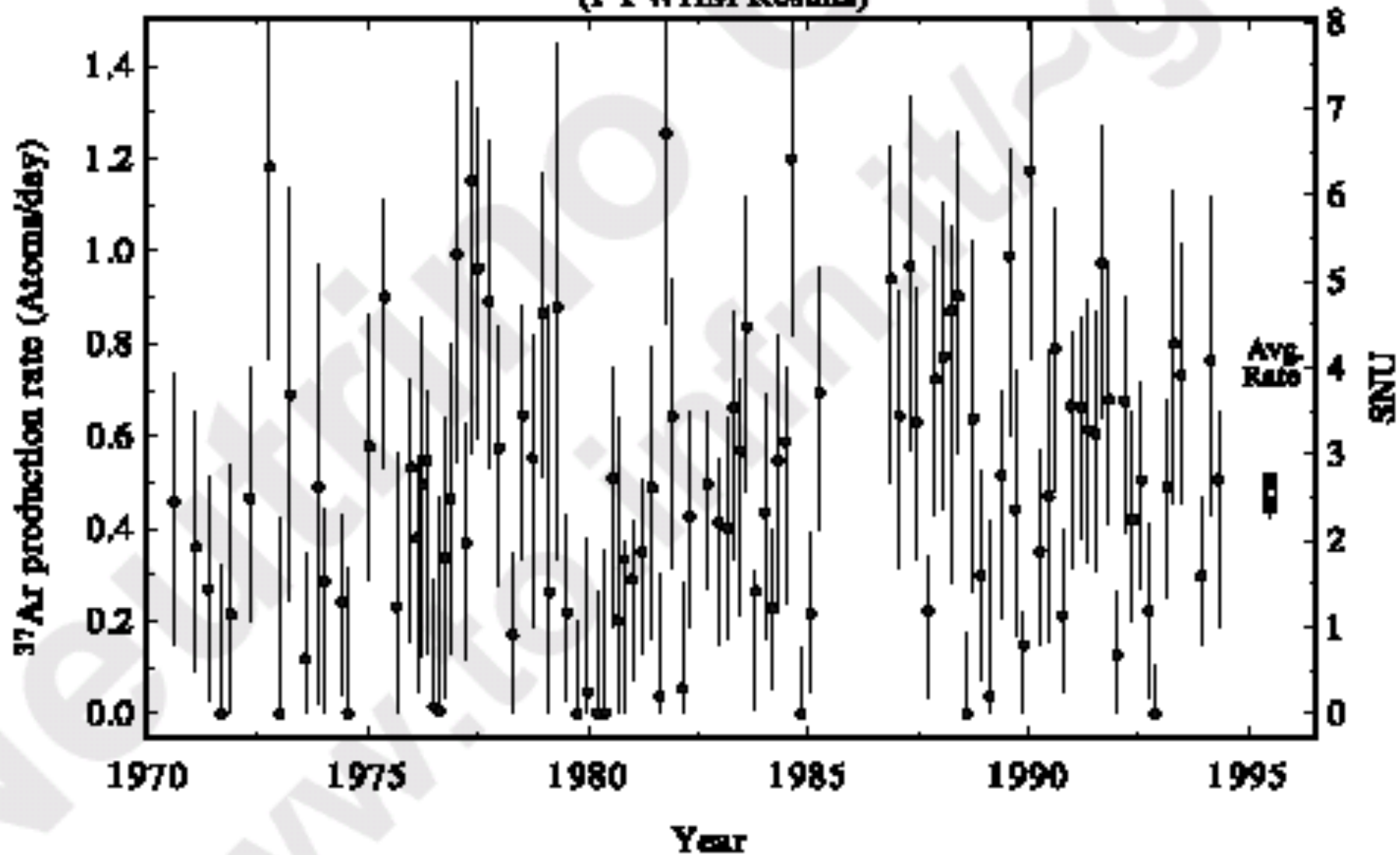






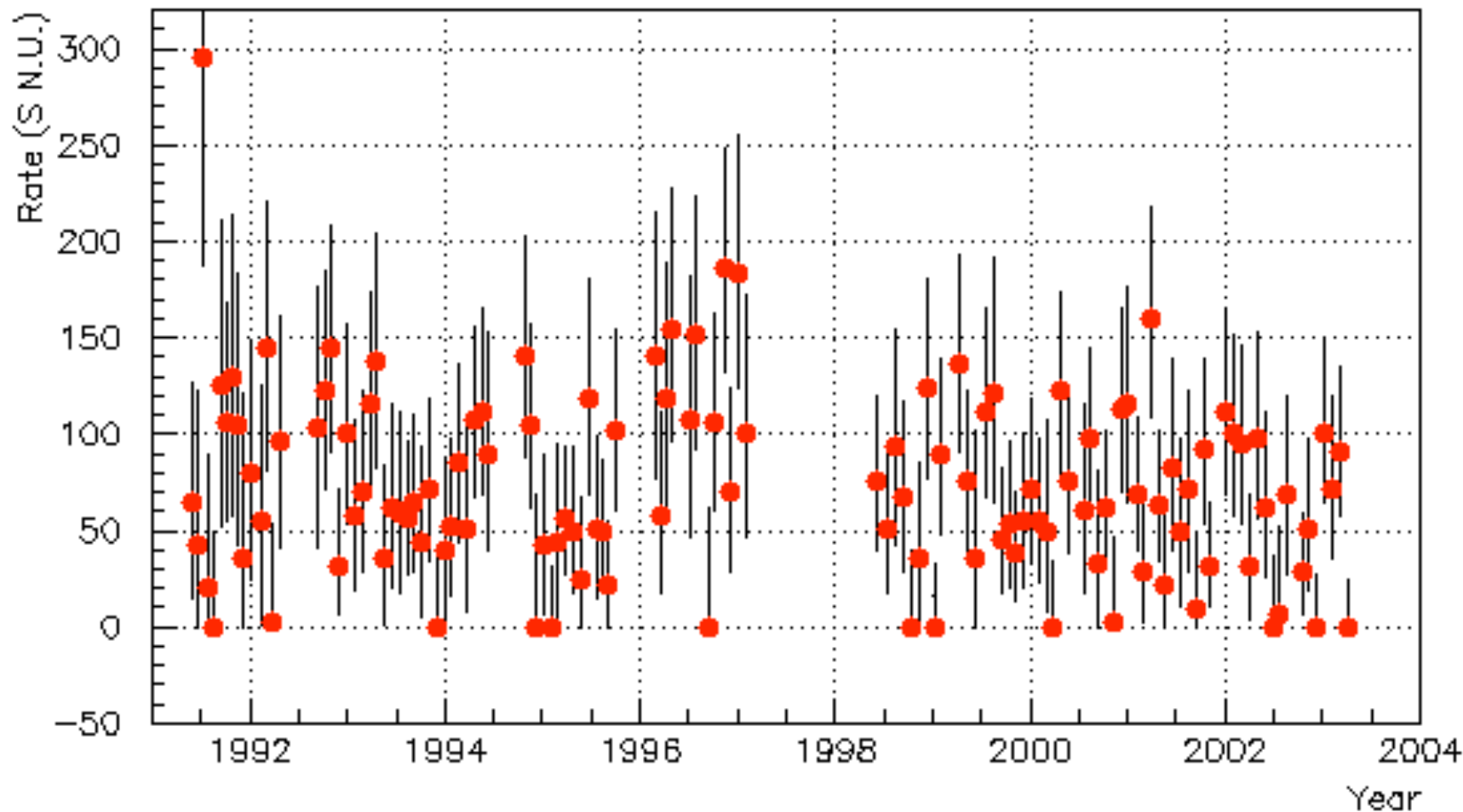


(1 FWHM Results)

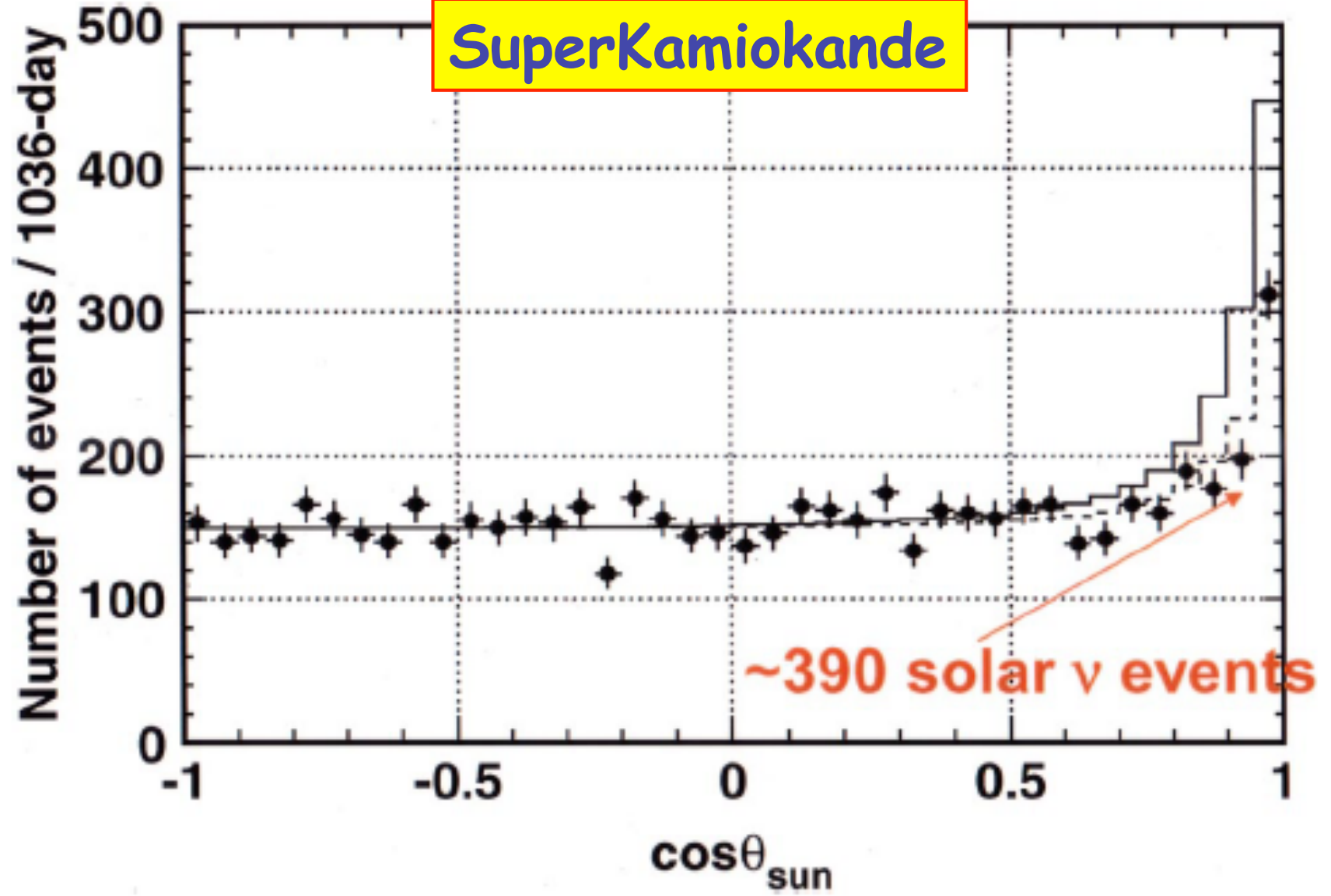


La piccola sezione d'urto, in media  $\sigma \sim 10^{-46} \text{ m}^2$ , richiede l'uso di grandi masse di rivelatore.  
Poichè il  $^{37}\text{Cl}$  è sensibile quasi solo ai neutrini di alta energia prodotti dal decadimento del  $^8\text{B}$ , il cui flusso a Terra è  $\Phi(\nu_e) \sim 6 \cdot 10^{10} \text{ m}^{-2}\text{s}^{-1}$ , il numero di eventi attesi è  $R = \Phi(\nu_e)\sigma \sim 6 \cdot 10^{-36}$  per nucleo bersaglio.

Per avere valori  $R \sim 1$ , e` stata introdotta una unità di misura speciale per calcolare o per misurare il numero di catture di neutrini solari nei diversi rivelatori, lo SNU, dove 1 SNU equivale alla cattura di  $1 \nu_e \text{ s}^{-1}$  in un bersaglio composto di  $10^{36}$  atomi.



REAZIONE	$^{37}\text{Cl}$	catture (SNU)	$^{71}\text{Ga}$	catture (SNU)
pp	0,0	0,0	70,8	71,1
pep	0,23	0,21	3,01	2,99
$^7\text{Be}$	1,12	0,99	34,4	30,9
$^8\text{B}$	6,15	4,06	14,1	10,77
$^{13}\text{N}$	0,10	0,10	3,77	2,36
$^{15}\text{O}$	0,34	0,37	6,03	3,66
$^{17}\text{F}$	0,003		0,06	
totale	7,9	5,8	132	122,5
misurato	$2,6 \pm 0,16 \pm 0,14$ <b>(Homestake)</b>		$70 \pm 8$ (Gallex) $72 \pm 10$ (Sage)	



# $\nu$ Reactions in SNO

cc



- Gives  $\nu_e$  energy spectrum well
- Weak direction sensitivity  $\propto 1 - 1/3\cos(\theta)$
- $\nu_e$  only.

NC



- Measure total  $^8B$   $\nu$  flux from the sun.
- Equal cross section for all  $\nu$  types

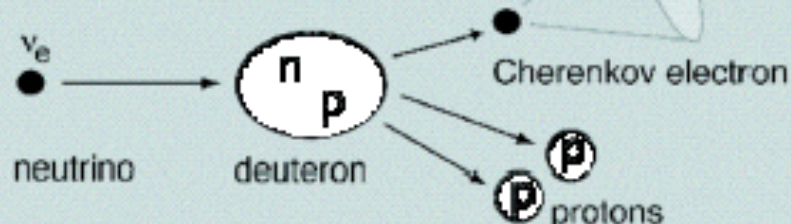
ES



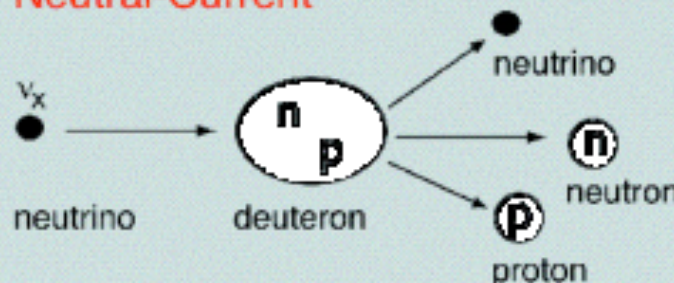
- Low Statistics
- Mainly sensitive to  $\nu_e$ , some sensitivity to  $\nu_\mu$  and  $\nu_\tau$
- Strong direction sensitivity

## Neutrino Reactions on Deuterium

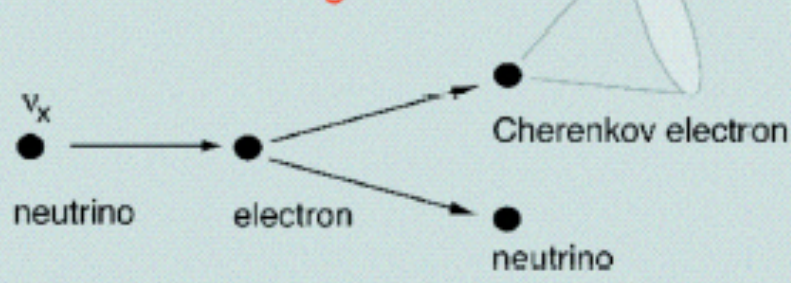
### Charged-Current



### Neutral-Current

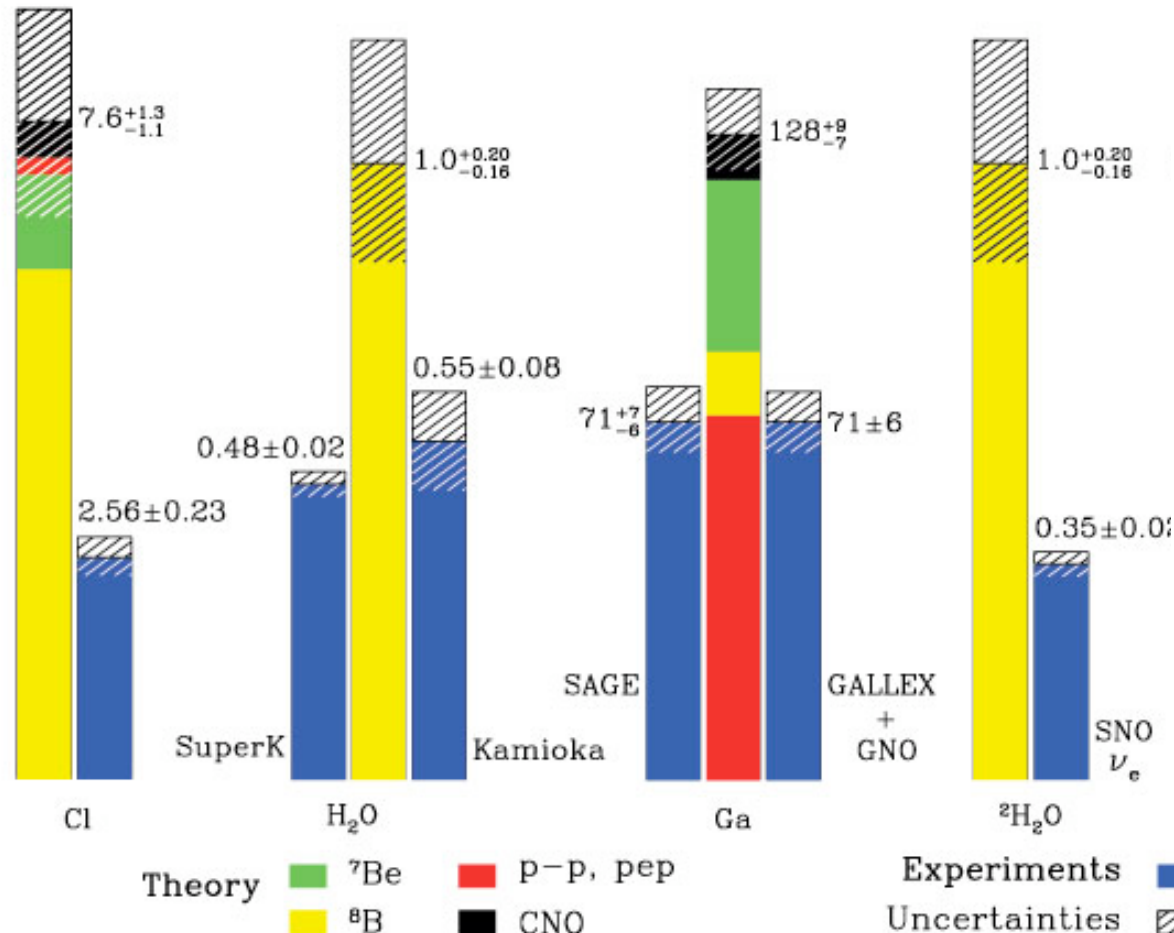


### Elastic Scattering



## Total Rates: Standard Model vs. Experiment

Bahcall–Pinsonneault 2000



# Neutrino Flavor Composition of ${}^8\text{B}$ Flux

## Fluxes

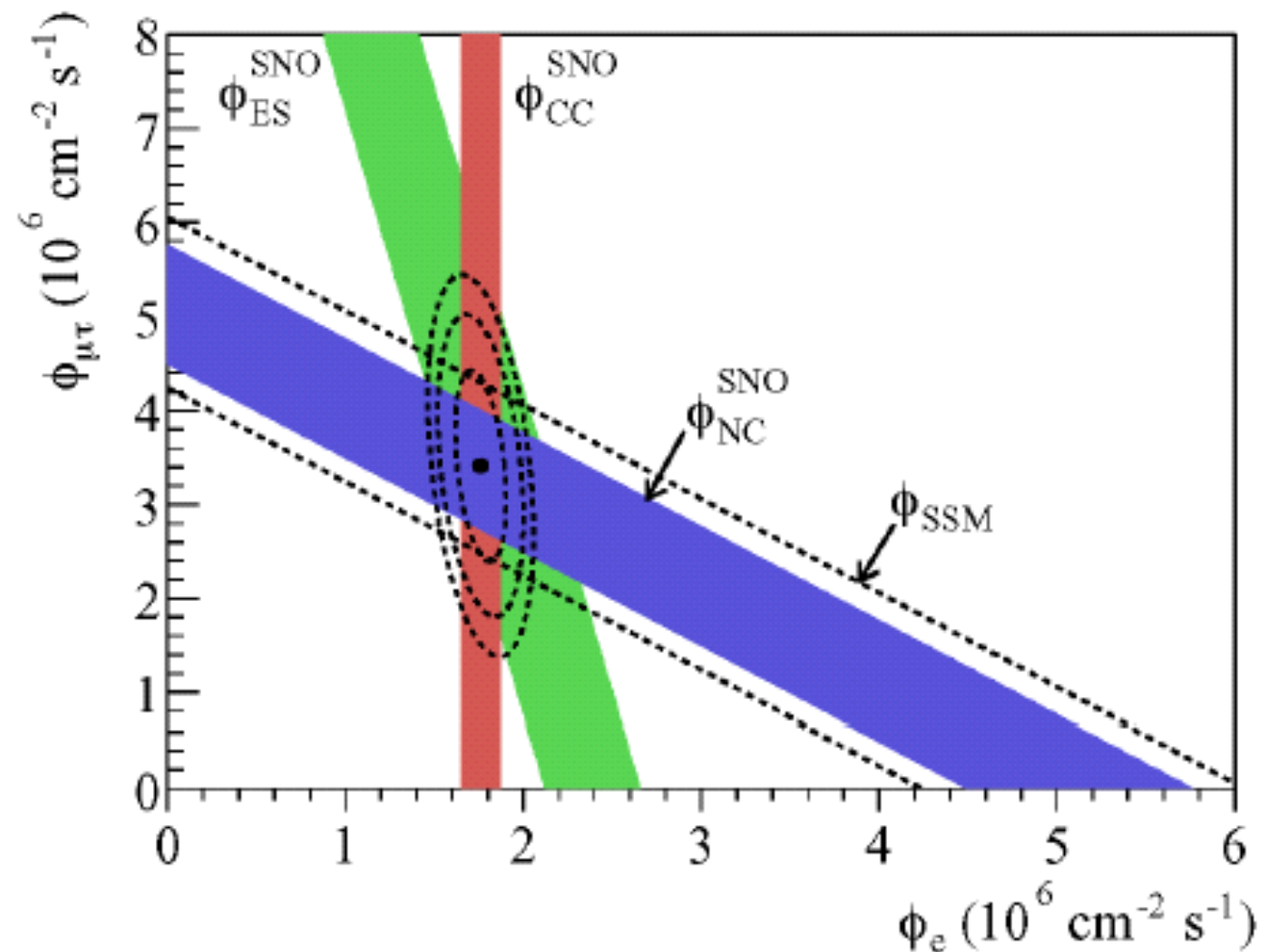
( $10^6 \text{ cm}^{-2} \text{ s}^{-1}$ )

$\nu_e$ : 1.76(11)

$\nu_{\mu\tau}$ : 3.41(66)

$\nu_{\text{total}}$ : 5.09(64)

$\nu_{\text{SSM}}$ : 5.05



# *Risultati di SNO*

$$N_{cn} = 1344.2^{+69.8}_{-69.0}$$

$$\Phi_{cn} = 5.21 \times 10^6 \text{ cm}^{-2}\text{s}^{-1}$$

$$N_{cc} = 1339.6^{+63.8}_{-61.5}$$

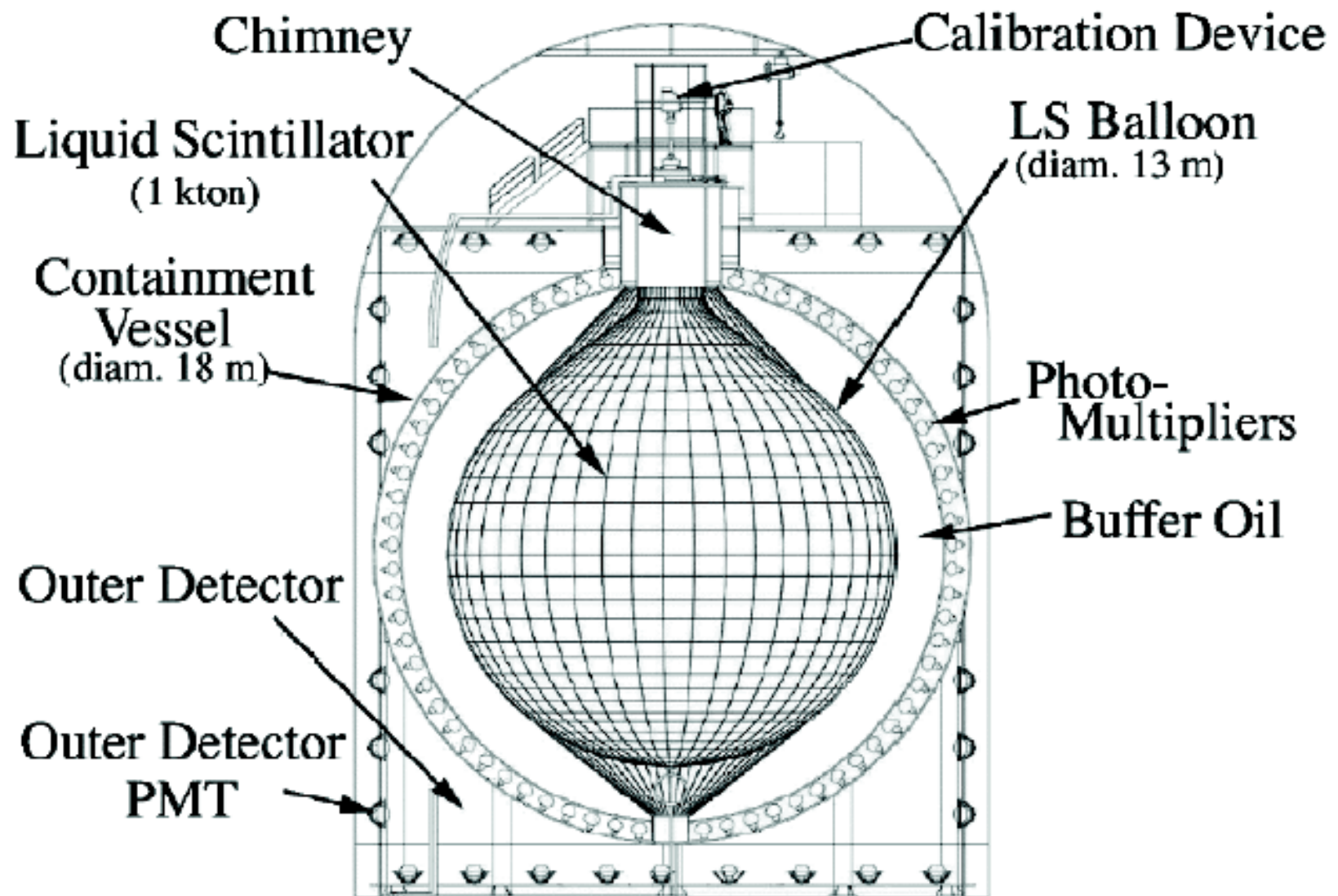
$$\Phi_{cc} = 1.59 \times 10^6 \text{ cm}^{-2}\text{s}^{-1}$$

$$N_{es} = 170.3^{+23.9}_{-20.1}$$

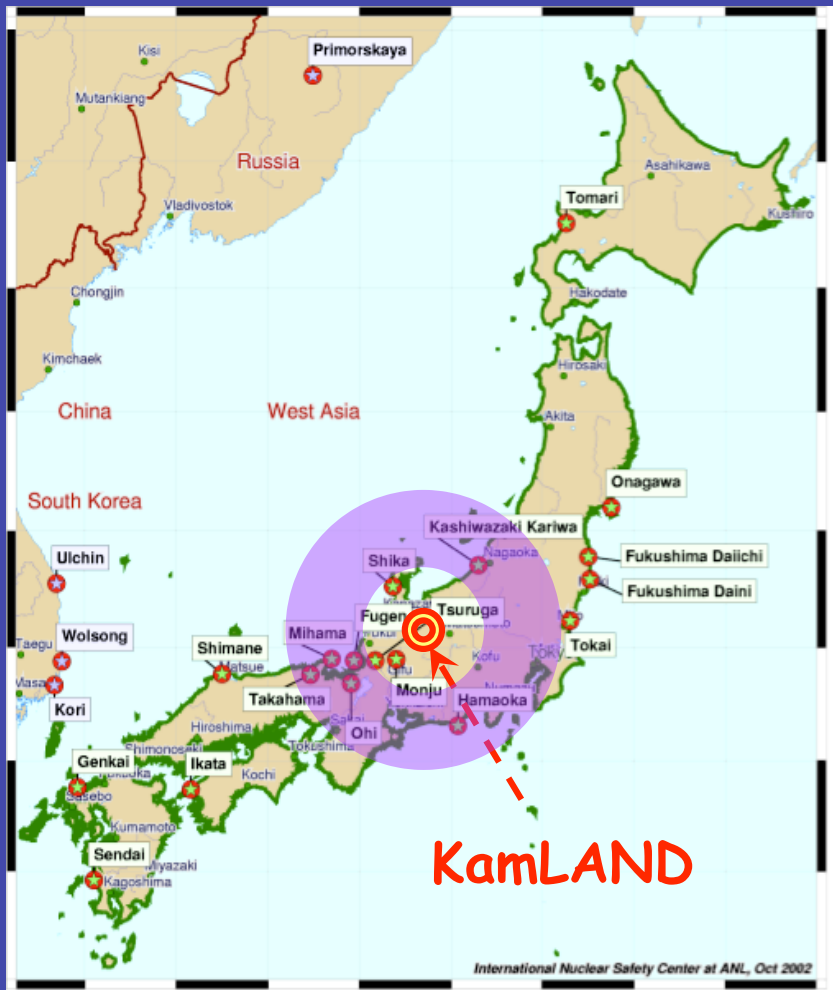
$$\Phi_{es} = 2.21 \times 10^6 \text{ cm}^{-2}\text{s}^{-1}$$

$$\Delta m^2 = 7.1^{+1.0}_{-0.3} \times 10^{-5} \text{ eV}^2, \quad \vartheta = 32.5^0 \begin{array}{l} +1.7 \\ -1.6 \end{array}$$

# KamLAND detector



# Reactor baseline

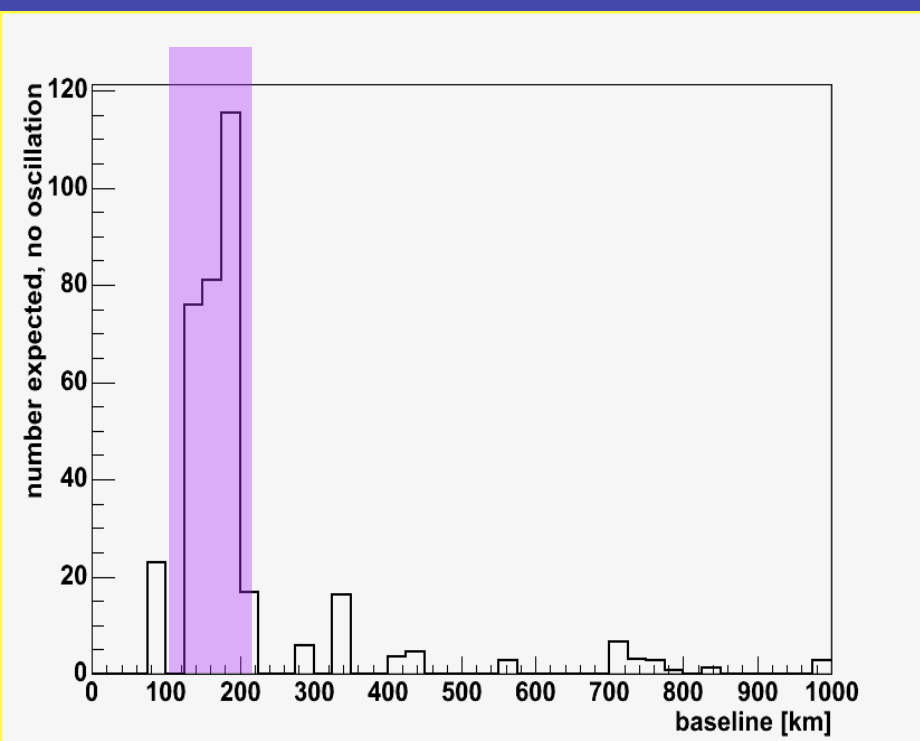


$\sim 5 \times 10^6 \bar{\nu}_e / \text{cm}^2 / \text{sec}$

Few evts/day detected

Piero Galeotti,  
University of Torino

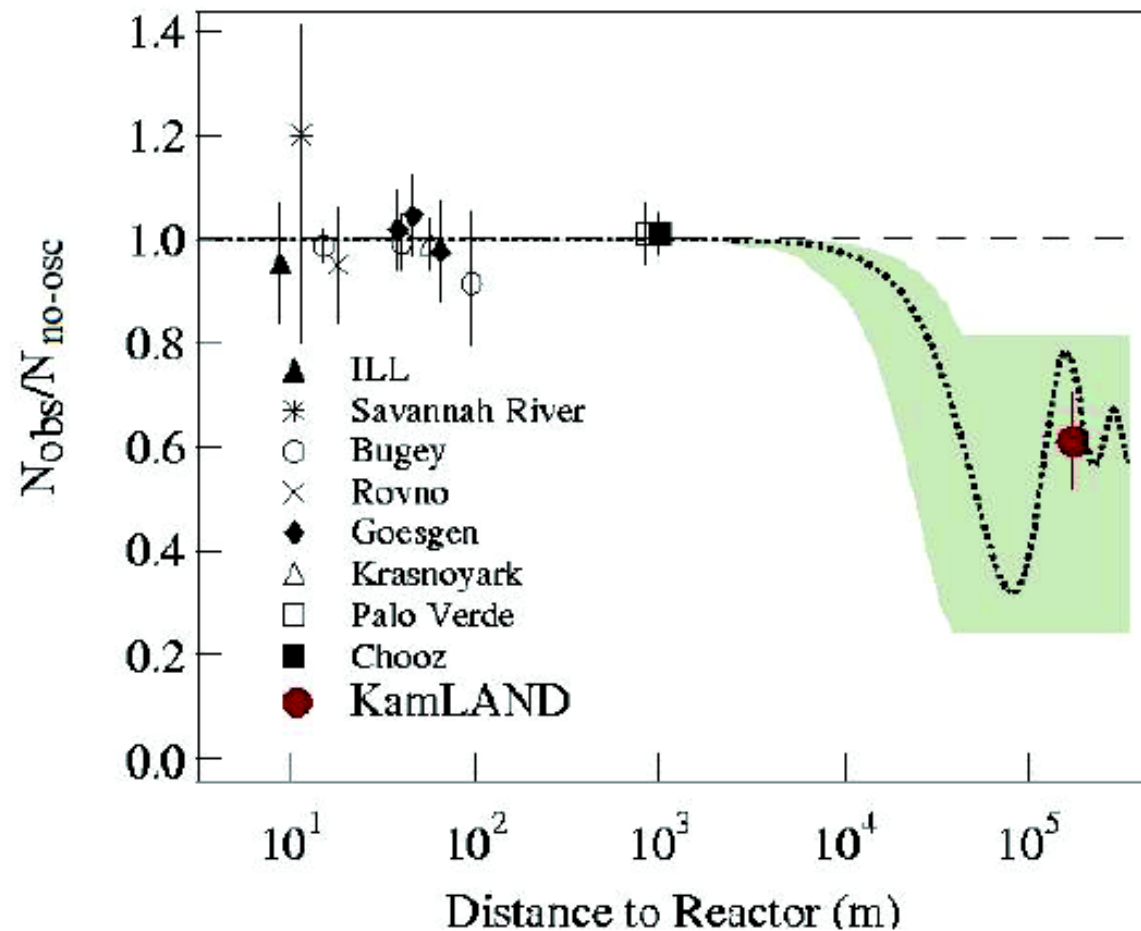
80 % of expected  $\bar{\nu}_e$   
from baselines 140-210 km



Cosmic Ray School, Arequipa,  
Peru, 2008

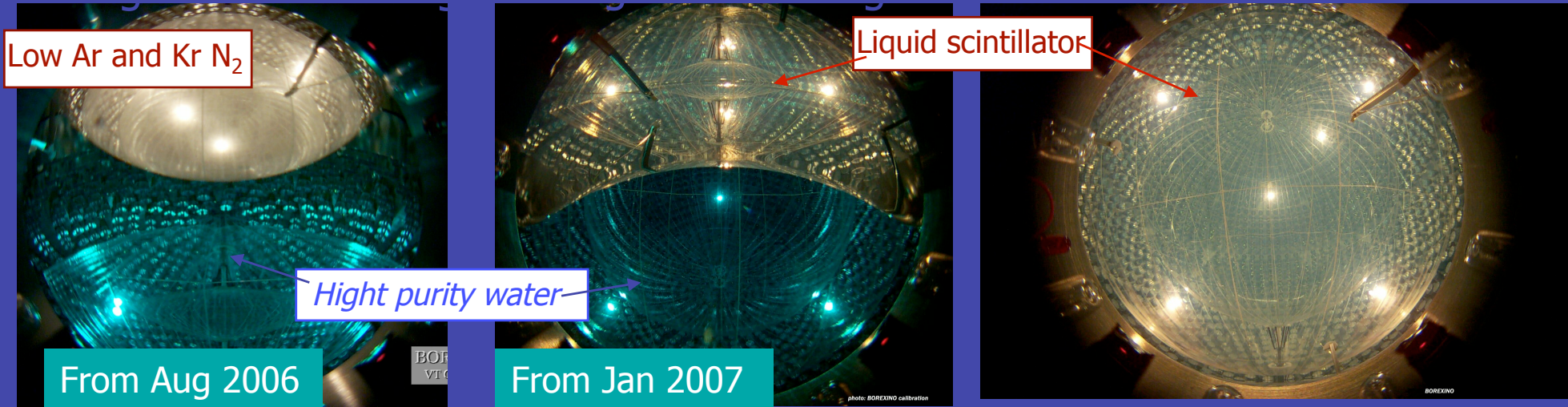
# Rate suppression

$$N_{\text{obs}}/N_{\text{no-osc}} = 0.611 \pm 0.085 \pm 0.041$$



# First result in August 2007

Finally, May 15<sup>th</sup>, 2007



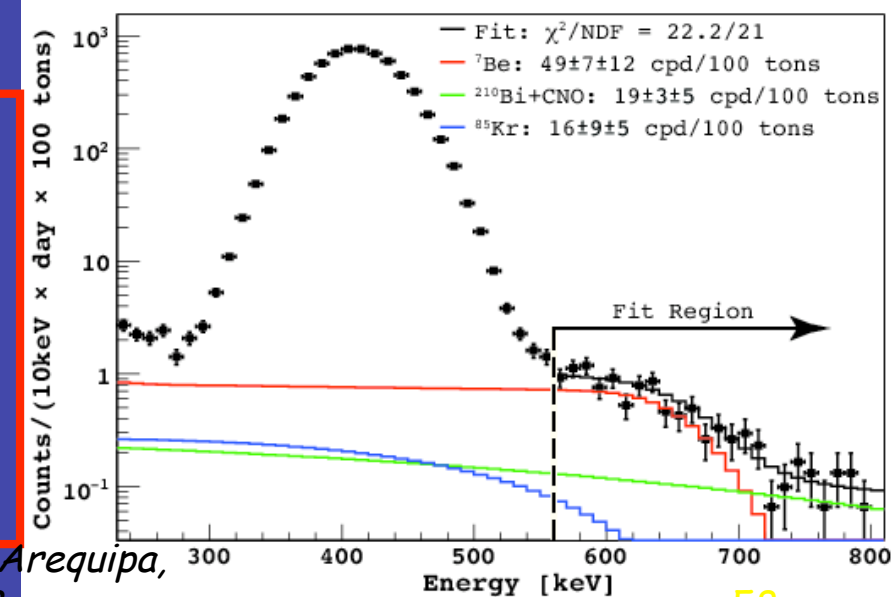
We have measured the scattering rate of  
**<sup>7</sup>Be solar** vs on electrons

**Rate  $47 \pm 7_{\text{STAT}} \pm 12_{\text{SYS}}$  c/d/100 t**

**August 16(2007): PLB 658, 101(2008)**

Piero Galeotti,  
University of Torino

Cosmic Ray School, Arequipa,  
Peru, 2008



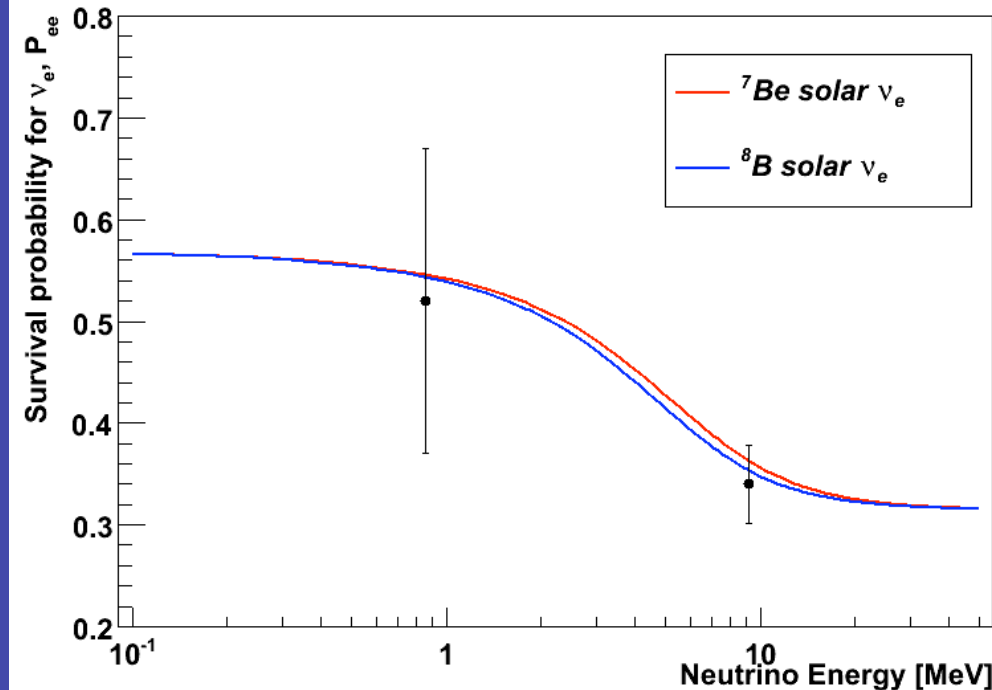
$47 \pm 7_{\text{stat}}$  cpd/100tons for 862 keV  ${}^7\text{Be}$  solar  $\nu$

Using LMA with:

$$\delta m_{12}^2 = 7.92 \cdot 10^{-5} \text{ eV}^2$$

$$\sin^2 \theta_{12} = 0.314$$

and BPS07(GS98)



	Expected rate (cpd/100 t)
No oscillation	$75 \pm 4$
BPS07(GS98) HighZ	$49 \pm 4$
BPS07(AGS05) LowZ	$44 \pm 4$

Cosmic Ray School, Arequipa,  
Peru, 2008

#### BPS07 : High Z vs Low Z

	GS98	AGS05	$\delta_{\text{TH}} \%$ ( $\delta_Z$ )	EXP
pp	5.97	6.04	0.8 (0.3)	
pep	1.41	1.46	1.3 (0.6)	*
hep	7.90	8.22	15.4 (0.9)	
Be	5.08	4.55	5.0 (2.4)	***
B	5.94	4.72	10.1 (5.3)	4.94 (0.43)
N	2.93	1.93	+20-15 (11)	*
O	2.20	1.37	+23-16 (11)	*
F	5.82	3.24	25 (15)	

Neutrino fluxes can point out high/low Z model

**Sanduleak -69 202**

**Supernova 1987A**

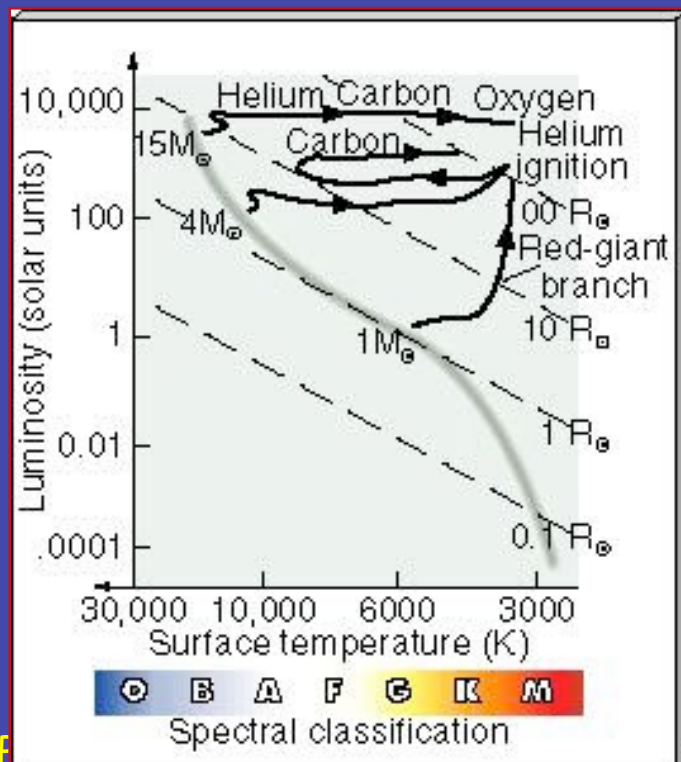
**23 February 1987**

**Type II Supernovae**



# Evoluzione di stelle di grande massa

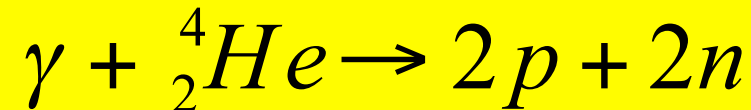
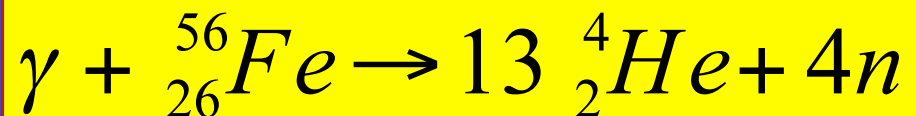
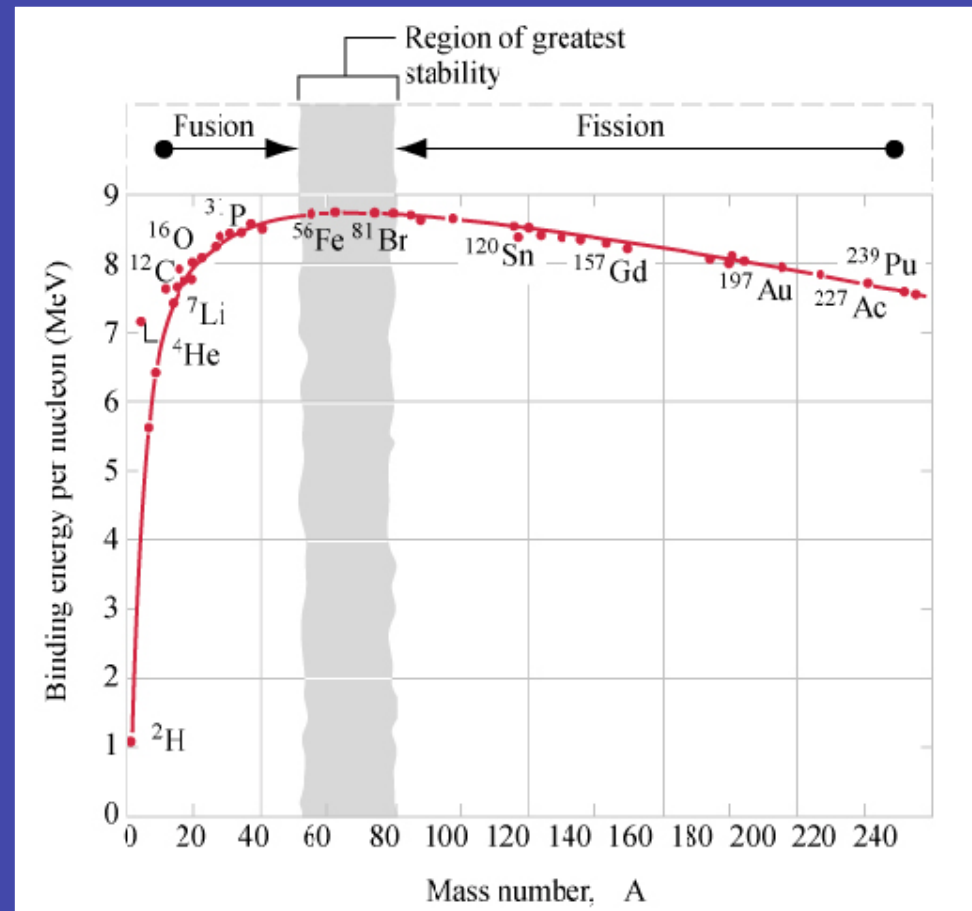
- Evolvono più rapidamente ( $t \sim M^{-2.5}$ )
- La pressione di radiazione è dominante
- Il nucleo non diventa mai degenero e l'elio si accende in modo non esplosivo
- Formazione di una struttura a shell con sequenza di bruciamenti termonucleari



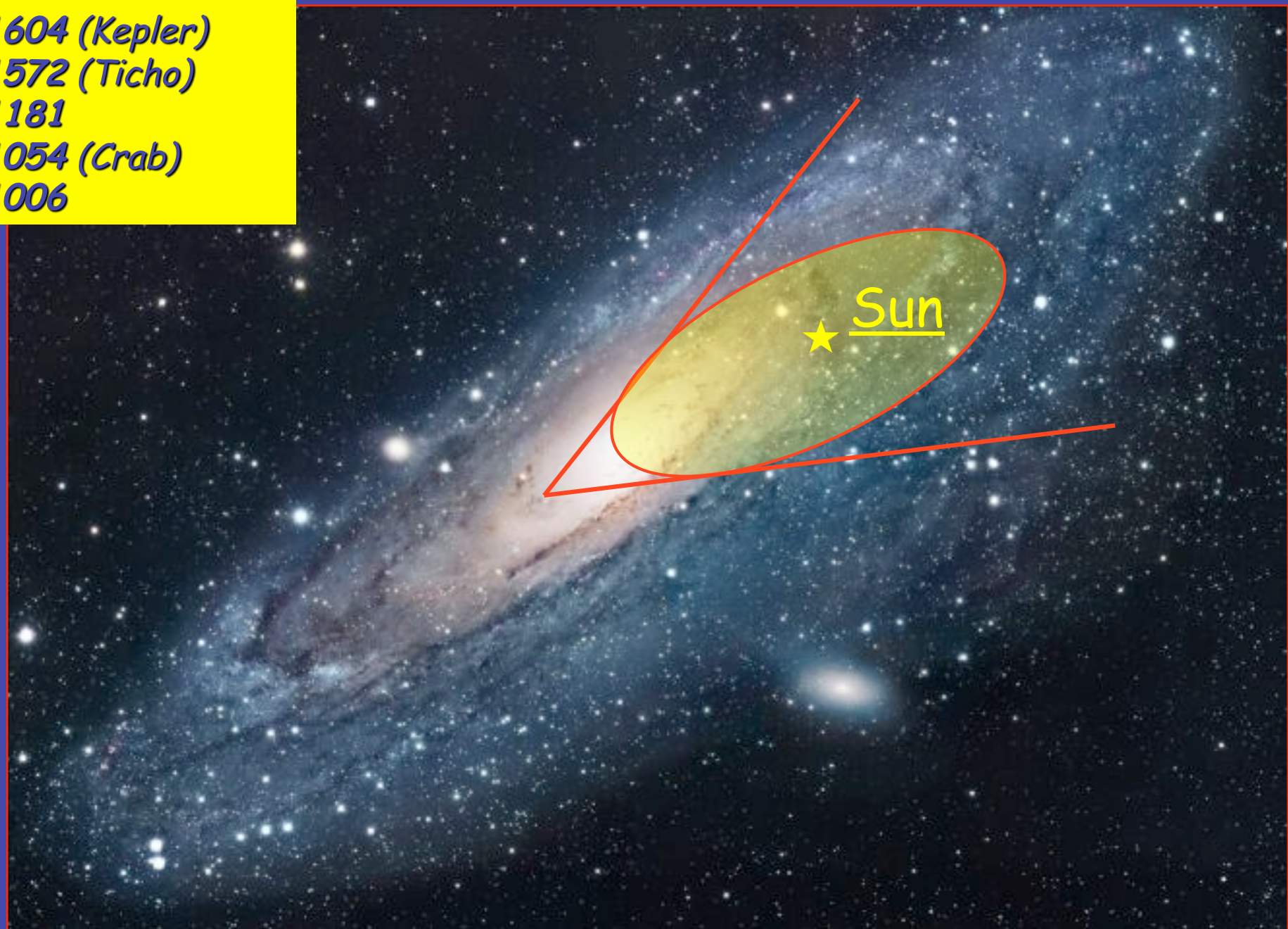
High Energy  
Astrophysics  
School, Arequipa,  
Peru, 2008

# Il nucleo raggiunge la composizione di ferro e nichel

- temperatura di  $10^{10}$  gradi, fotoni di alta energia
- Curva dell'energia di legame dei nucleoni nei nuclei
- Non possono aver luogo ulteriori trasformazioni nucleari esotermiche
- Fotodisintegrazione endotermica del Fe

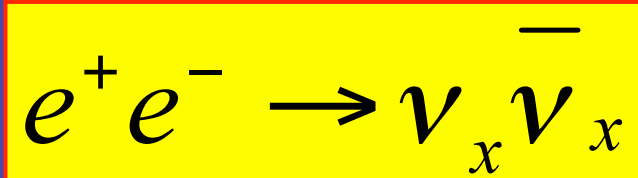
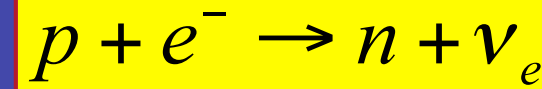


**1604 (Kepler)  
1572 (Ticho)  
1181  
1054 (Crab)  
1006**



# Supernove di tipo II

- Condizioni fisiche della presupernova  $T_c \approx 8 \times 10^9 \text{ K}$   $\rho_c \approx 10^{10} \text{ g cm}^{-3}$
- Collasso gravitazionale del core di stelle massive ( $1.3 M_\odot \approx 2.5 M_\odot$ ) in seguito alla fotodissociazione dei nuclei di Ferro
- Neutronizzazione e emissione di neutrini, intrappolati nell'inviluppo
- Energia liberata:  
 $\approx 10^{53} \text{ erg}$

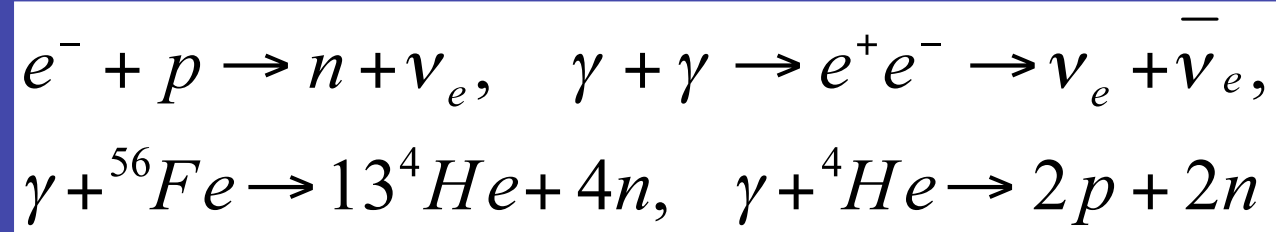


# Collasso stellare

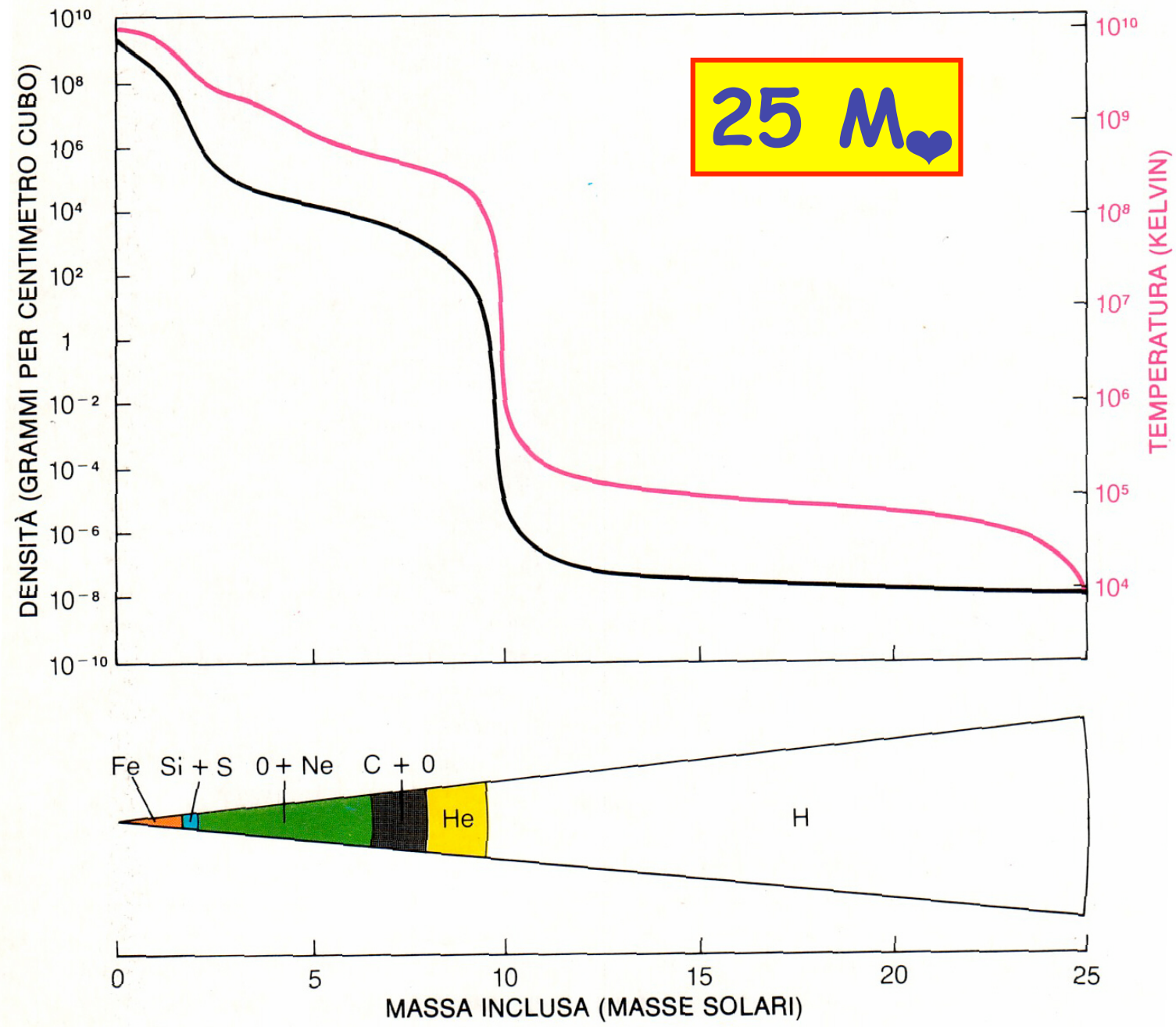
Il collasso stellare è inevitabile quando la massa del core  $M_C$  supera la massa di Chandrasekhar

$$M_{Ch} = 5.8 \cdot Y_e^2 M_O \approx 1.44 M_O$$

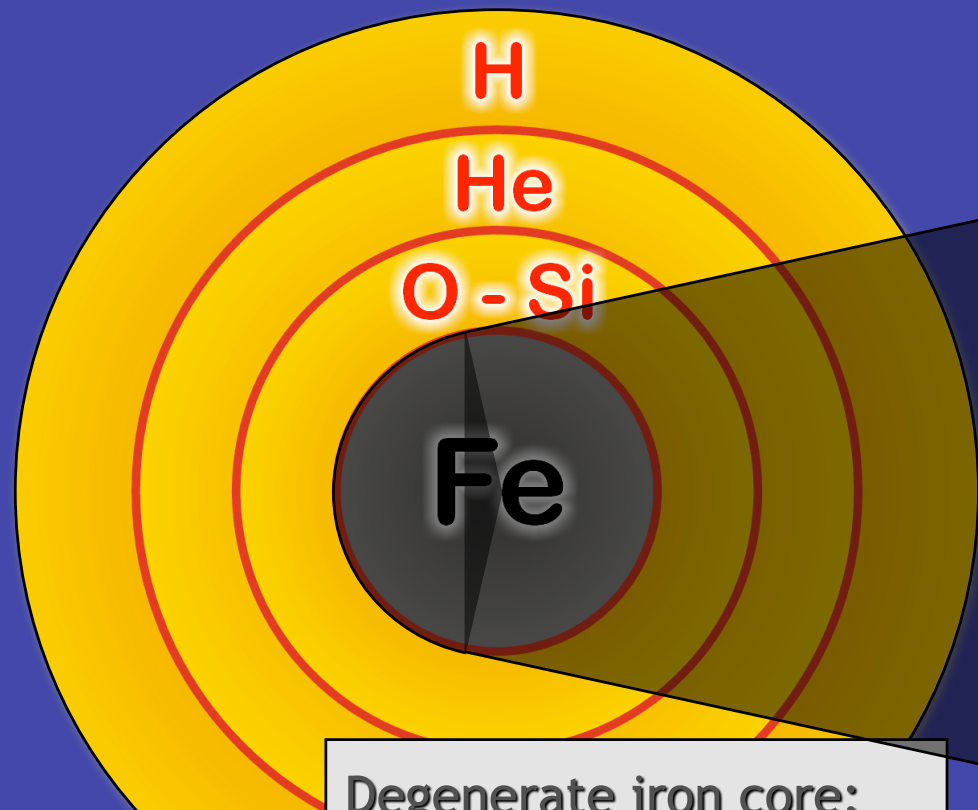
$M_C$  aumenta per il bruciamento dei gusci intorno al core,  $M_{Ch}$  diminuisce perchè diminuisce  $Y_e$  in seguito a processi di neutronizzazione, creazione e annichilazione di coppie e fotodissociazione:



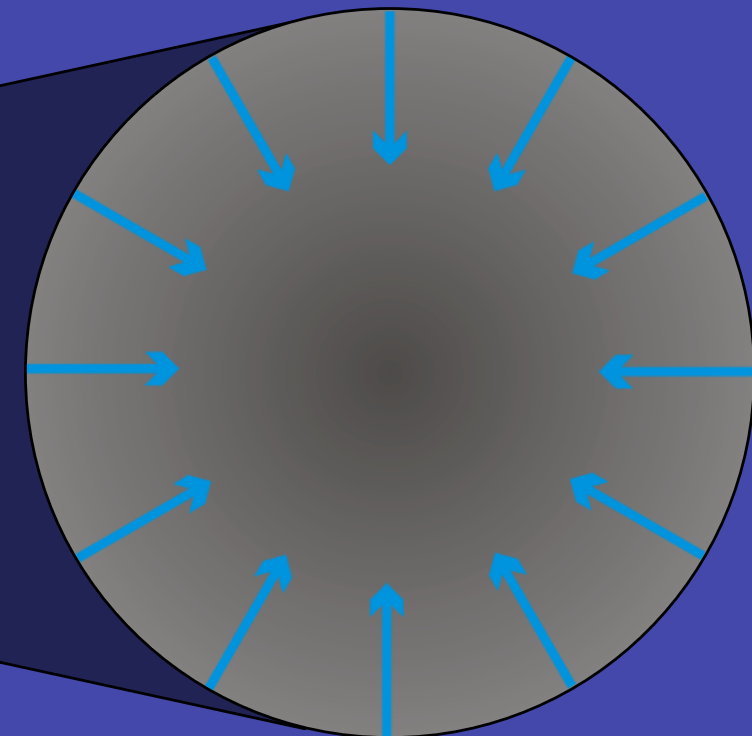
Ian Worpole



## Onion structure



## Collapse (implosion)



Degenerate iron core:

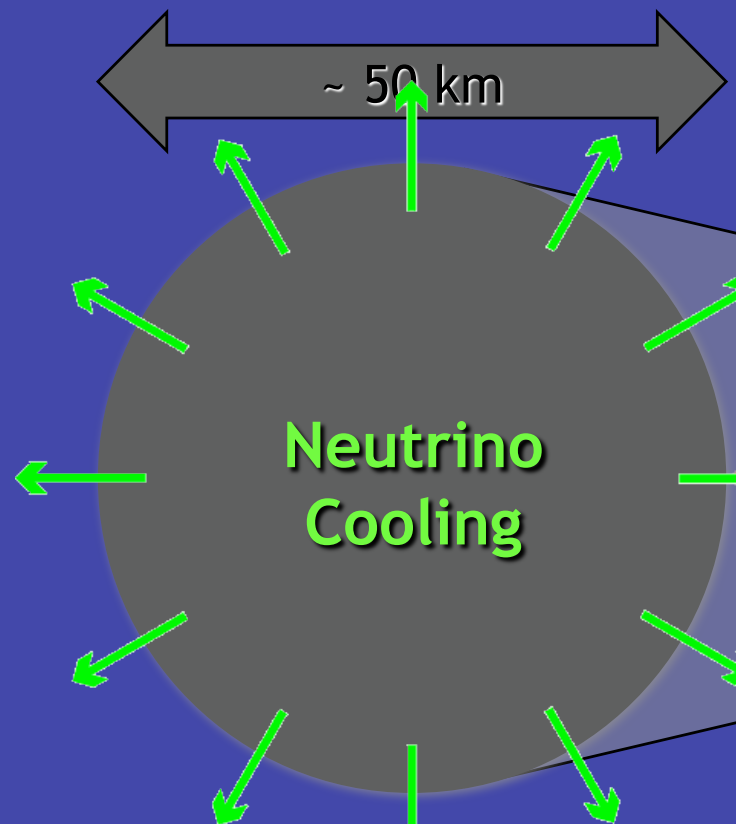
$$\rho \approx 10^9 \text{ g cm}^{-3}$$

$$T \approx 10^{10} \text{ K}$$

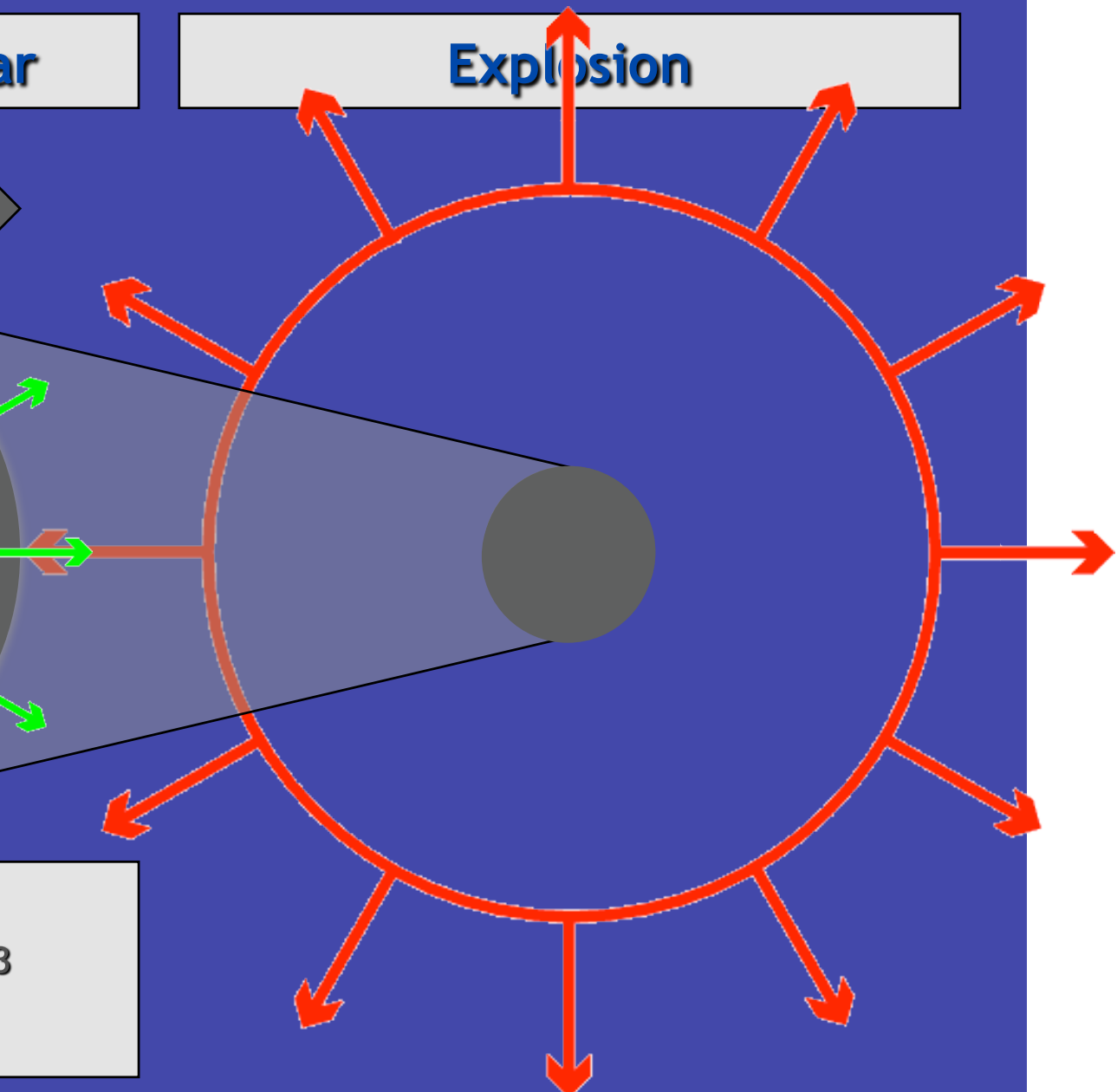
$$M_{\text{Fe}} \approx 1.5 M_{\text{sun}}$$

$$R_{\text{Fe}} \approx 8000 \text{ km}$$

## Newborn Neutron Star



## Explosion

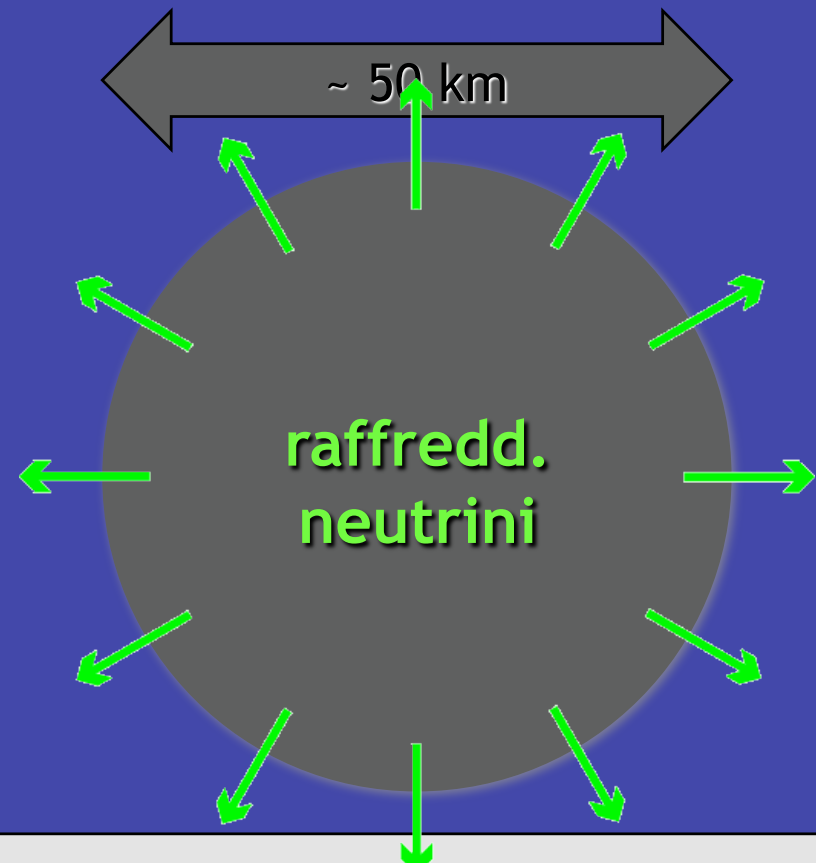


Proto-Neutron Star

$$\rho \approx \rho_{\text{nuc}} = 3 \times 10^{14} \text{ g cm}^{-3}$$

$$T \approx 30 \text{ MeV}$$

## Stella di neutroni neonata



$$\rho \approx \rho_{\text{nuc}} = 3 \times 10^{14} \text{ g cm}^{-3}$$
$$T \approx 30 \text{ MeV}$$

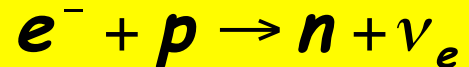
Gravitational binding energy  
 $E_b \approx 3 \times 10^{53} \text{ erg} \approx 17\% M_{\text{SUN}} c^2$

emissione  
99% Neutrini  
1% Energy dell'esplosione  
(di cui 1% in raggi cosmici)  
0.01% luce, più della Galassia stessa

Luminosità in neutrini  
 $L_\nu \approx 3 \times 10^{53} \text{ erg / 3 sec}$   
 $\approx 3 \times 10^{19} L_{\text{SUN}}$   
durante l'esplosione, la luminosità è superiore a quella dell'intero universo

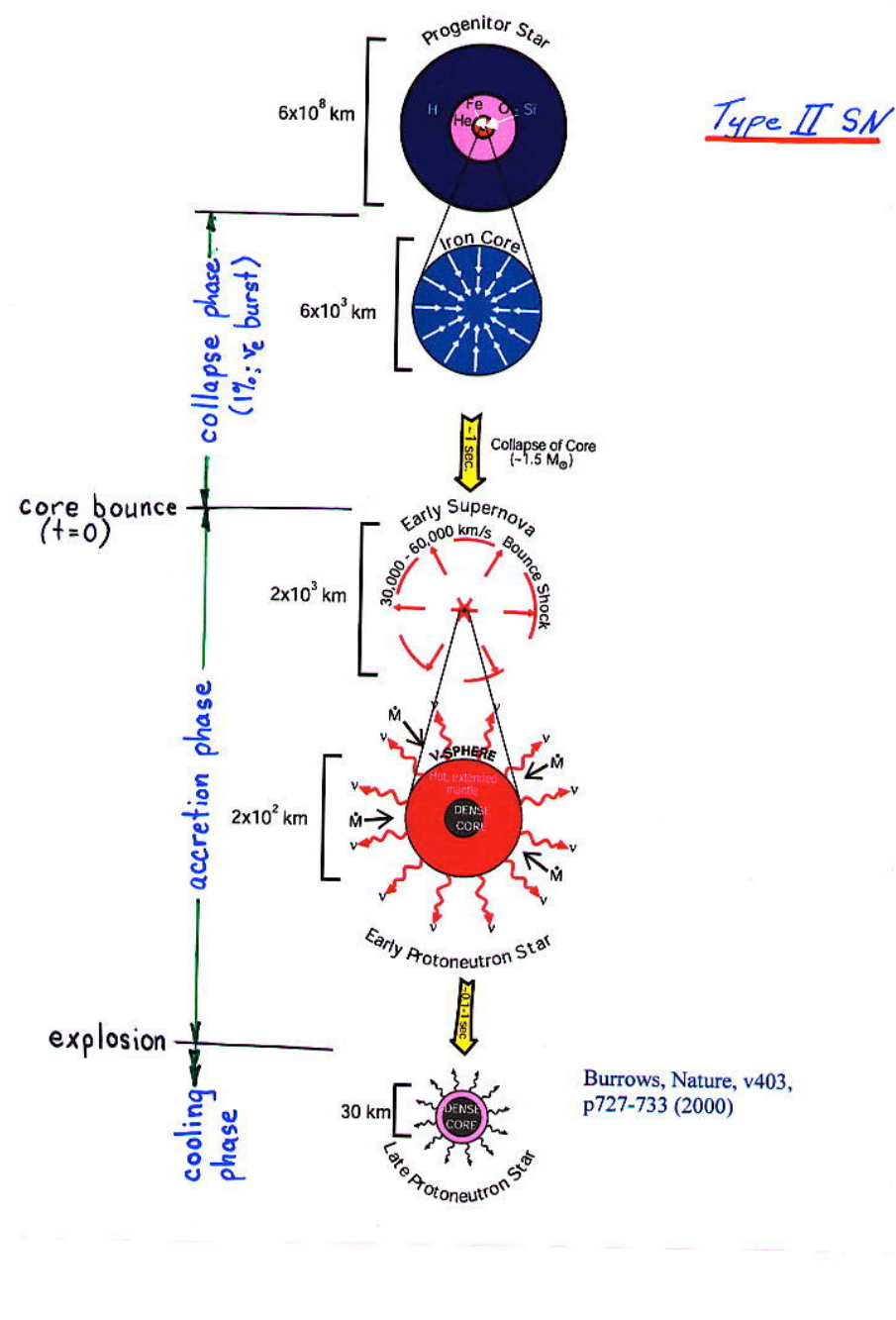
*Binding energy emitted as  
99% Neutrinos  
of all flavors  
1% Kinetic energy  
0.01% Optical luminosity*

$$M_c \geq M_{Ch} = 5.76 Y_e^2 M_0$$



$$\lambda_\nu = \frac{1}{n\sigma}$$

$$\Delta E_B = \frac{GM^2}{R_{ns}} - \frac{GM^2}{R_c}$$



# Neutrini da collassi stellari

In un core stellare con  $M_C \sim M_{Ch}$  ci sono  $\sim 10^{57}$  elettroni; quindi il numero massimo di neutrini da neutronizzazione emessi è  $10^{57}$ . Poichè la loro energia media è  $\sim 10 \text{ MeV} = 10^{-12} \text{ J}$ , in totale l'energia emessa in questa fase è circa  $10^{45} \text{ J}$ , ossia  $\sim 10^{-2} M_C \cdot c^2$ .

L'energia emessa in neutrini durante i processi di annichilazione  $e^+e^-$  è  $\sim 20\text{-}30$  volte maggiore, ossia  $\sim 3 \cdot 10^{46} \text{ J}$ . Per un collasso al centro della Galassia ( $d \sim 8.5 \text{ kpc}$ ) il flusso di  $\nu_e$  e  $\bar{\nu}_e$  a Terra è:

$$\Phi(\nu_e, \bar{\nu}_e) = \frac{\Phi_0(\nu_e, \bar{\nu}_e)}{6 \cdot 4\pi d^2} \approx 10^{16} (\nu_e, \bar{\nu}_e) \text{ m}^{-2}$$

Peru, 2008

# Spettro di Fermi-Dirac

$$\frac{dN}{dE_\nu} = \frac{E_\nu^2}{(1 + e^{E_\nu/kT})} e^{-\alpha(E_\nu/kT)^2}$$

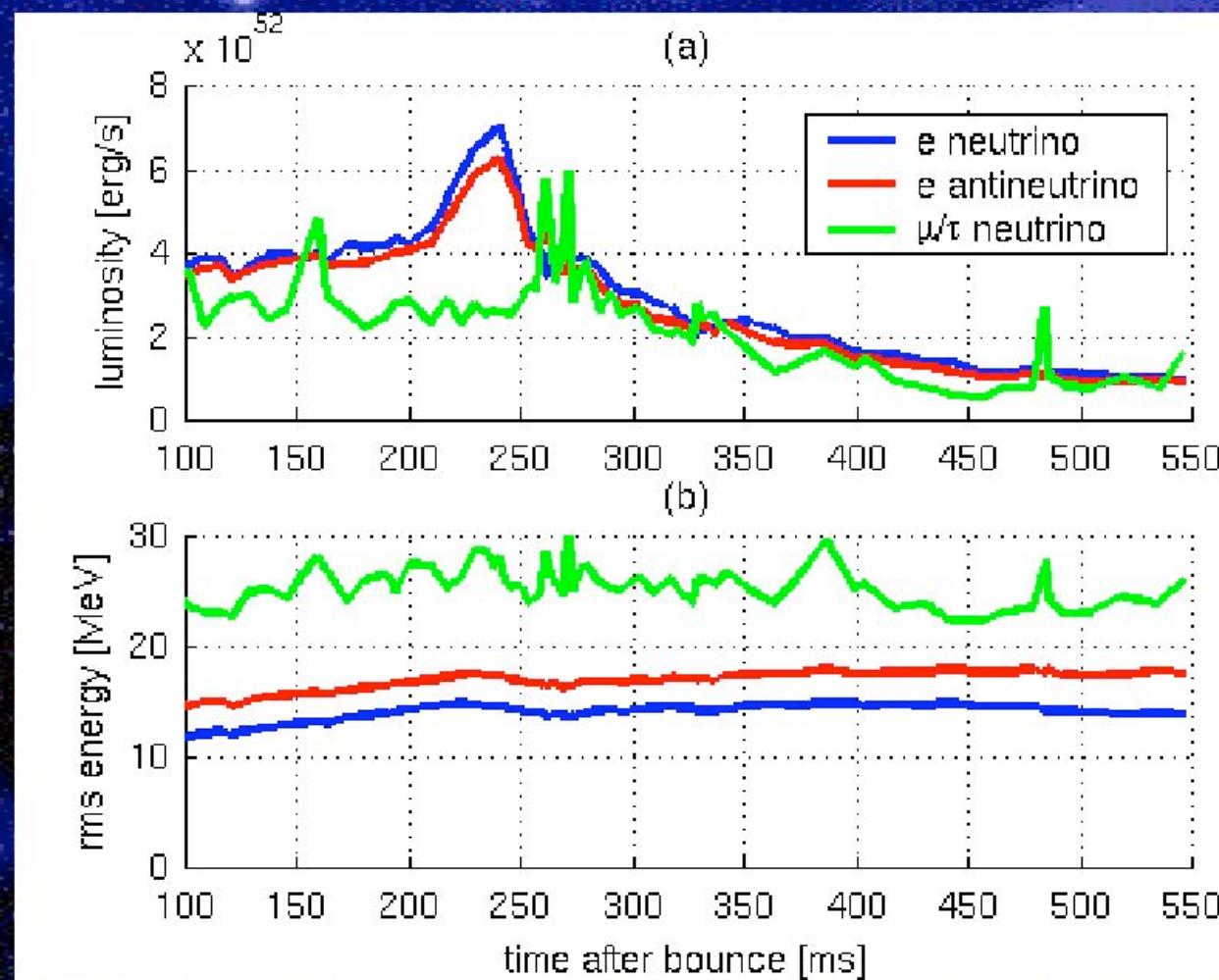
$$\langle E \rangle = \frac{\int_0^\infty E \frac{dN}{dE} dE}{\int_0^\infty \frac{dN}{dE} dE} = \frac{kT \int_0^\infty x \frac{x^2}{1 + e^x} dx}{\int_0^\infty \frac{x^2}{1 + e^x} dx} = kT \frac{F_3(x)}{F_2(x)} = 3,15kT$$

## Numero di eventi attesi in un rivelatore

$$N(\tau, E_{th}, d) = q \cdot E_{Tot} \frac{N_p}{4\pi d^2} \int_0^\tau dt \int_{E_{th}}^\infty \frac{d\sigma}{E_\nu dE_\nu} dE_\nu$$

# Luminosities RMS Energies

$$\chi_{\nu} = \frac{1}{n\sigma}$$



*The possibility to observe the neutrino burst depends on background conditions*

Cosmic rays     $0 < E < \infty$

- a) muons
- b) secondary particles generated by muons  
( $e$ ,  $\gamma$ ,  $n$  and long-life isotopes)
- c) the products of nuclear reactions and electromagnetic interactions

**Sources of background**

Natural radioactivity  $E < 30 \text{ MeV}$ , mainly  $E < 2.65 \text{ MeV}$

Deep underground location

Low radioactivity materials

Anti-coincidence system

Coincidence of signals in several detectors

**Background reduction**

<i>Fase del collasso</i>	1	2	3
Energia totale in neutrini ( $10^{53}$ erg)	0,1	1,7	3
Energia media dei neutrini (MeV)	12	14	15
Durata temporale (s)	0,04	3,1	15

1. Formazione del core opaco ai neutrini (**neutrinosfera**).
2. Accrescimento dell'inviluppo sul core.
3. Raffreddamento Kelvin della neonata stella di neutroni calda.

kT (MeV)	$E_{th}$ (MeV)	t (s)				
		0,01	0,1	1	10	$\geq 25$
3	5	0,15	2,55	9,3	24,4	35,3
	10	0,08	1,33	4,8	12,7	18,3
	15	0,02	0,39	1,4	3,7	5,4
	20	0,00	0,07	0,3	0,7	1,0
4	5	0,23	4,0	14,5	38	55
	10	0,17	3,0	10,9	29	41
	15	0,09	1,6	5,7	15	22
	20	0,04	0,6	2,2	5,9	8,5
5	5	0,31	5,3	19	51	73
	10	0,27	4,6	16,7	44	64
	15	0,19	3,2	11,7	31	45
	20	0,11	1,8	6,6	17	25

# Main interactions in scintillator

- Inverse  $\beta$  decay:



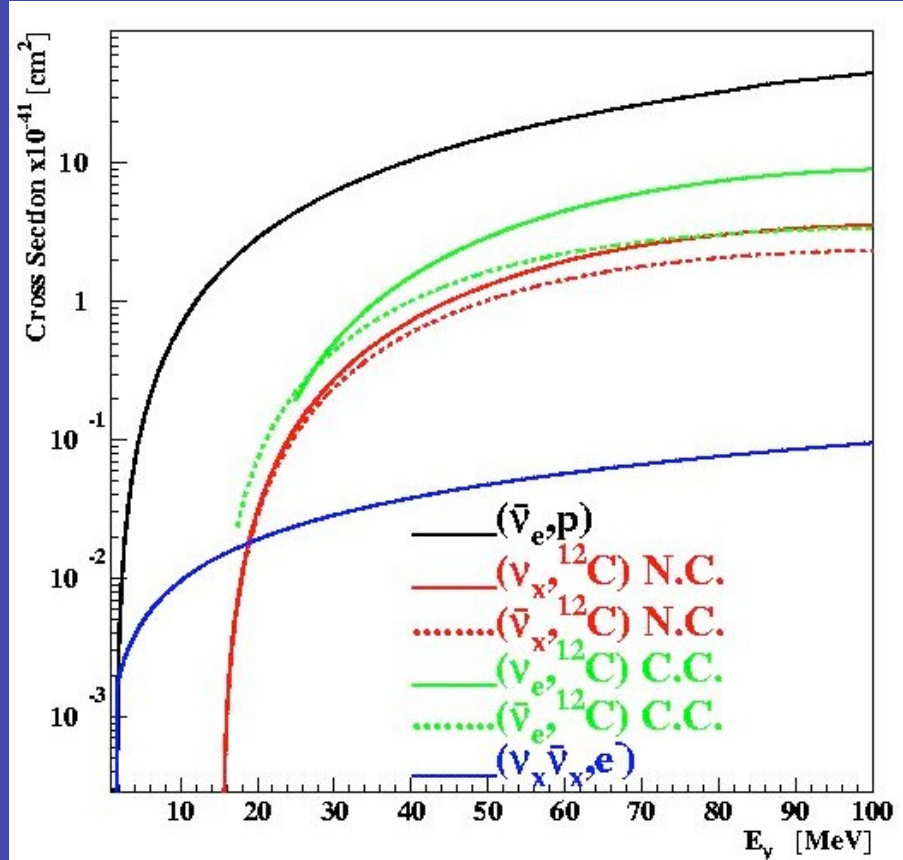
- Neutrino-electron scattering:



- Neutral currents interactions:



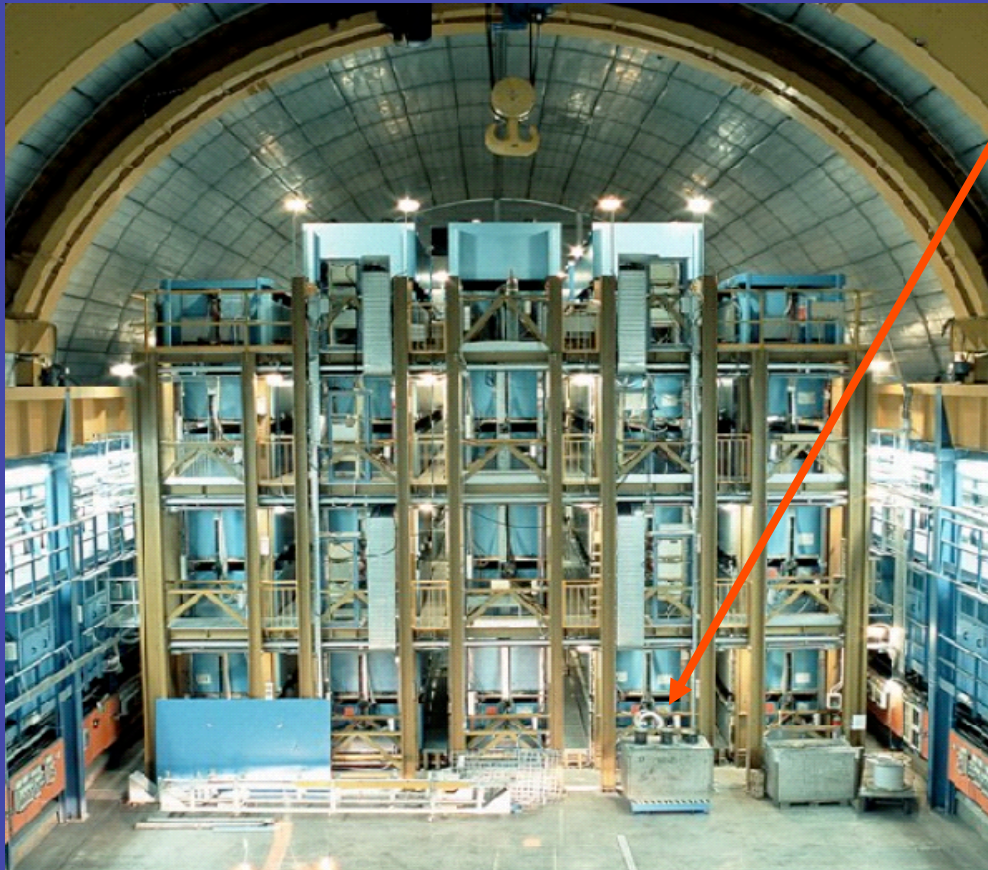
- Charged currents interactions:



$$\sigma(\nu_e + e) = 10^{-44} \left( \frac{E_\nu}{\text{MeV}} \right) \text{cm}^2$$

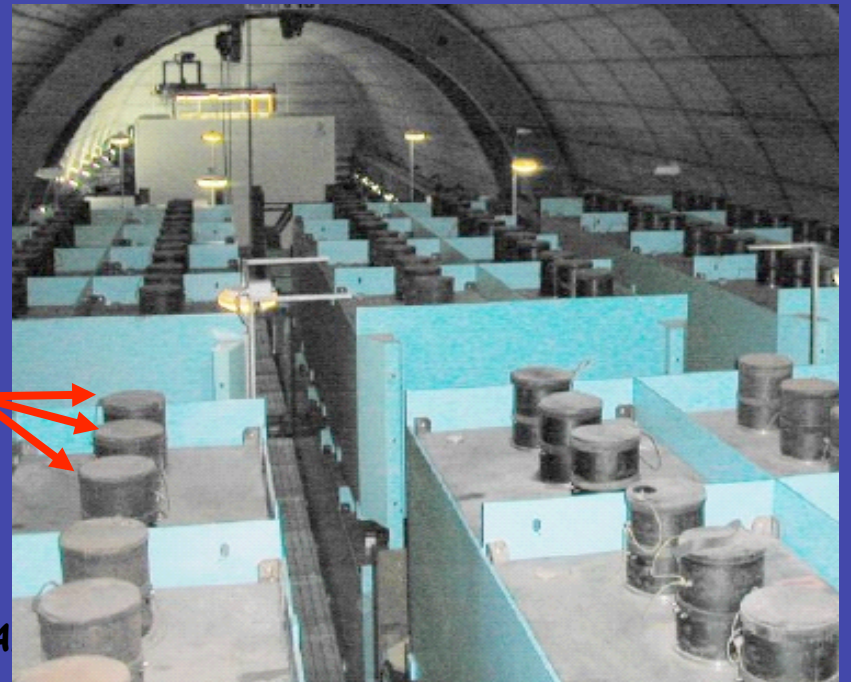
$$\sigma(\nu_e + n) = \sigma(\bar{\nu}_e + p) = 9 \cdot 10^{-44} \left( \frac{E_\nu}{\text{MeV}} \right)^2 \text{cm}^2$$

# The LVD detector



840 scintillator counters,  $1.5 \text{ m}^3$  each, are inserted in modules holding 8 counters each.

The modules are grouped and stacked together to form three towers of 35 modules each.



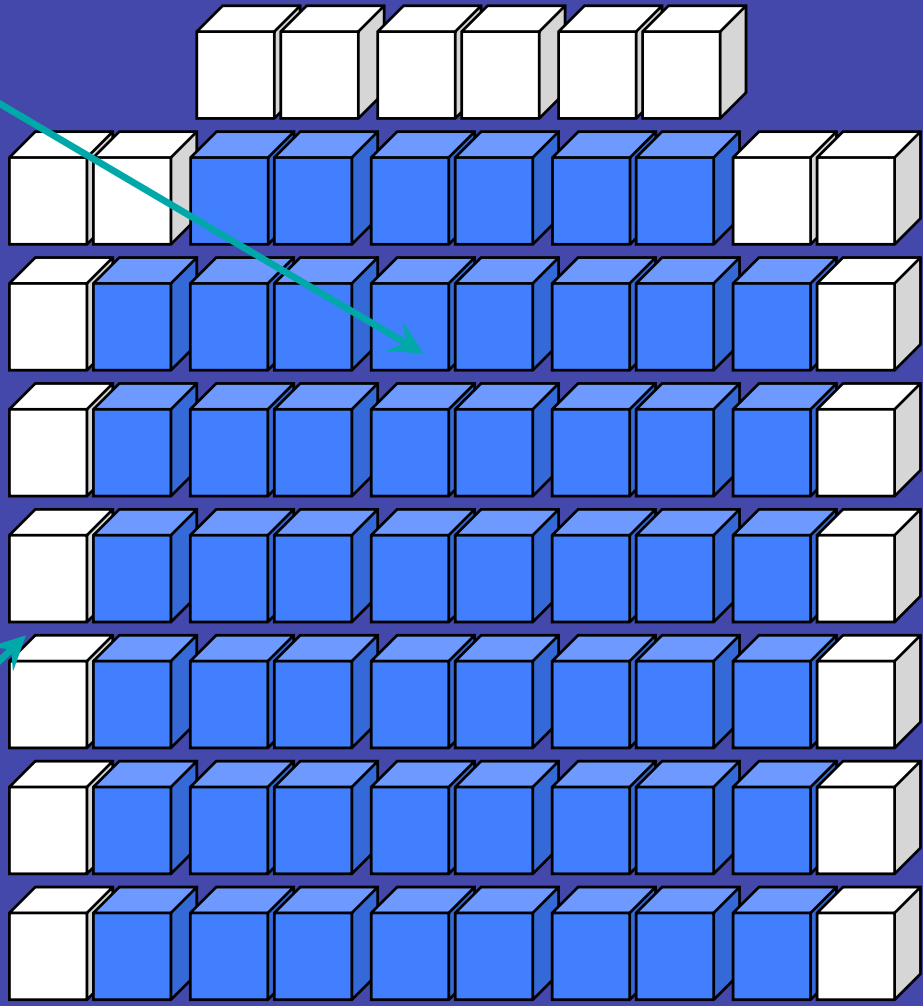
The scintillator of each counter (1.2 tons) is watched from the top by 3 PMTs (15 cm diameter).

## TOP VIEW

# Topology

*INTERNAL Counters ( $M=570$  tons)*  
*EXTERNAL Counters ( $M=430$  tons)*

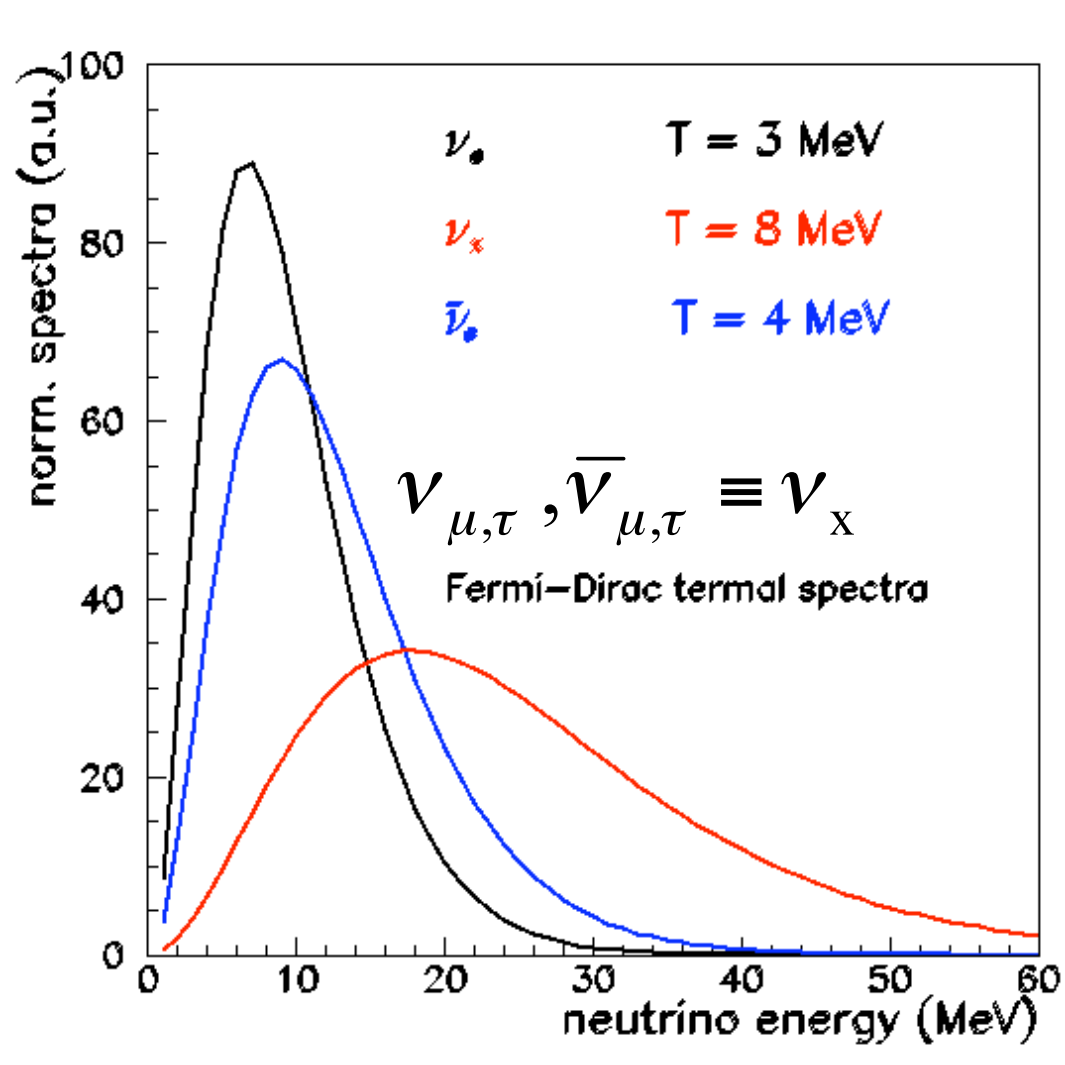
Schema numerazione tank del primo piano											
1517	1518	1417	1418	1317	1318	1217	1218	1117	1118		
1515	1516	1415	1416	1315	1316	1215	1216	1115	1116		
1513	1514	1413	1414	1313	1314	1213	1214	1113	1114		
1511	1512	1411	1412	1311	1312	1211	1212	1111	1112		
2517	2518	2417	2418	2317	2318	2217	2218	2117	2118		
2515	2514	2415	2416	2315	2314	2215	2214	2115	2116		
2513	2514	2413	2414	2313	2314	2213	2214	2113	2114		
2511	2512	2411	2412	2311	2312	2211	2212	2111	2112		
3517	3518	3417	3418	3317	3318	3217	3218	3117	3118		
3515	3514	3415	3416	3315	3316	3215	3216	3115	3116		
3513	3514	3413	3414	3313	3314	3213	3214	3113	3114		
3511	3512	3411	3412	3311	3312	3211	3212	3111	3112		



Cosmic Ray School, Arequipa,  
Peru, 2008

Piero Galeotti,  
University of Torino

FRONT VIEW



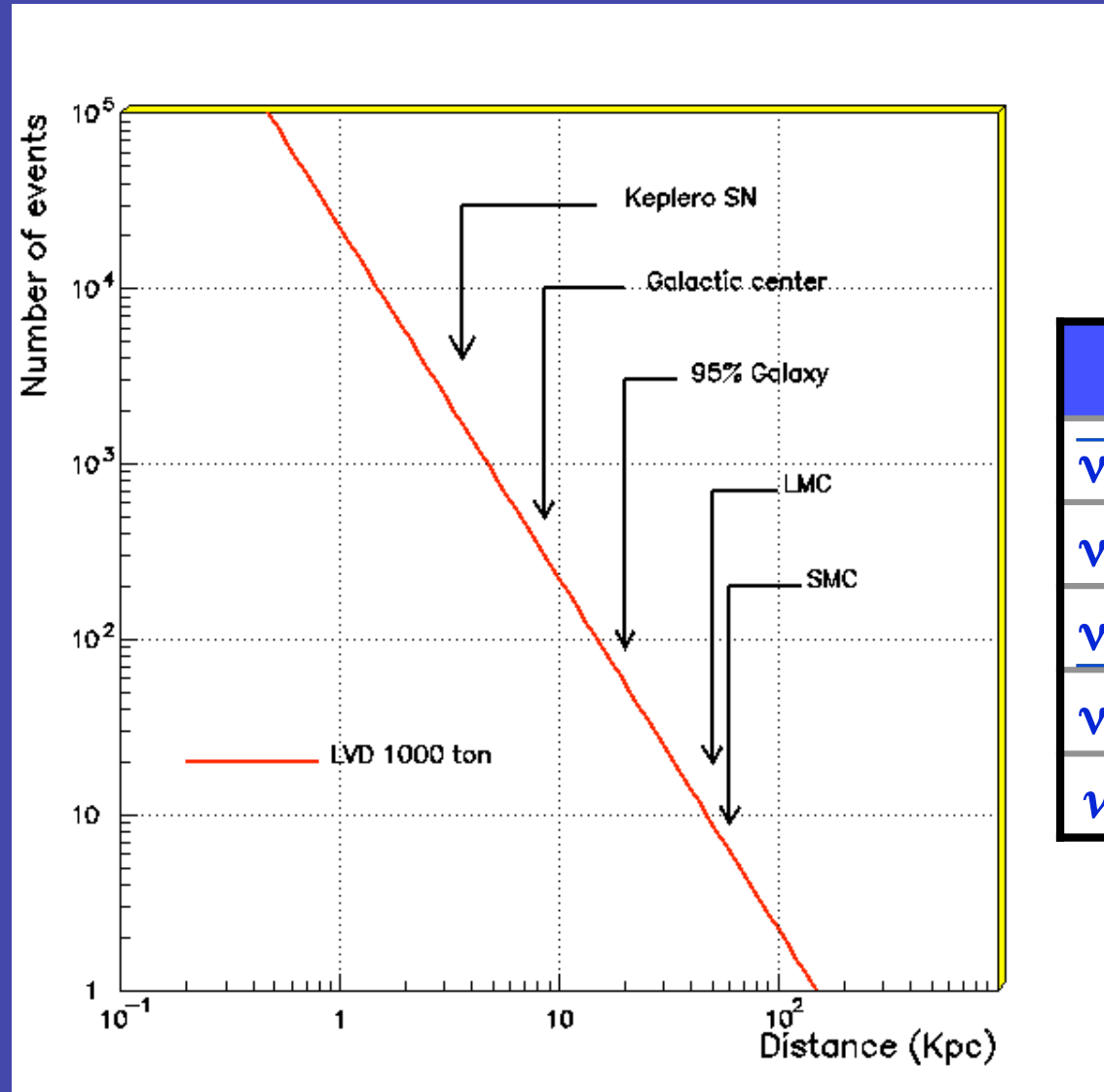
- Quasi-thermal (Fermi-Dirac) neutrino energy spectra from inner layers of collapsing star (neutrinospheres).

- Uncertainties on values of temperatures.
- Typically

$$T_{\nu_e} \leq T_{\bar{\nu}_e} < T_{\nu_x}$$

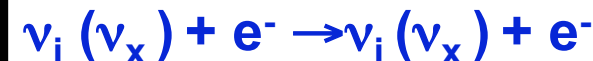
*Typical energy scale  $\approx 0\text{--}50\text{ MeV}$*

# $\nu$ Burst Detection in LVD



$\bar{\nu}_e$  tagging through detection of delayed  $\gamma$  from  $n$  capture at low energy threshold, efficiency 60%.

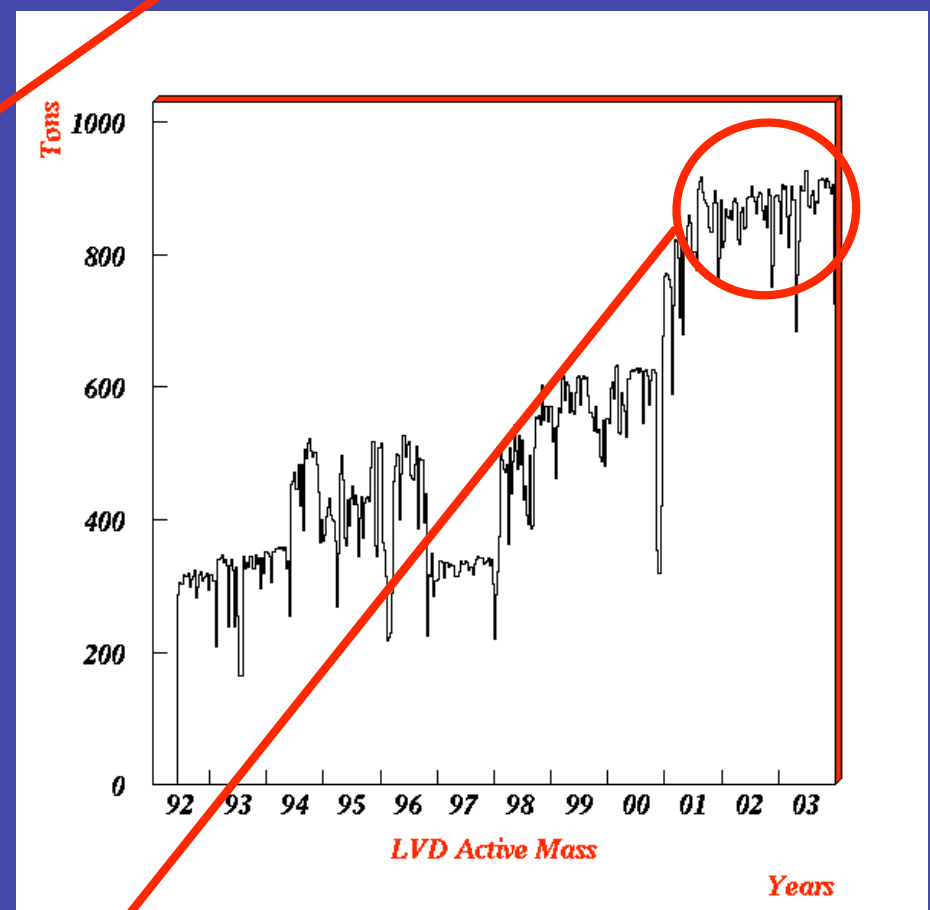
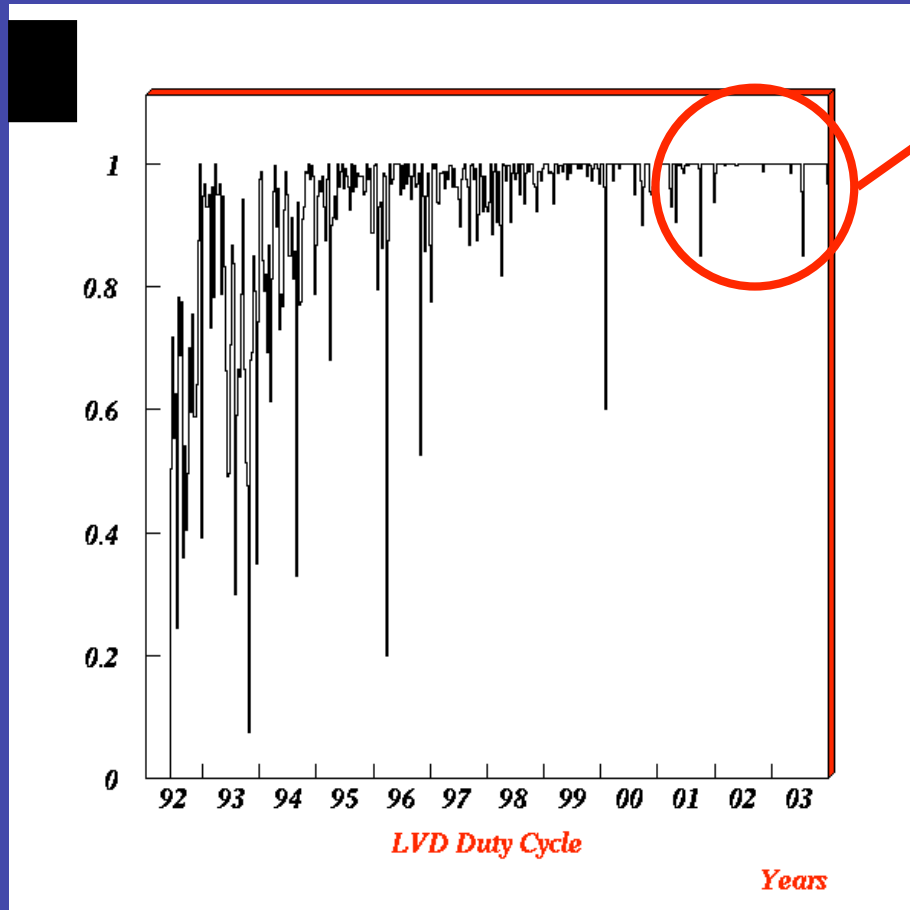
## $\nu$ interactions in LVD



NC and CC interactions on carbon nuclei: potentially useful for  $\nu$  oscillation studies.

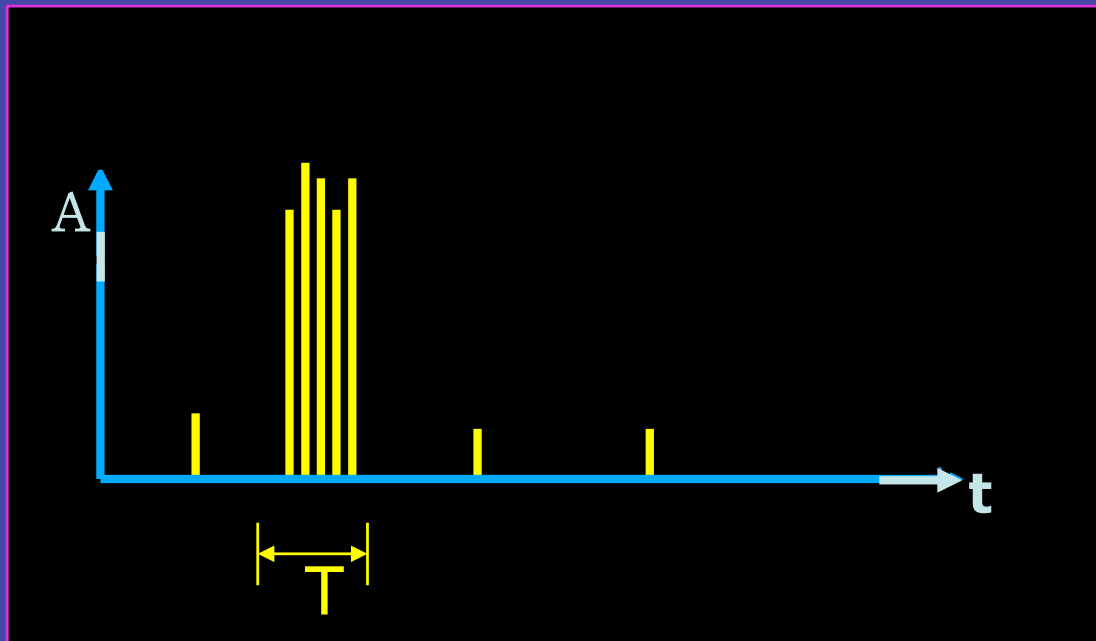
# LVD 10 years

High duty cycle (>99.5% since 2002)



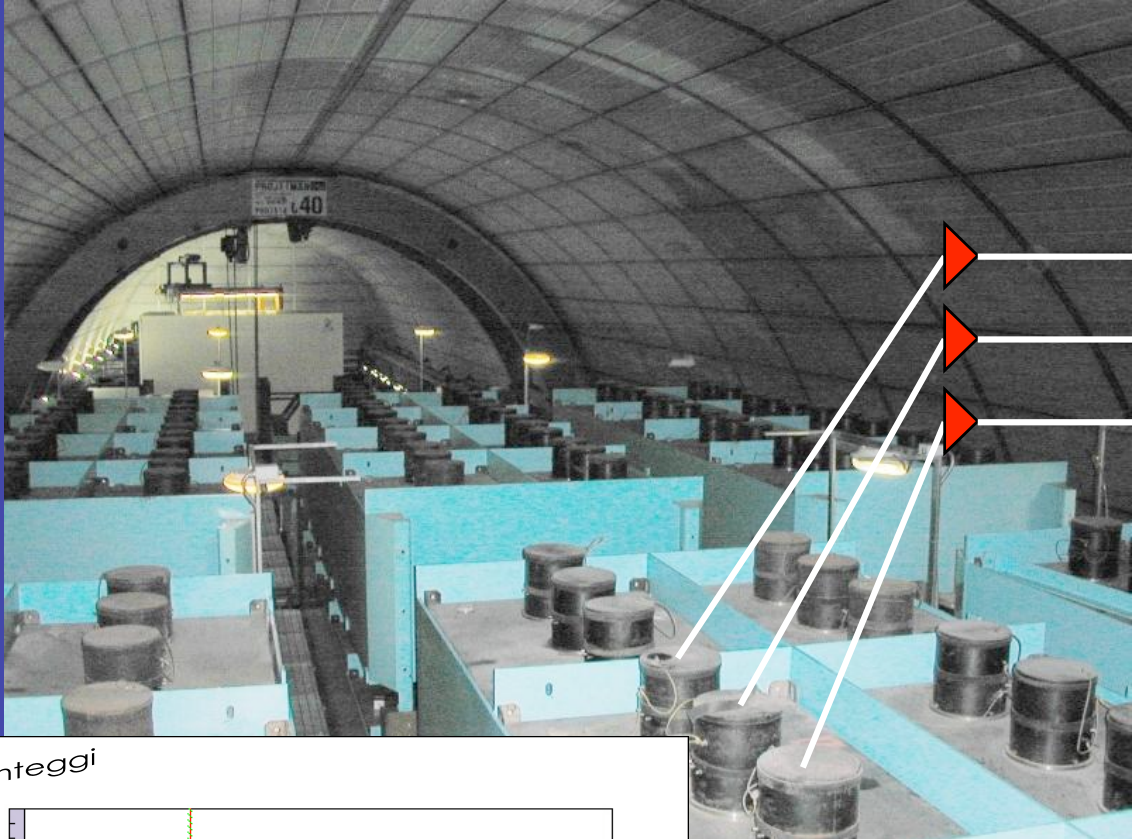
Fiducial Active Mass ( $M \sim 900$  tons since Jun/2001)  
Piero Galeotti,  
University of Torino  
Cosmic Ray School, Arequipa,  
Peru, 2008

# *How can the neutrino burst be identified ?*



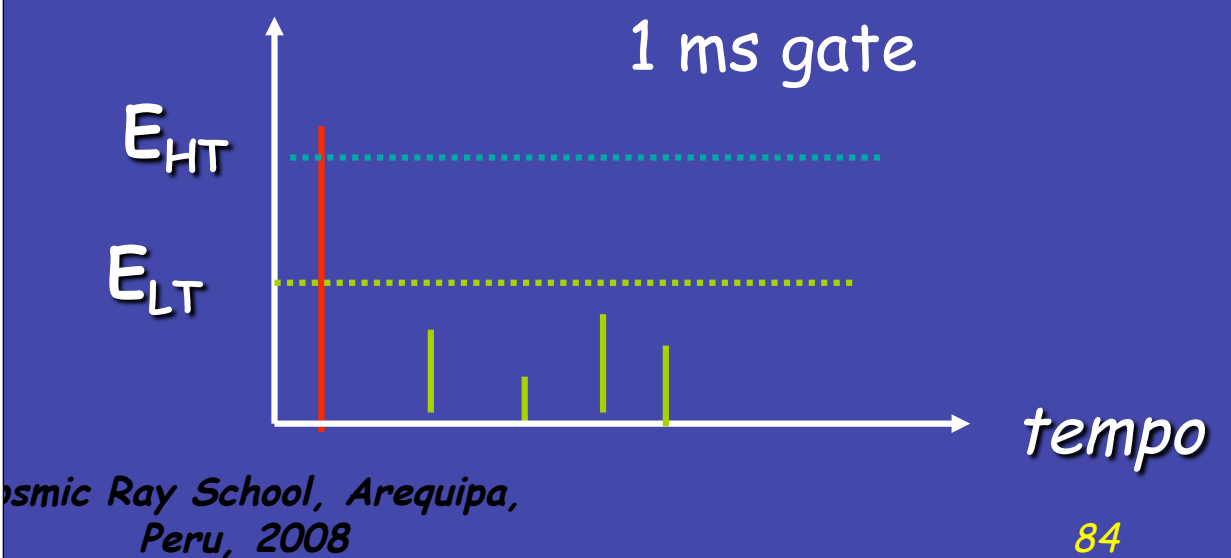
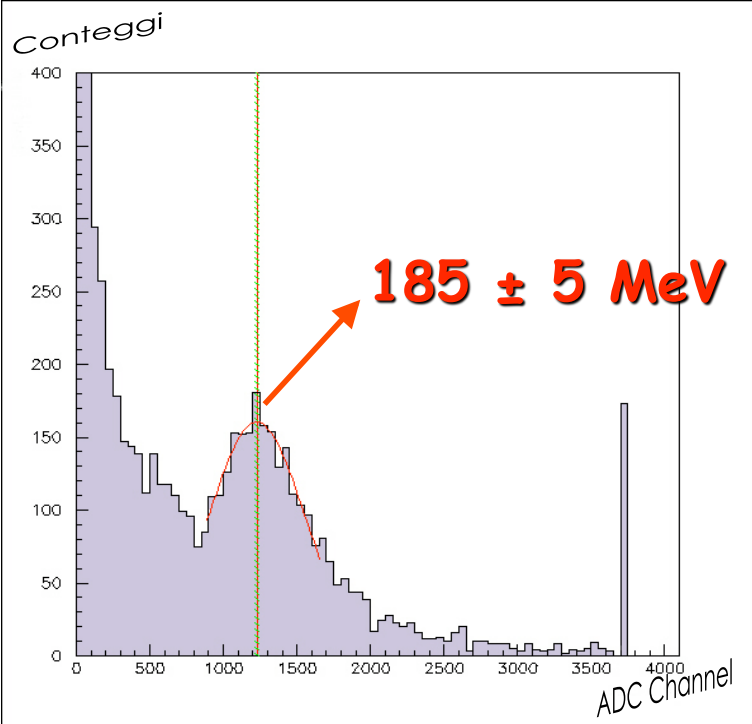
*Detection of a  
burst of N pulses  
in a short time  
interval T*

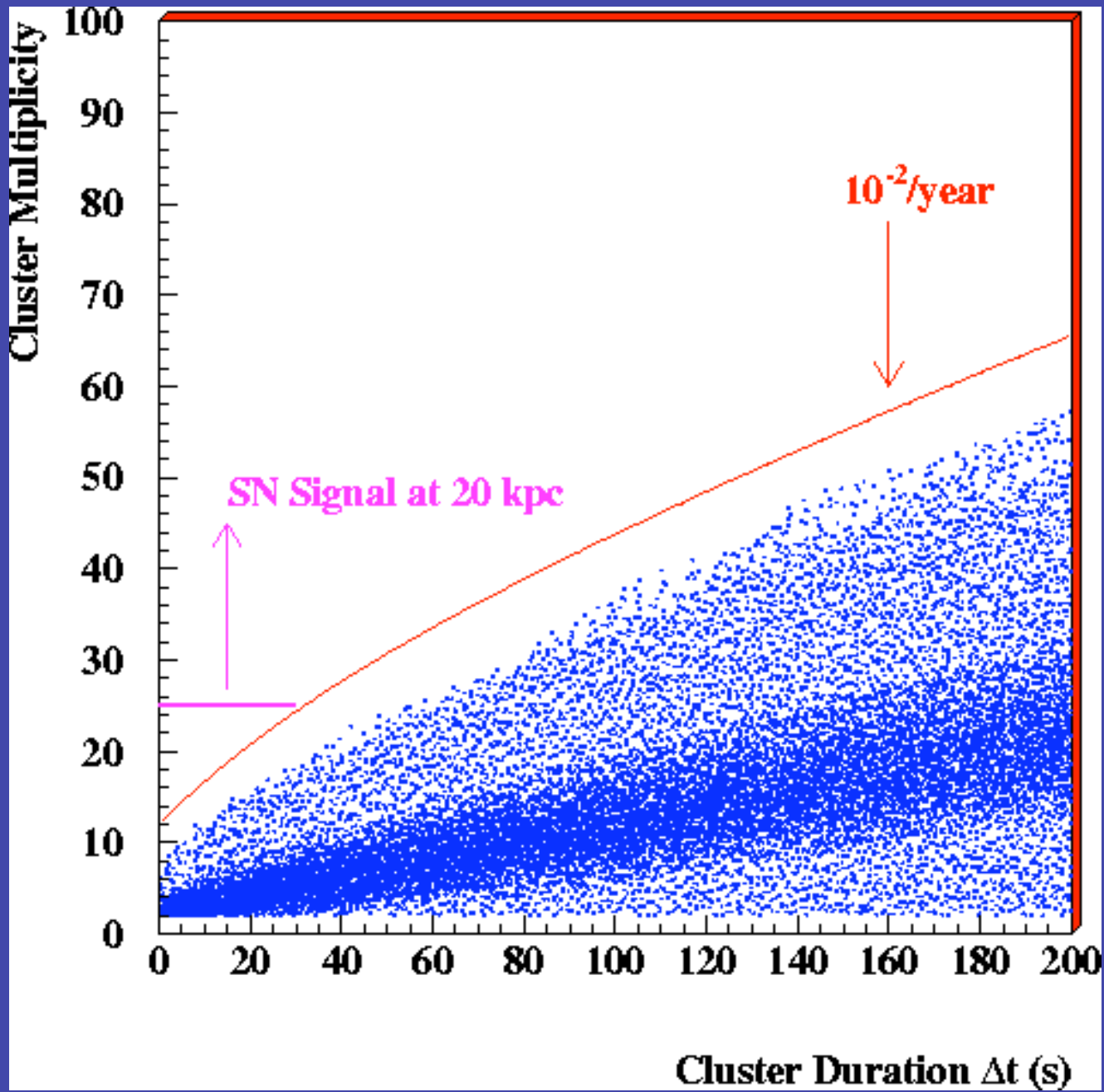
$$N \sim \frac{1}{4\pi R^2} \cdot \sum_i \int_{E_{thr}}^{\infty} I_{\nu_i}(E_{\nu_i}) \cdot \sigma(E_{\nu_i}) dE \cdot M$$

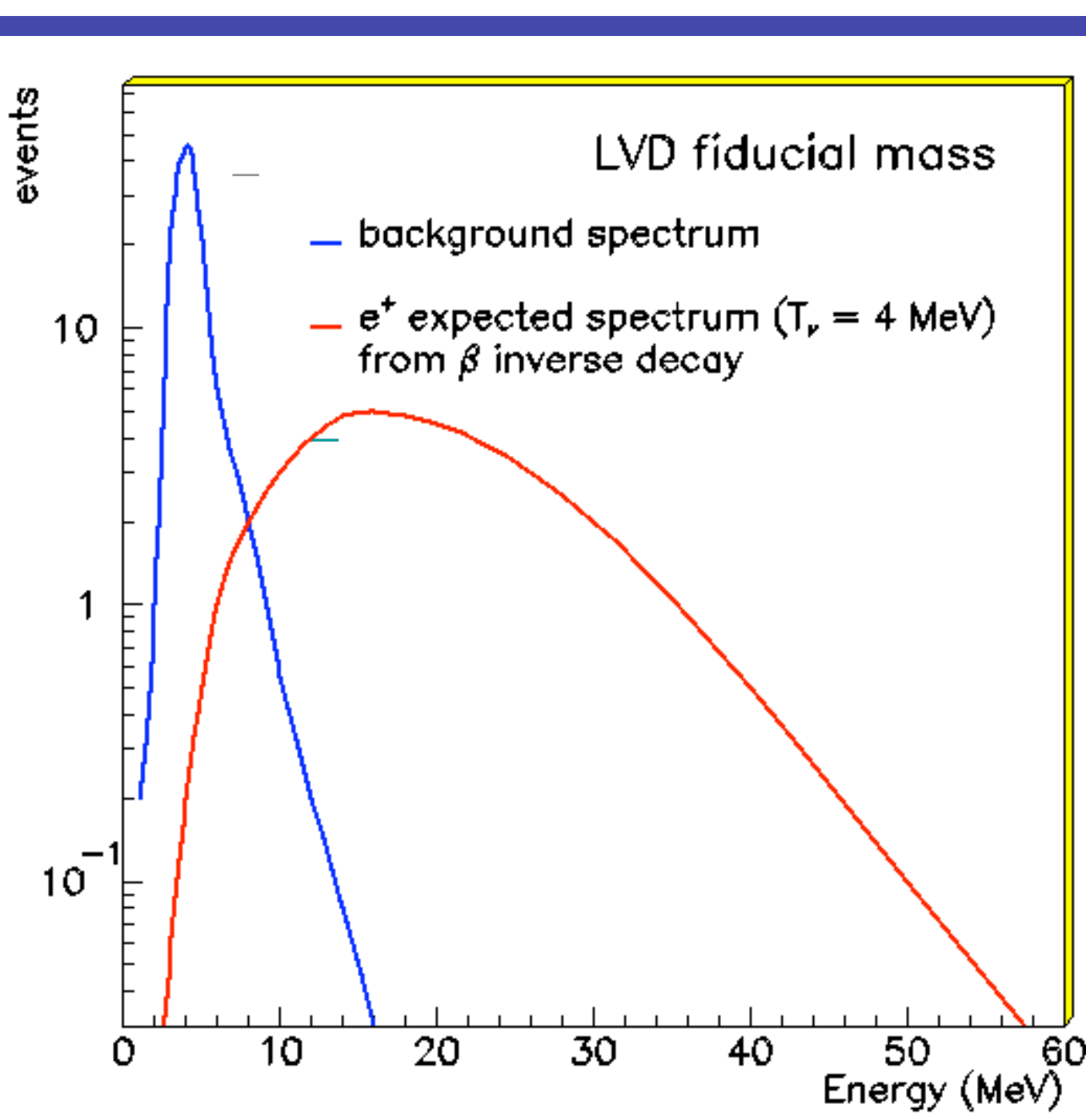


coincidence within 250 ns

After a HT pulse a 1 ms gate is opened lowering thresholds ( $E > 0.6$  MeV) to allow detection of  $\gamma$  from n-capture.







Normalized to  
same number  
of events! In  
a 10 s  
burst, 10  
events  
expected  
from  
background.

# Galaxy survey

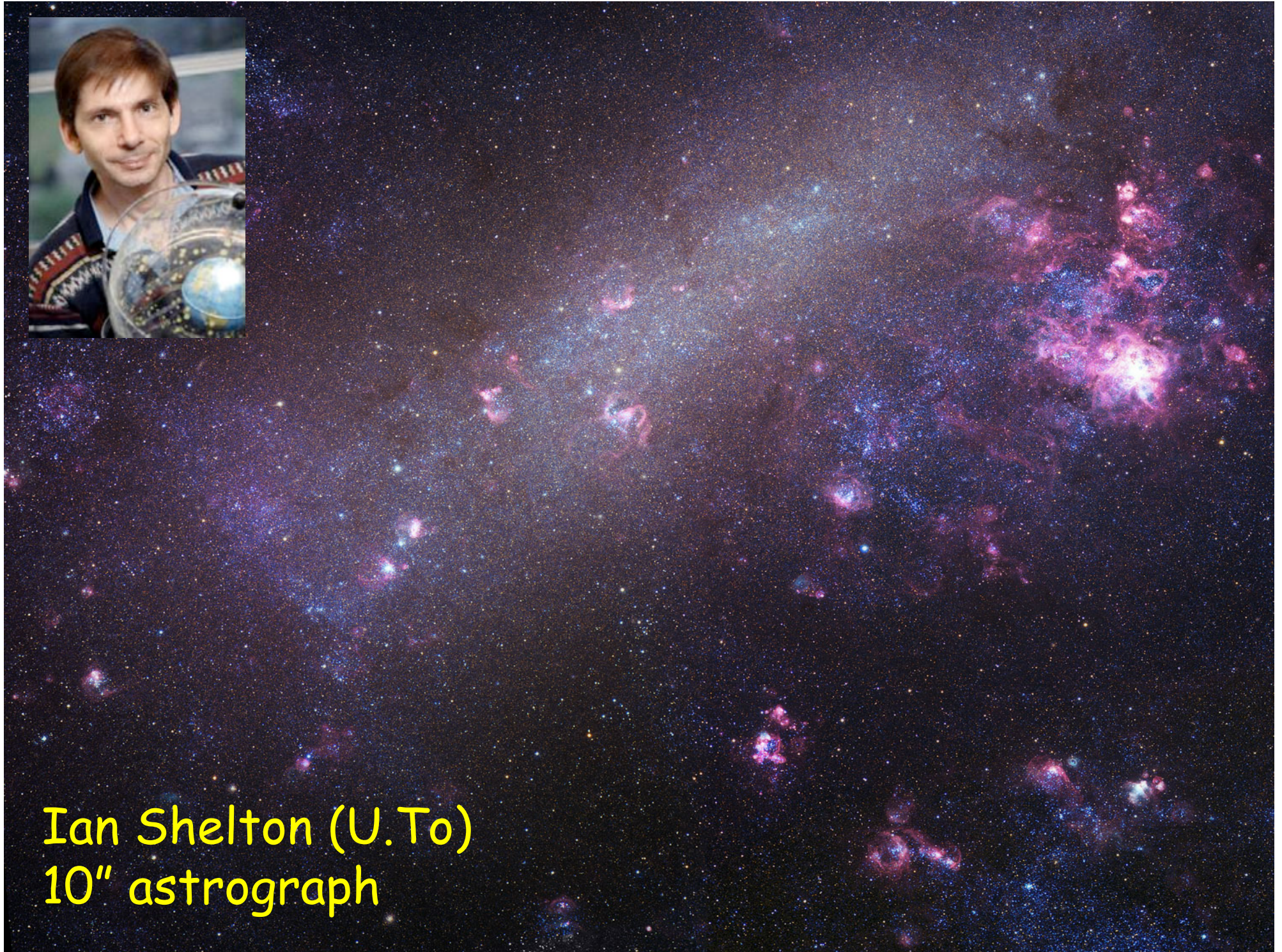
RUN	Since:	To:	Uptime [days]	Duty Cycle	Mass [tonn]	PUBLISHED
RUN 1	Jun 6 <sup>th</sup> '92	May 31 <sup>st</sup> '93	285	60%	310	23 <sup>rd</sup> ICRC 1993
RUN 2	Aug 4 <sup>th</sup> '93	Mar 11 <sup>th</sup> '95	397	74%	390	24 <sup>th</sup> ICRC 1995
RUN 3	Mar 11 <sup>th</sup> '95	Apr 30 <sup>th</sup> '97	627	90%	400	25 <sup>th</sup> ICRC 1997
RUN 4	Apr 30 <sup>th</sup> '97	Mar 15 <sup>th</sup> '99	685	94%	415	26 <sup>th</sup> ICRC 1999
RUN 5	Mar 16 <sup>th</sup> '99	Dec 11 <sup>th</sup> '00	592	95%	580	27 <sup>th</sup> ICRC 2001
RUN 6	Dec 12 <sup>th</sup> '00	Mar 24 <sup>th</sup> '03	821	98%	842	28 <sup>th</sup> ICRC 2003
RUN 7	Mar 25 <sup>th</sup> '03	Feb 4 <sup>th</sup> '05	666	>99%	881	29 <sup>th</sup> ICRC 2005
RUN 8	Feb 5 <sup>th</sup> '05	May 31 <sup>st</sup> '07	846	>99%	936	30 <sup>th</sup> ICRC 2007

LVD                  ==>    4919 days

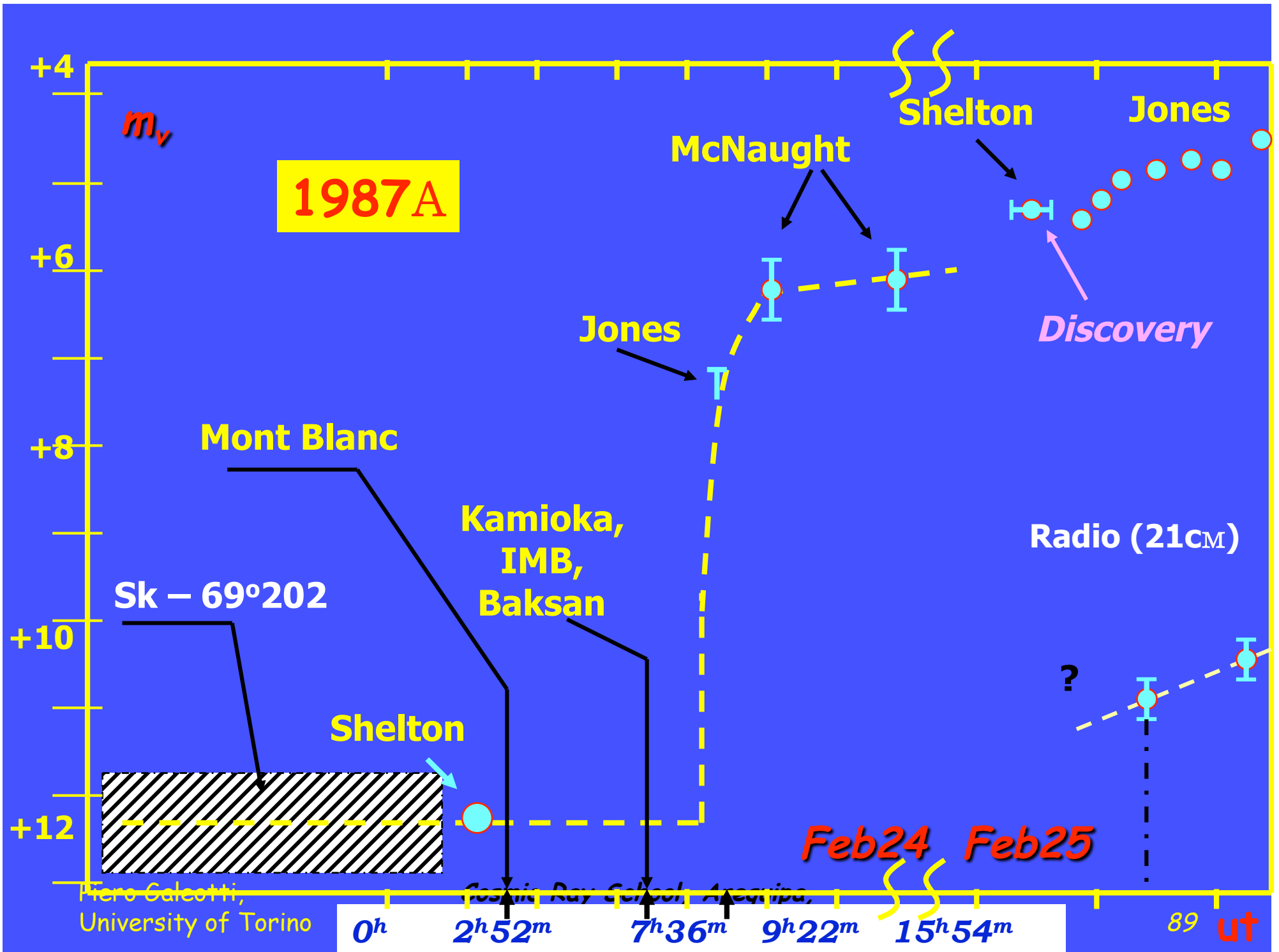
==>    rate of Galactic Gravitational Stellar Collapses  
 $[D \leq 20 \text{ kpc}]$                        $< 0.18 \text{ event/year}$  90% c.l.

## SUPER KAMIOKANDE

Piero Galeotti, *rate of Galactic Gravitational Stellar Collapses*  
 Cosmic Ray School, Arequipa,  
 Università  $[D \leq 100 \text{ kpc}]$                       Peru, 2003       $0.32 \text{ event/year}$  90% c.l.



Ian Shelton (U.To)  
10" astrograph



*On line print of five pulses on 23 febbrury 1987 at 3 hr,  
52 min i.t., detected at Mt. Blanc LSD experiment*

```
23 59 52.80/7 22 02 1987/CN 051 A 158/ SCR-0000240 REL 0128
*** PDP-11 DATE/TIME WAS : 87/02/23 00:00:07:24
*** INEGF CLOCK DATE/TIME IS : 23 00:00:00:29 ( 591 MSEC *** SOLAR TI
CLOCK -- STOP

LSDMON --- 23-FEB-87 00:12:59 *** HIST.UPDATE AT EVENT 761 RUN 1328
LSDM02 --- 23-FEB-87 01:28:10 *** UPDATE HIST. FILE 2 ***
LSDMON --- 23-FEB-87 01:33:52 *** HIST.UPDATE AT EVENT 861 RUN 1328
LSDMON --- 23-FEB-87 02:12:48 *** EMPTY/ERRORED EVENT 900 RUN 1328
LSDMON --- 23-FEB-87 03:17:08 *** HIST.UPDATE AT EVENT 962 RUN 1328
LSDM02 --- 23-FEB-87 03:37:47 *** UPDATE HIST. FILE 2 ***
LSDM02 --- 23-FEB-87 03:52:47 !!!!!!! BURST OF 4 EVENTS !!!!!!!
3:52:42.696 23- 2-87 TIME = 5.904 SEC. EV.ATTESI = 0.07 FREQ.IMIT = 0.523E-01 /DAY
EV 994 TANK 31 ADC 33 L.E.P. 0
EV 995 TANK 14 ADC 37 L.E.P. 0
EV 996 TANK 25 ADC 46 L.E.P. 1
EV 997 TANK 35 ADC 32 L.E.P. 0
LSDM02 --- 23-FEB-87 03:52:56 !!!!!!! BURST OF 4 EVENTS !!!!!!!
3:52:43.800 23- 2-87 TIME = 3.151 SEC. EV.ATTESI = 0.04 FREQ.IMIT = 0.811E-02 /DAY
EV 995 TANK 14 ADC 37 L.E.P. 0
EV 996 TANK 25 ADC 46 L.E.P. 1
EV 997 TANK 35 ADC 32 L.E.P. 0
EV 998 TANK 33 ADC 40 L.E.P. 0
LSDM02 --- 23-FEB-87 03:53:04 !!!!!!! BURST OF 5 EVENTS !!!!!!!
3:52:43.800 23- 2-87 TIME = 7.008 SEC. EV.ATTESI = 0.08 FREQ.IMIT = 0.178E-02 /DAY
EV 994 TANK 31 ADC 33 L.E.P. 0
EV 995 TANK 14 ADC 37 L.E.P. 0
EV 996 TANK 25 ADC 46 L.E.P. 1
EV 997 TANK 35 ADC 32 L.E.P. 0
EV 998 TANK 33 ADC 40 L.E.P. 0
CLOSTR ---

04 52 52.90/1 23 02 1987/CN 052 A 158/ SCR 0000100 REL 0000
LSDMON --- 23-FEB-87 04:53:22 *** HIST.UPDATE AT EVENT 1062 RUN 1328
LSDM02 --- 23-FEB-87 05:28:53 *** UPDATE HIST. FILE 2 ***
```

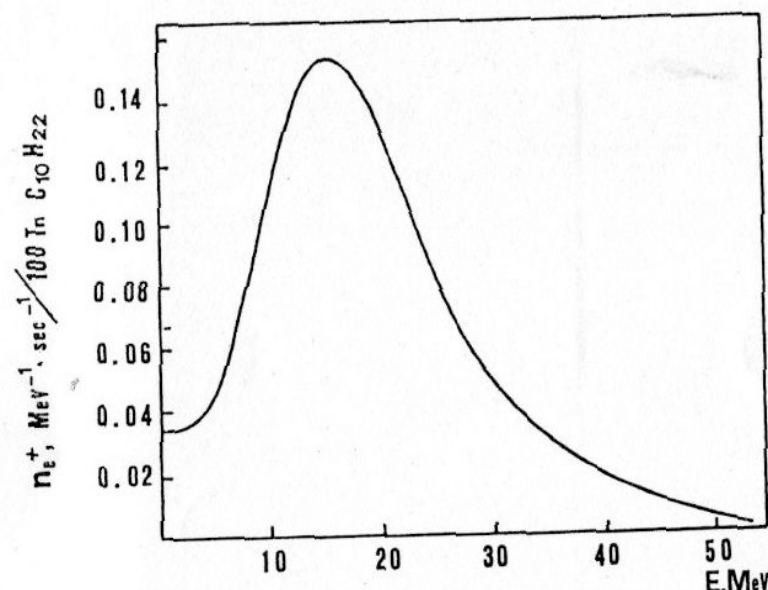


Fig.3

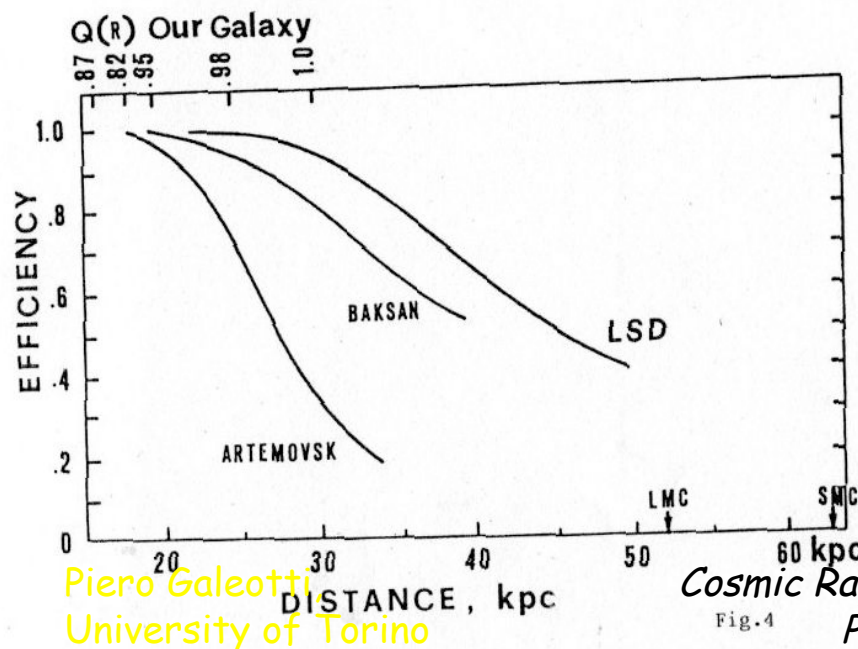


Fig.4

Finally, if the collapse occurs within our Galaxy, a large amount of information on the dynamics of the collapse and on the physical conditions inside the pre-supernova core can be obtained by observing not only the  $\bar{\nu}_e$  through reaction (1), but also the  $\nu_e$  through the elastic scattering reaction  $\nu_e + e^- \rightarrow \nu_e + e^-$ , which however produces a lower number of interactions in the detector. The signature of the electron neutrinos is given in LSD by pulses above the high energy threshold of 7 MeV, without any low energy delayed pulse. In this way, since  $\nu_e$  are emitted as early as the neutronization stage of the collapse, the initial phases of the development of a collapsing star can be studied.

#### 4. Solar neutrinos

Since in our apparatus the local radioactivity background from the surrounding rock has been reduced to very low counting rates, we are checking the possibility to detect high energy solar neutrinos from the  $^{10}\text{B}$  decay in the Sun, through the elastic scattering reaction with the electrons of our detector.

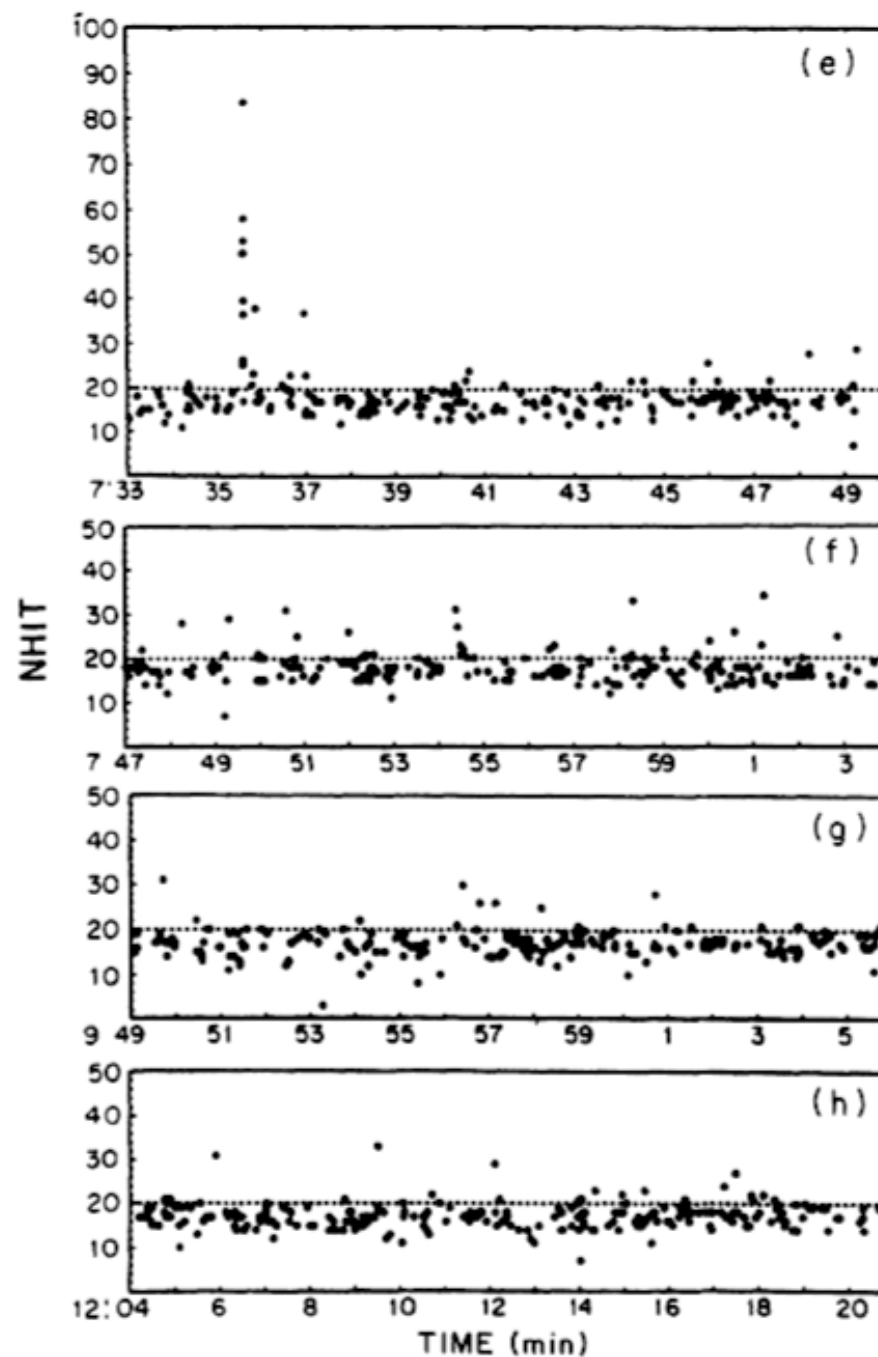
By using the present limit flux of solar neutrinos observed in the Brookhaven detector, and taking into account that the energy threshold in our apparatus can be set at 5 MeV, the number of detectable electrons from solar neutrinos is  $\sim 0.3/\text{day}$ .

#### 5. Atmospheric neutrinos

At low energy range,  $10 \leq E_\nu \leq 700$  MeV, no experimental information is at present available for the atmospheric neutrino spectrum; also the theoretical predictions are not well defined in this region, even if some calculations have been recently made for energies  $> 200$  MeV to estimate the neutrino background in proton decay experiments in underground laboratories. However, new efforts are in progress, Gaisser<sup>7)</sup>, to predict the neutrino spectrum at low energies.

With our LSD experiment we intend to directly measure the  $\bar{\nu}_e$  atmospheric neutrinos above an energy threshold of  $\geq 10$  MeV through reaction (1). By measuring inside the fiducial volume of LSD both the energy of the contained  $e^+$  and the associate  $\gamma$ -pulse from neutron capture, we'll obtain a direct experimental measure of the  $\bar{\nu}_e$  atmospheric spectrum, with a very clear signature that makes such events easily distinguishable from any other type of neutrino interactions. At a threshold of 10 MeV, the total number of atmospheric neutrino interactions has been estimated to be of the order of a few tens per year.

Hirata et al.  
PR D 448 (1988)





### relative Kamiokande time

hour	min	sec	nhit	number	duration [s]	prob [years]
7	35	33.67	58	11	12.4	$1.21 \cdot 10^7$
7	35	33.78	36			
7	35	33.98	25			
7	35	34.00	26			
7	35	34.18	39			
7	35	35.21	83			
7	35	35.40	55			
7	35	35.59	51			
7	35	42.89	21			
7	35	44.11	37			
7	35	46.11	24			

# ***DETECTED NEUTRINO SIGNALS***

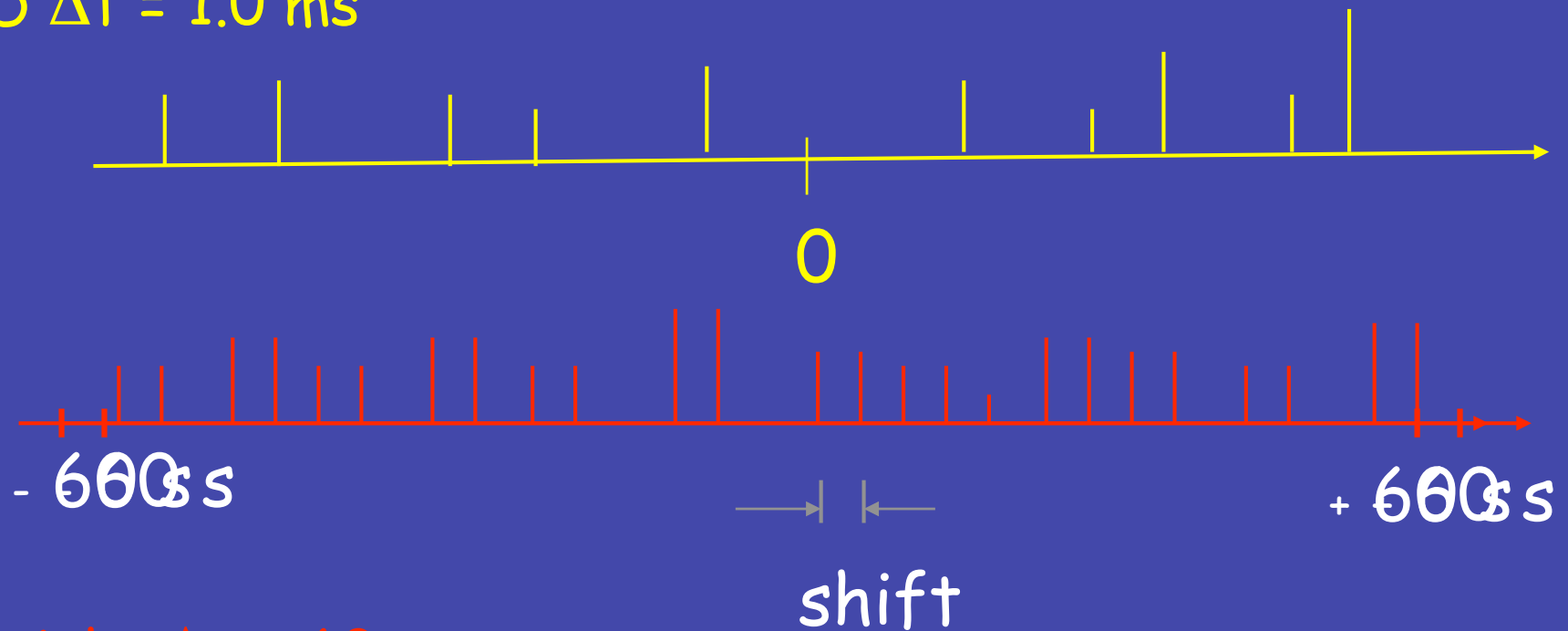
Mont Blanc	5 pulses	$E \geq 5$ MeV	UT $2:52:36.8 \pm 2$ ms
Kamioka	11 “	8	$7:35:35 \pm 1$ min
IMB	8 “	25	$7:35:41 \pm 5$ ms
BST	(2+5) “	10	2:52:34 and 7:36:06 (+ 2s-54s)

The main signal comes from electron antineutrinos:  
 $\bar{\nu}_e p \rightarrow n e^+$  followed by  $e^+ e^-$  annihilation producing  
2  $\gamma$ 's, detectable in scintillator but not in water.  
The Mont Blanc signal ( $5.8 \leq E_{\text{vis}} \leq 7.8$  MeV)  
corresponds to  $4.6 \leq E_{\text{vis}} \leq 6.6$  MeV in water, at the  
limit to be detected in Kamioka.

# Kamioka - Mont Blanc correlations

$$N_c = 2 \frac{N_1 \cdot N_2}{T} \Delta\tau$$

LSD  $\Delta t = 1.0$  ms

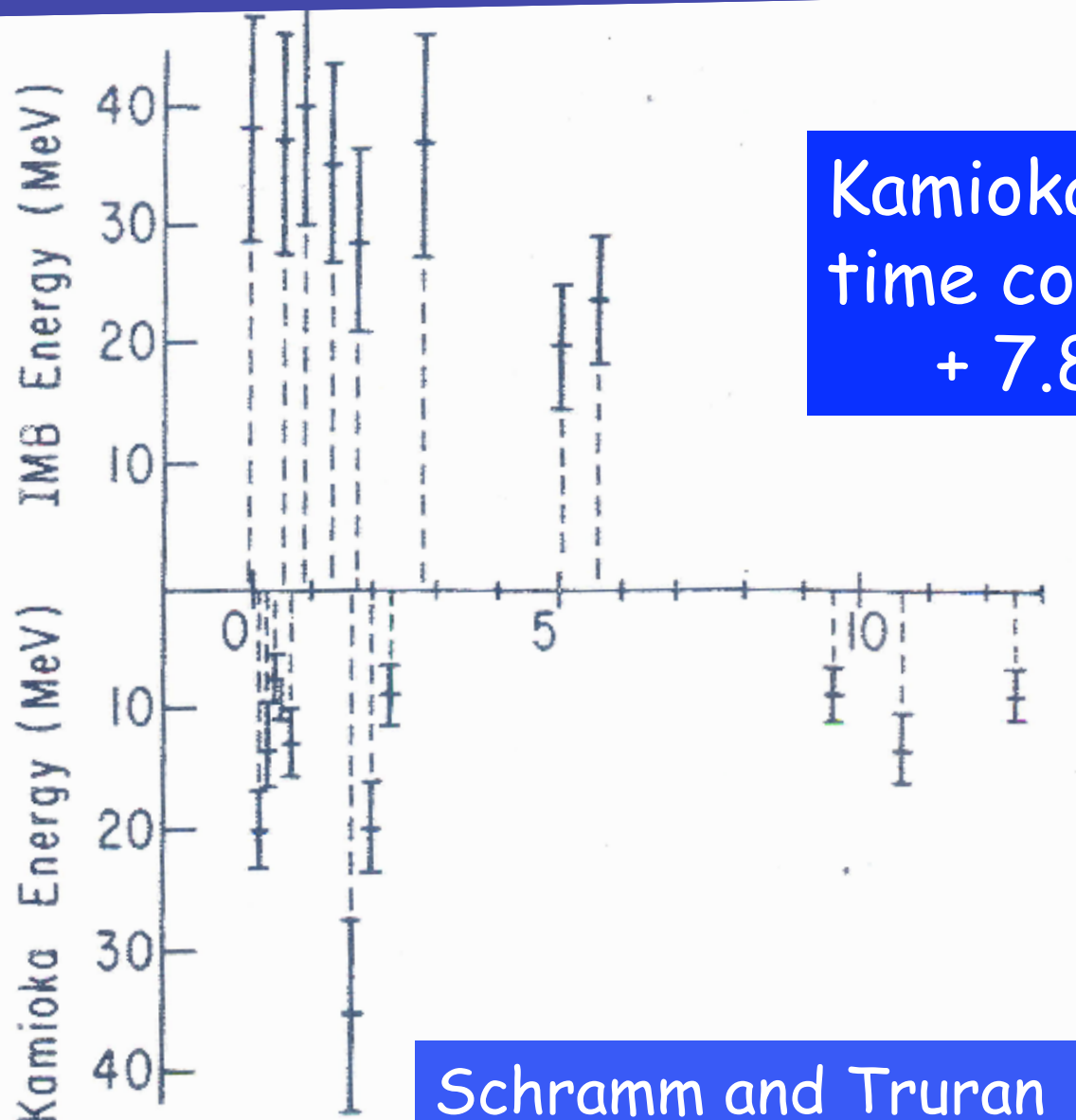


Kamioka  $\Delta t = 60$  sec

IMB

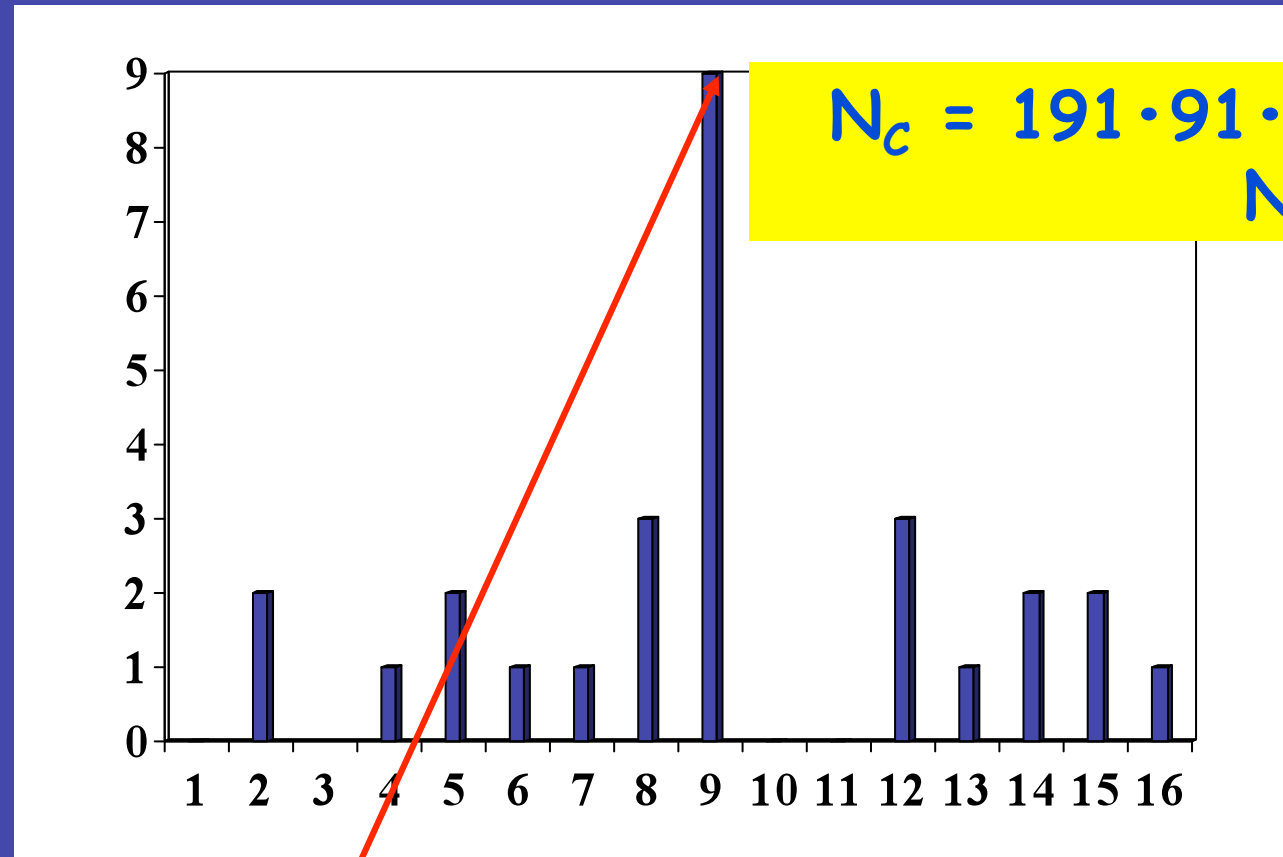
K

Kamiokande has a time error  $\pm 1$  minute



Schramm and Truran

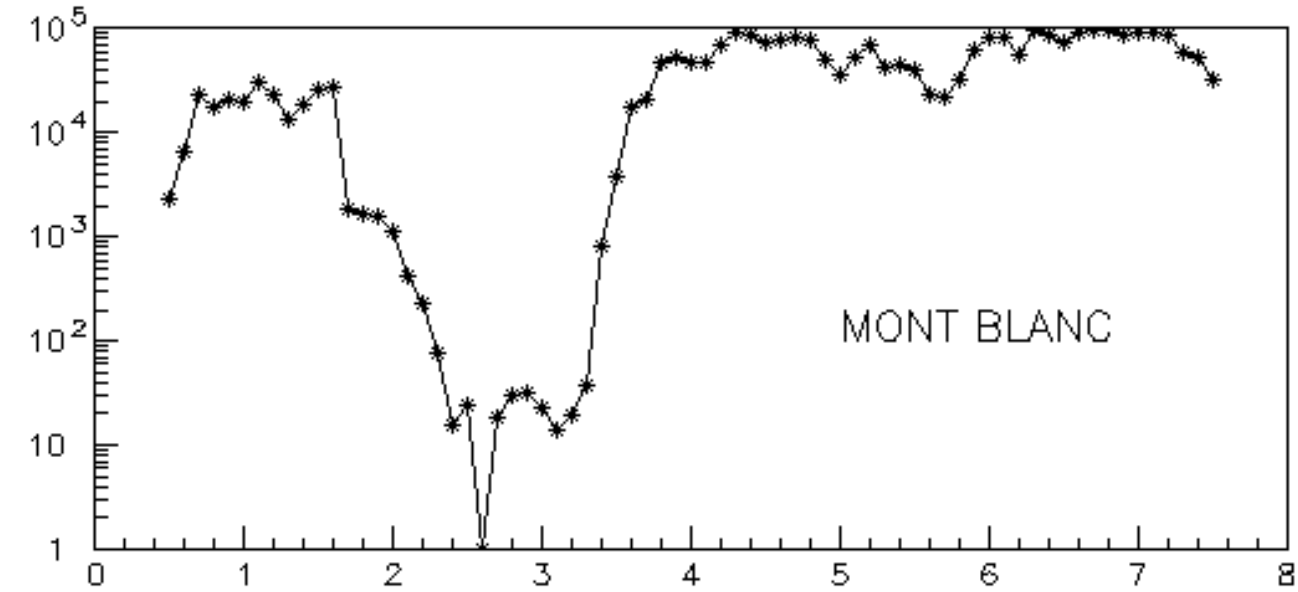
# Coincidences Mt. Blanc-Kamioka



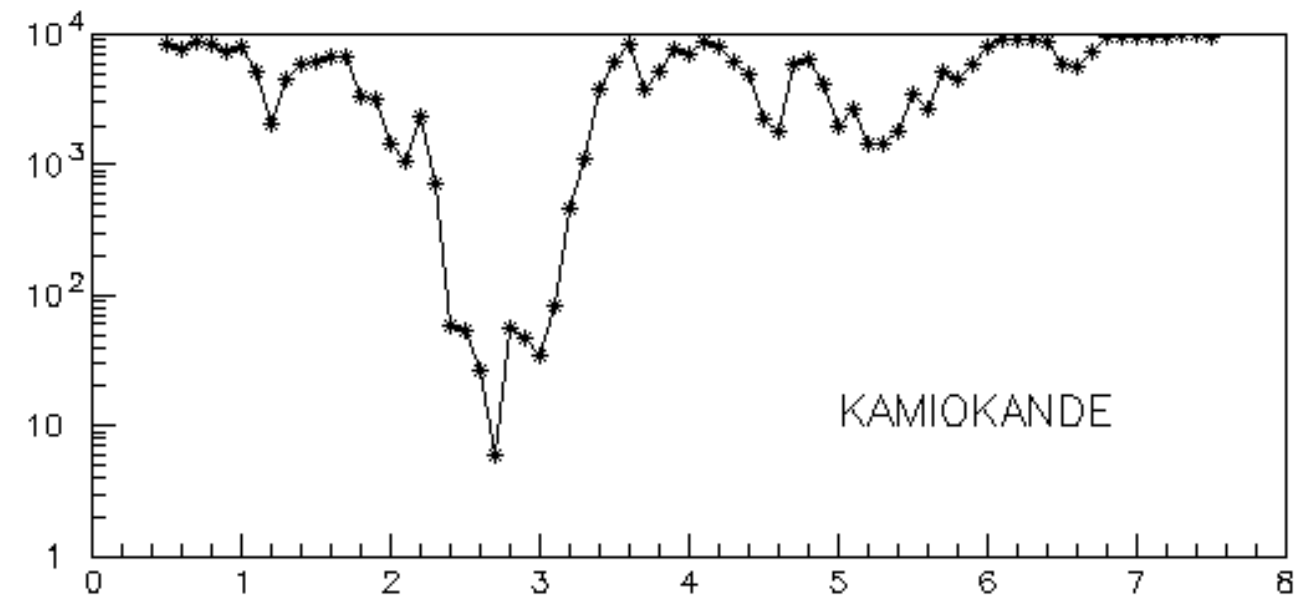
$$N_C = 191 \cdot 91 \cdot 2 \cdot 0.5 / 7200 = 2.4$$
$$N_O = 9$$

Mt. Blanc event time  
1:45 - 3:45 U.T.

Coincidence window  $\Delta t = \pm 0.5$  s  
Bin width: 2 hours  
Coincidence time: 34 hours  
Kamioka time + 7 seconds



MONT BLANC



KAMIOKANDE

**Analysis of the Data Recorded by the Mont Blanc  
Neutrino Detector and by the Maryland  
and Rome Gravitational-Wave Detectors during SN1987A.**

M. AGLIETTA, G. BADINO, G. BOLOGNA, C. CASTAGNOLI, A. CASTELLINA  
W. FULGIONE, P. GALEOTTI, O. SAAVEDRA, G. TRINCHERO and S. VERNETTO

*Istituto di Cosmogeofisica del CNR - Torino*

*Istituto di Fisica Generale dell'Università - Torino*

E. AMALDI, C. COSMELLI, S. FRASCA, G. V. PALLOTTINO

G. PIZZELLA, P. RAPAGNANI and F. RICCI

*Dipartimento di Fisica dell'Università «La Sapienza» - Roma*

*Istituto Nazionale di Fisica Nucleare - Roma*

M. BASSAN, E. COCCIA and I. MODENA

*Dipartimento di Fisica dell'Università «Tor Vergata» - Roma*

*Istituto Nazionale di Fisica Nucleare - Roma*

P. BONIFAZI and M. G. CASTELLANO

*Istituto di Fisica dello Spazio Interplanetario del CNR - Frascati (Roma)*

*Istituto Nazionale di Fisica Nucleare - Roma*

V. L. DADYKIN, A. S. MALGUIN, V. G. RYASSNY, O. G. RYAZHSKAYA

V. F. YAKUSHEV and G. T. ZATSEPIN

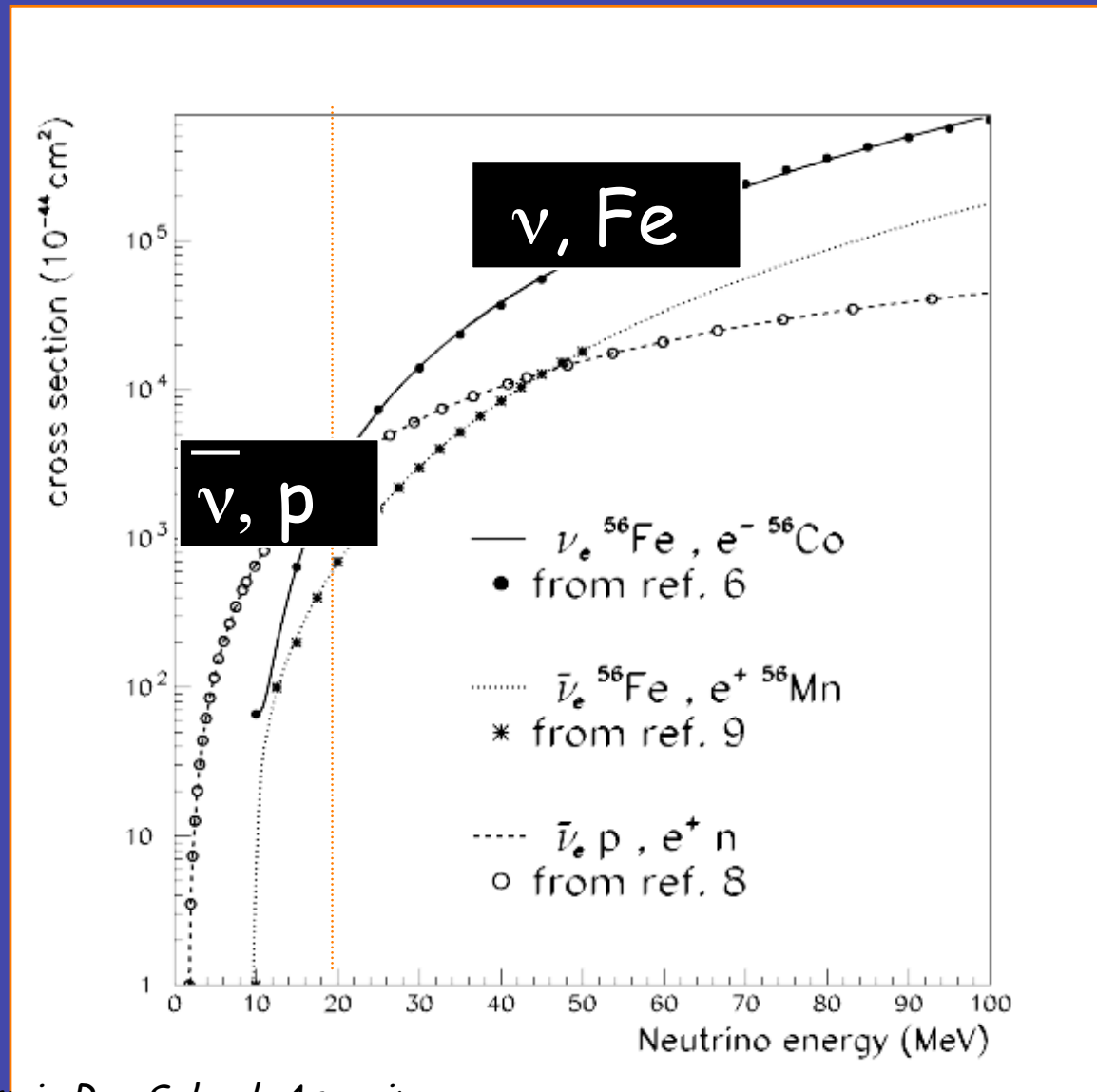
*Institute of Nuclear Research, Academy of Sciences of USSR - Moscow, USSR*

D. GRETZ, J. WEBER and G. WILMOT

*Department of Physics and Astronomy, University of Maryland, USA*

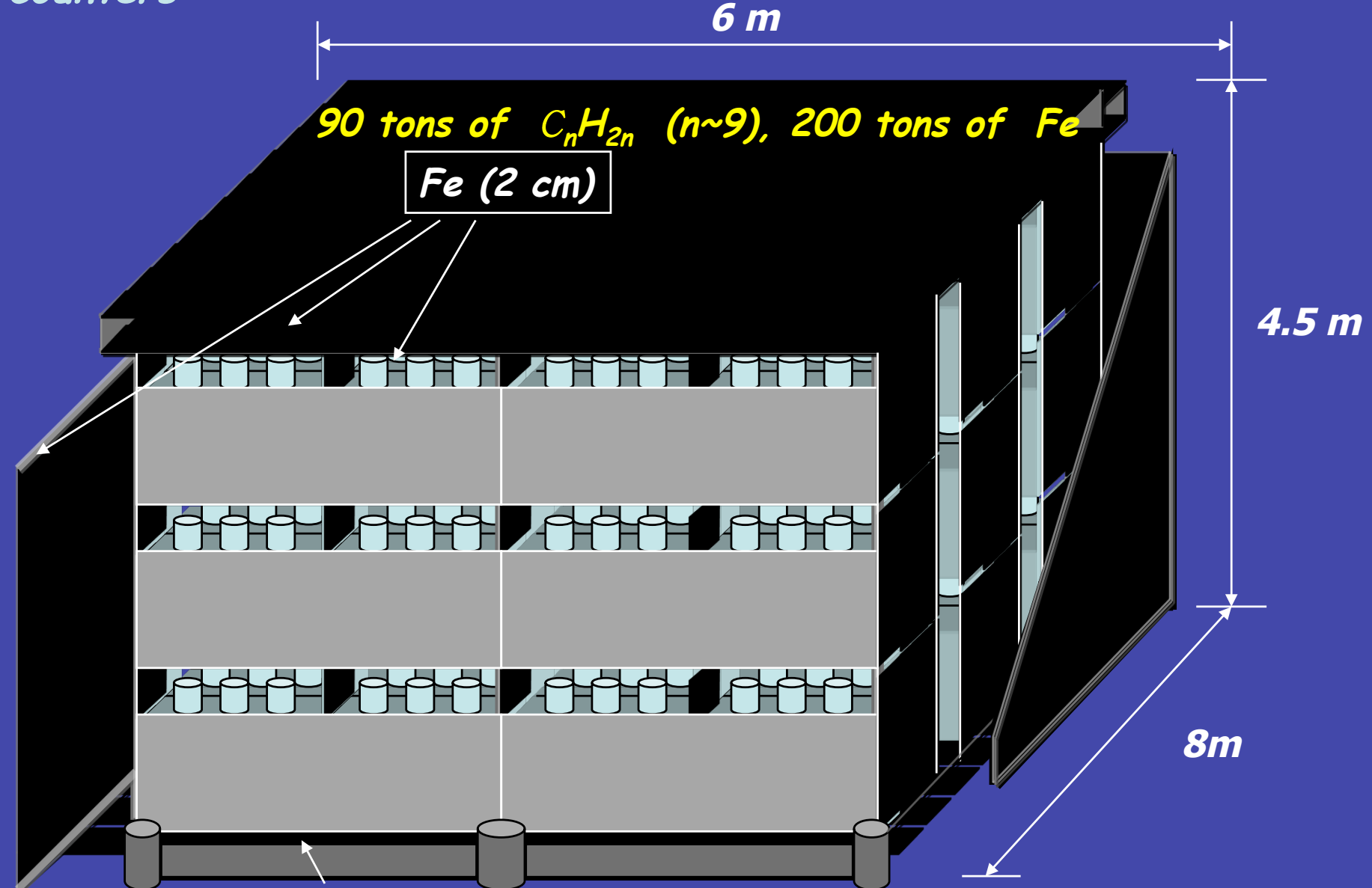
**Piero Galeotti,** (ricevuto il 6 Settembre 1988) *Cosmic Ray School, Arequipa,  
University of Torino* **Peru, 2008**

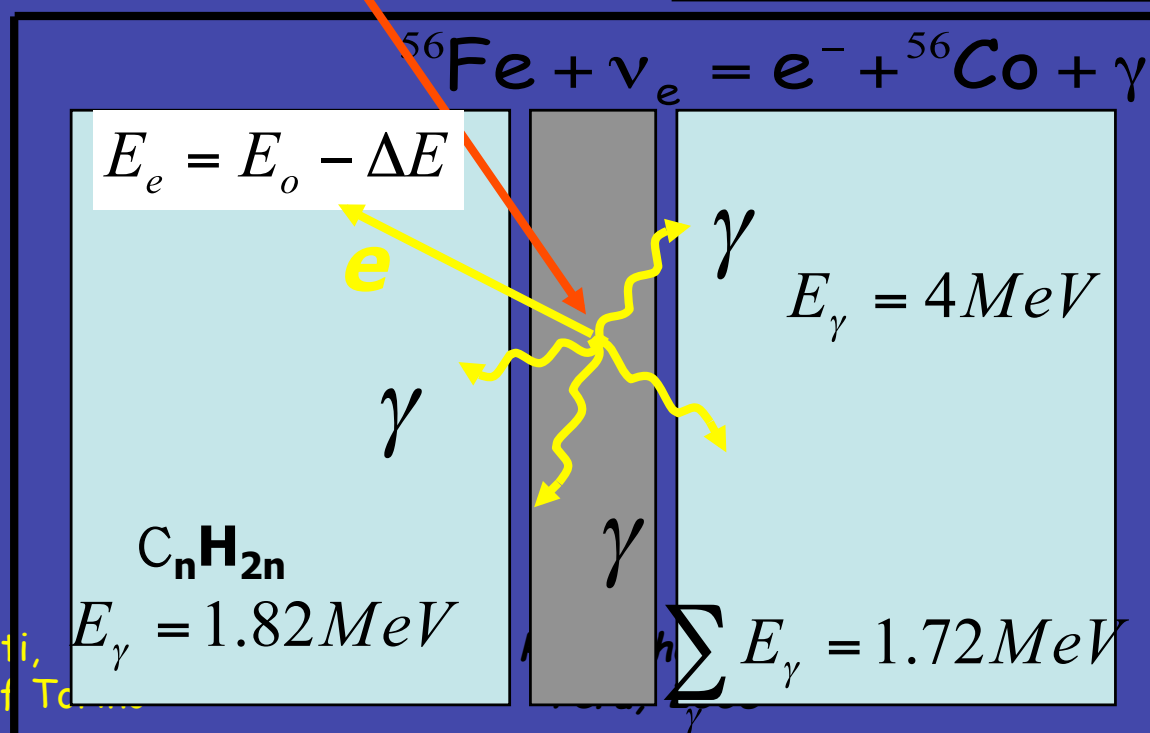
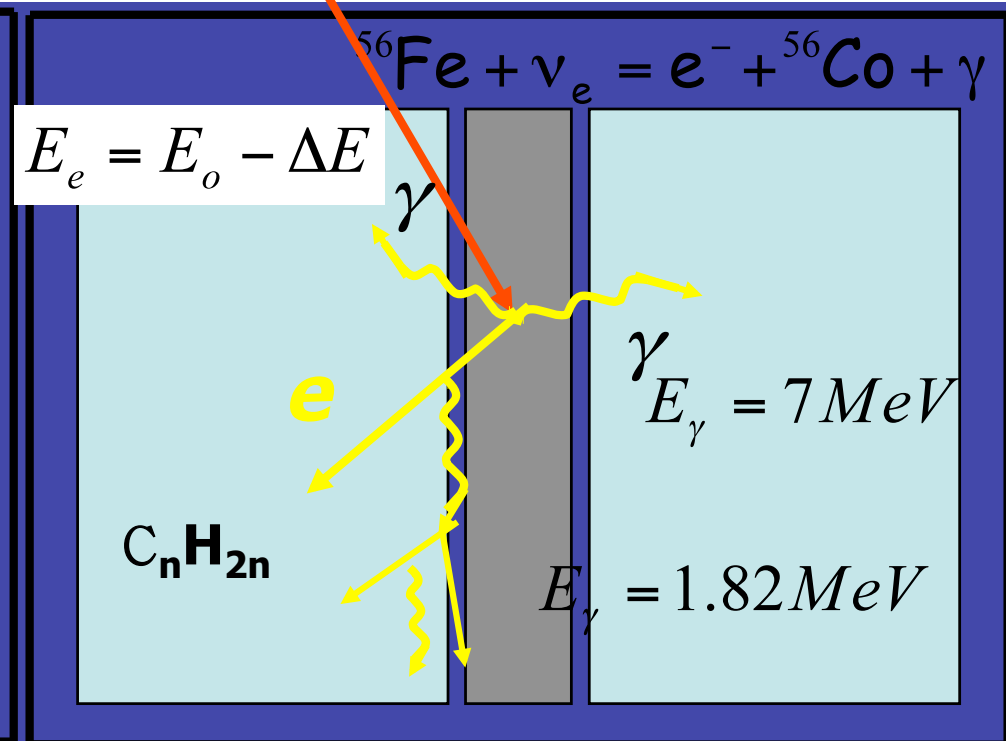
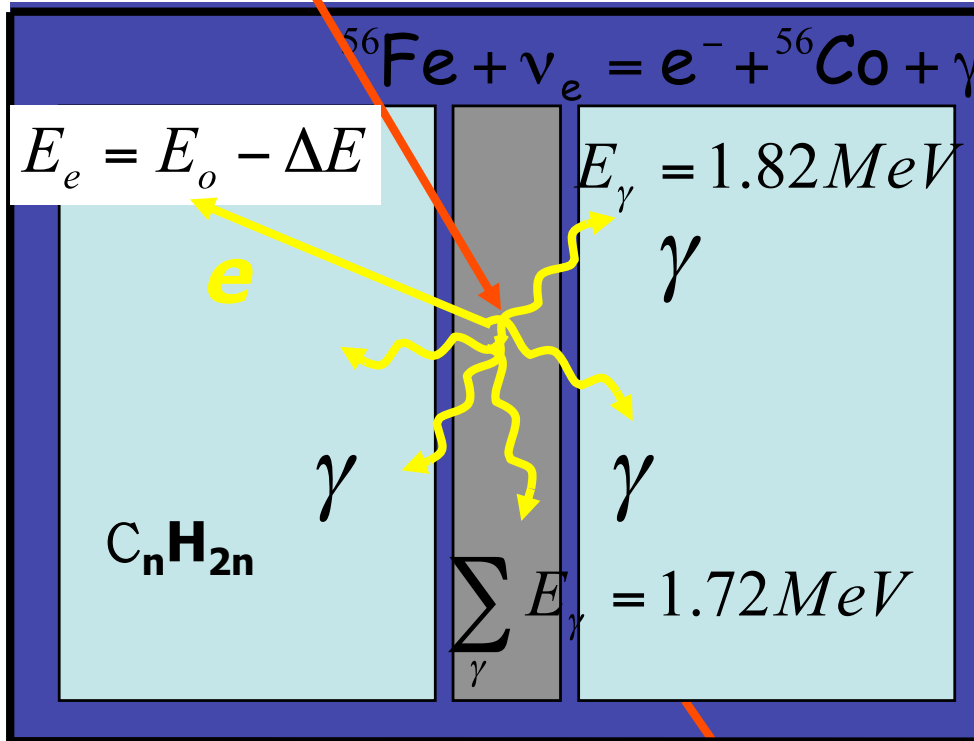
# Neutrino interactions in iron

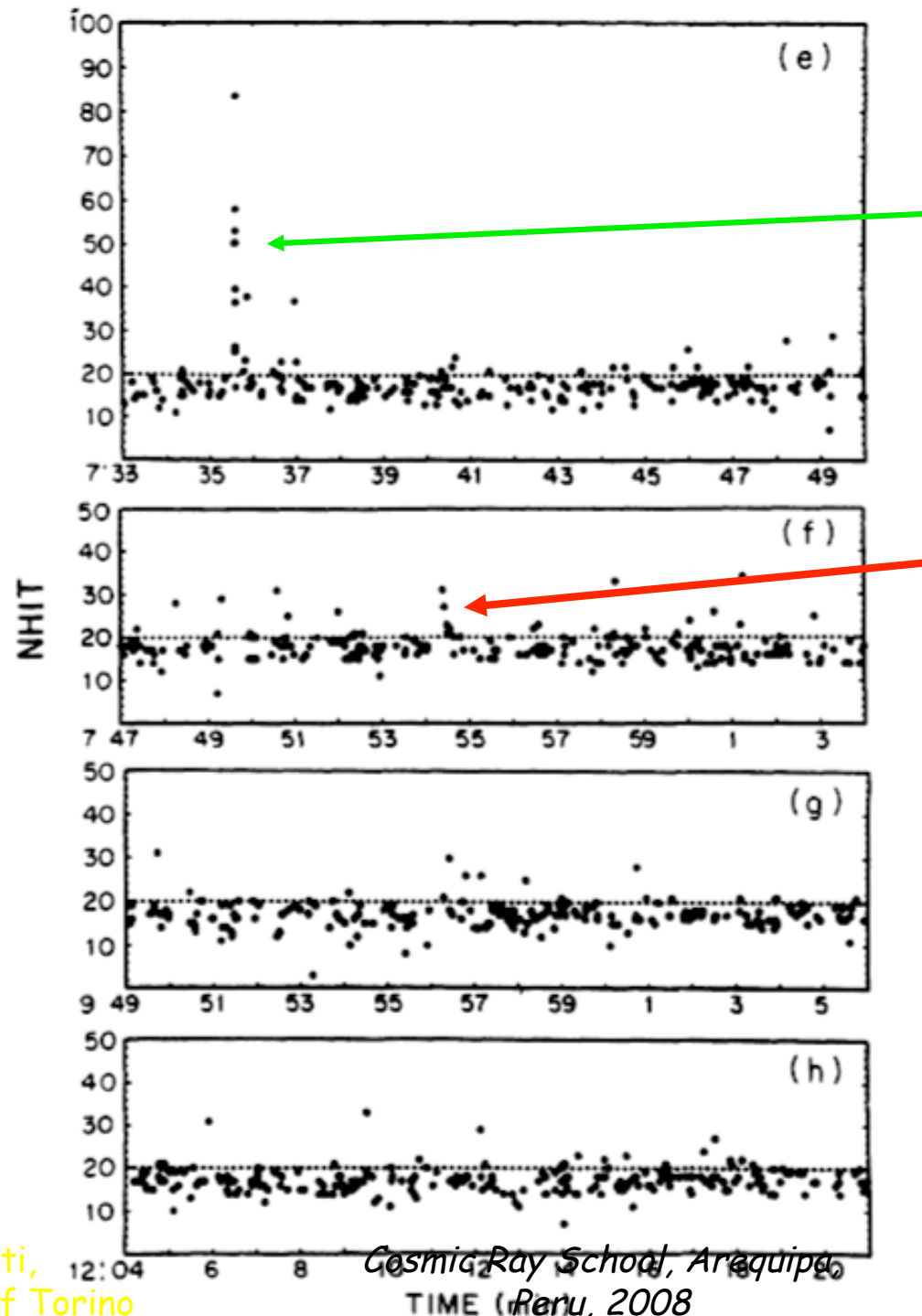


$H=5200$  m.w.e.  
72 counters

# Liquid Scintillator Detector (LSD)







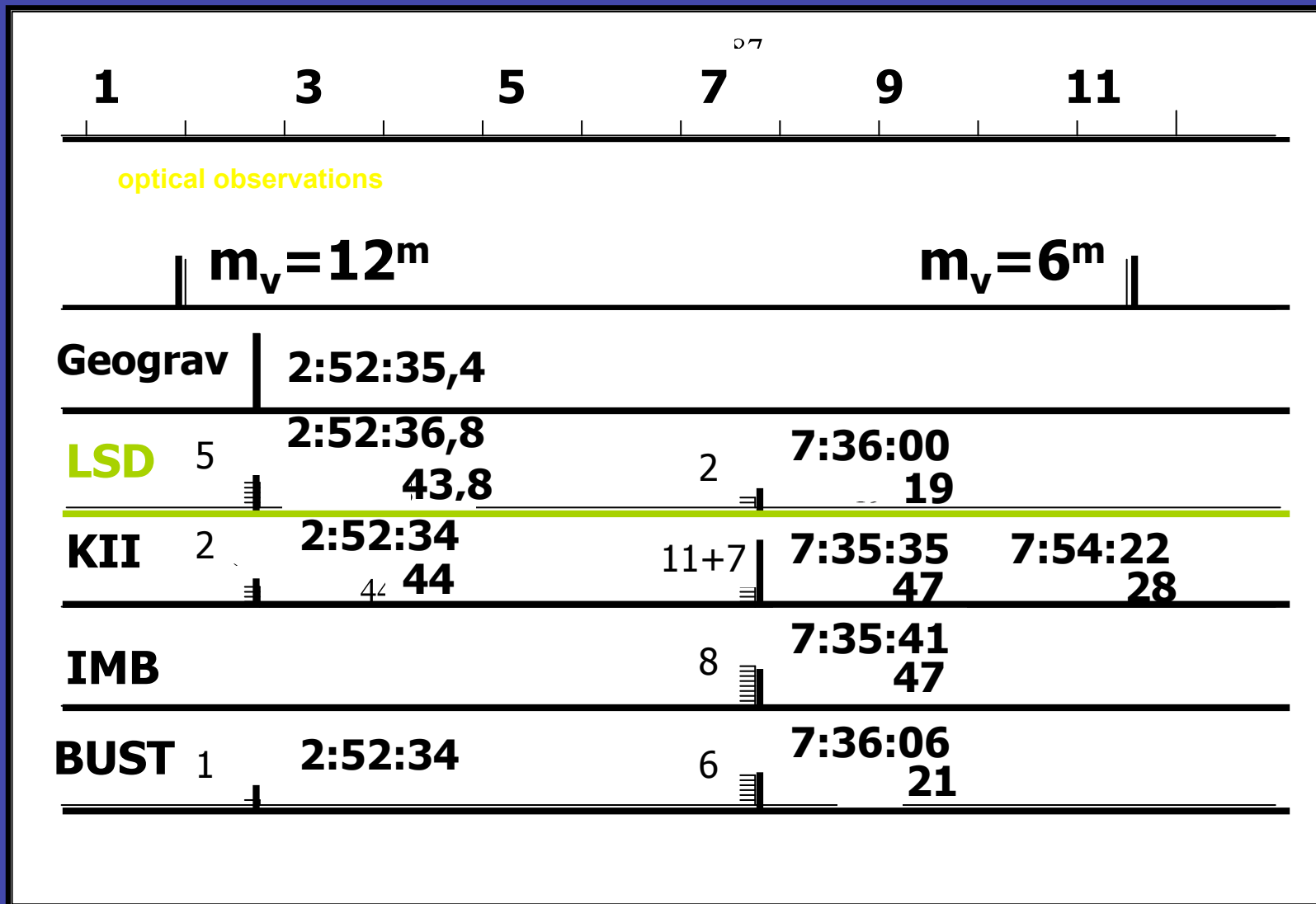
11 v in 12 s  
Nh > 20

7 v in 6 s  
Nh > 21

IMB  
 $E > 15 \text{ MeV}$   
 No IMB  
 $E < 15 \text{ MeV}$

hour	min	sec	nhit	number	duration [s]	prob [years]
7	35	33.67	58	11	12.4	$1.21 \cdot 10^7$
7	35	33.78	36			
7	35	33.98	25			
7	35	34.00	26			
7	35	34.18	39			
7	35	35.21	83			
7	35	35.40	55			
7	35	35.59	51			
7	35	42.89	21			
7	35	44.11	37			
7	35	46.11	24			
7	54	22.26	33	7	6.2	669
7	54	24.11	29			
7	54	25.33	28			
7	54	25.34	27			
7	54	27.13	22			
7	54	28.37	22			
7	54	28.46	22			

February 23, 1987



# A rotating collapsar

## The Two-Stage Gravitational Collapse Model

[Imshennik V.S., Space Sci Rev, 74, 325-334 (1995)]

